

UNIVERSIDADE FEDERAL DE MINAS GERAIS

MODELAMENTO MATEMÁTICO DE SISTEMAS
BINÁRIOS METÁLICOS COM REGIÃO DE
IMISCIBILIDADE LÍQUIDA

Antônio Eduardo Clark Peres

Tese apresentada à Universidade Federal
de Minas Gerais como requisito parcial
para obtenção do grau de Mestre em Ciênc
cias e Técnicas Nucleares

Belo Horizonte - 1973

⑥

A meus pais

AGRADECIMENTOS

O autor deseja expressar seu agradecimento a :

Dr. Vicente Falconi Campos, pela colocação do problema e orientação segura e dedicada durante a execução deste trabalho.

Roberto Augusto Corrieri Moreira, pelo auxílio na elucidação de dúvidas relativas a programação em Fortran.

Ana Salej Gomes, responsável pela datilografia.

Comissão Nacional de Energia Nuclear, pela ajuda financeira prestada.

SINOPSE

É apresentado um algoritmo aplicável a sistemas binários metálicos com região de imiscibilidade líquida. A partir de poucos dados experimentais de temperatura e composição sobre a linha limítrofe da região de imiscibilidade líquida e alguns dados físico-químicos tabelados, são determinados: as constantes da equação de Lumsden, todas as linhas do diagrama de equilíbrio, todos os pontos principais do diagrama, as propriedades termodinâmicas mais importantes do sistema. É determinado um critério de seleção entre dados de vários autores. O algoritmo foi testado para os sistemas: Pb-Zn, Al-In, Bi-Zn e Al-Bi, apresentando excelentes resultados.

SYNOPSIS

An algorithm which can be used in any binary metallic system having a liquid miscibility gap is introduced. This algorithm calculates the constants of Lumsden's equation, all the lines in the equilibrium diagram, including the critical point, eutetic and monotetic, the most important thermodynamical properties of the system. The operation is performed based solely on a few solubility experimental points on the border line of the miscibility gap and some physical-chemical data in the literature. A criterion for the selection of different experimental data on this type of system is introduced. The test of the algorithm showed excellent results for all the binary systems used, namely : Pb-Zn, Al-In, Bi-Zn and Al-Bi.

SUMÁRIO

	Página
AGRADECIMENTOS	iii
SINOPSE	iv
SYNOPSIS	v
1. INTRODUÇÃO	1
1.1. Modelamento de sistemas binários...	2
1.1.1. A equação de Lumsden.....	6
2. OBJETIVO	10
3. METODOLOGIA	15
3.1. Determinação das constantes da equa ção de Lumsden	19
3.2. Determinação de pontos sobre as linhas do diagrama de equilíbrio...	22
3.3. Determinação dos pontos principais do diagrama de equilíbrio.....	31
3.4. Determinação de dados termodinâmi cos	32
3.5. Critério de seleção entre dados ex perimentais na LLRIL	34
4. SISTEMA Zn-Pb.....	39
5. SISTEMA Al-In	52
6. SISTEMA Zn-Bi	65
7. SISTEMA Al-Bi	75
8. CONCLUSÕES.....	88
9. BIBLIOGRAFIA	89
10. APÊNDICES	92
11. LISTA DE FIGURAS	190
12. LISTA DE TABELAS	193
13. LISTA DE APÊNDICES	194

1. INTRODUÇÃO

A atenção daqueles que estudam termodinâmica de soluções é dirigida principalmente para a obtenção da atividade de cada constituinte. O conhecimento de atividades em várias composições e temperaturas é fundamental para a análise de qualquer sistema, porque delas podem ser obtidas as demais propriedades termodinâmicas.

Ultimamente existe uma preocupação crescente com a criação de modelos matemáticos que definam sistemas. Um bom modelo matemático permite correlação, alisamento e extração de dados, cuja medida experimental seria trabalhosa, muitas vezes imprecisa ou mesmo impossível. Esta preocupação atingiu o campo da termodinâmica das soluções, e muitos autores têm tentado o modelamento da atividade em função da composição. A atividade depende também da temperatura, mas a relação é simples, pois ela é função da entalpia e entropia parciais molares. A variação destas grandezas com a temperatura pode ser desprezada na maioria dos casos, pois é função da diferença entre o calor específico a pressão constante da substância pura e da substância em solução; essa diferença

ça é geralmente pequena, causando erros inferiores àqueles gerados pela incerteza nas medidas experimentais envolvidas no processo.

O conhecimento de um modelo de atividade em função da composição, para um sistema binário, permite, conhecidos certos parâmetros, o traçado do diagrama de equilíbrio e a determinação de várias propriedades termodinâmicas.

1.1. Modelamento de sistemas binários

O modelo mais simples para um sistema binário é o de solução ideal. Solução ideal é aquela que segue a lei de Raoult. Para estas soluções a atividade é igual à fração molar, em qualquer temperatura e composição. Todos os sistemas binários metálicos afastam-se deste modelo, que é válido somente para o solvente, em baixas concentrações do soluto. Na faixa de composições em que o solvente obedece a lei de Raoult, o soluto obedece a lei de Henry, sendo sua atividade proporcional à fração molar. As leis de Raoult e Henry, respectivamente, são expressas por:

$$a_1 = N_1 \quad (1)$$

$$a_2 = \gamma_2^0 N_2 \quad (2)$$

sendo :

constituente 1 = solvente

constituente 2 = soluto

a = atividade

N = fração molar

γ^0 = coeficiente de atividade
para diluição infinita,
que é independente da com-
posição.

Outro modelo existente, proposto por HILDEBRAND⁽¹⁾
é o de solução estritamente regular, que é aquela pa-
ra a qual a entropia de mistura, em excesso, é nula .

Para estas soluções :

$$\ln \gamma_1 = \alpha N_2^2 \quad (3)$$

Através de integração da equação de Gibbs-Duhem de-
monstra-se que :

$$\ln \gamma_2 = \alpha N_1^2 \quad (4)$$

sendo a variação de α com a temperatura do tipo :

$$\alpha = \frac{\alpha_1}{T} \quad (5)$$

O modelo de solução sub-regular, proposto por HARDY⁽²⁾, estabelece que :

$$\ln \gamma_1 = \alpha N_2^2 + \beta N_2^3 \quad (6)$$

concluindo-se através de integração da equação de Gibbs-Duhem que :

$$\ln \gamma_2 = (\alpha + 1,5\beta) N_1^2 - \beta N_1^3 \quad (7)$$

onde α e β dependem somente da temperatura.

TURKDOGAN & DARKEN⁽³⁾ observaram que, para a maioria dos sistemas binários metálicos líquidos, parece existir duas regiões terminais, nas quais o comportamento termodinâmico é descrito por :

$$\log \gamma_2 / \gamma_2^0 = \alpha_{12} (N_1^2 - 1) \quad (8)$$

$$\log \gamma_1 = \alpha_{12} (1 - N_1)^2 \quad (9)$$

sendo o constituinte 1 o solvente e o constituinte 2 o soluto. A variação de α_{12} com a temperatura é do tipo :

sendo a variação de α com a temperatura do tipo :

$$\alpha = \frac{\alpha_1}{T} \quad (5)$$

O modelo de solução sub-regular, proposto por HARDY⁽²⁾, estabelece que :

$$\ln \gamma_1 = \alpha N_2^2 + \beta N_2^3 \quad (6)$$

concluindo-se através de integração da equação de Gibbs-Duhem que :

$$\ln \gamma_2 = (\alpha + 1,5\beta) N_1^2 - \beta N_1^3 \quad (7)$$

onde α e β dependem somente da temperatura.

TURKDOGAN & DARKEN⁽³⁾ observaram que, para a maioria dos sistemas binários metálicos líquidos, parece existir duas regiões terminais, nas quais o comportamento termodinâmico é descrito por :

$$\log \gamma_2 / \gamma_2^0 = \alpha_{12} (N_1^2 - 1) \quad (8)$$

$$\log \gamma_1 = \alpha_{12} (1 - N_1)^2 \quad (9)$$

sendo o constituinte 1 o solvente e o constituinte 2 o soluto. A variação de α_{12} com a temperatura é do tipo :

$$\alpha_{12} = \frac{\delta_{12}}{4,576 T} + \frac{s_{12}}{4,576} \quad (10)$$

onde as constantes δ_{12} e s_{12} têm a dimensão de entalpia e entropia, respectivamente. O índice inferior 12 caracteriza a região terminal rica no constituinte 1.

Todos os modelos anteriormente citados aplicam-se a regiões limitadas do sistema em estudo. É de todo interesse o estabelecimento de modelos que descrevam o comportamento do sistema em toda a extensão.

KRUPKOWSKI⁽⁴⁾ apresenta um modelo definido pelas equações :

$$\ln\gamma_1 = w(T) \left[N_1^m - \frac{m}{m-1} N_1^{m-1} + \frac{1}{m-1} \right] \quad (11)$$

$$\ln\gamma_2 = w(T) N_1^m \quad (12)$$

a função $w(T)$ podendo ser considerada de uma das formas :

$$w(T) = \frac{\alpha}{T^K} \quad (13)$$

$$w(T) = \frac{\alpha}{T} - \beta \quad (14)$$

As constantes α , β , m e k são características para cada sistema. O modelo foi testado com êxito para o sistema zinco-chumbo por seu idealizador e por KOZUKA et alii⁽⁵⁾.

HULTGREN et alii⁽⁶⁾ abordam o problema de uma maneira puramente matemática, selecionando várias funções algébricas, na forma de séries de Taylor, e testando qual destas funções melhor representa o comportamento termodinâmico do sistema.

1.1.1. A equação de Lumsden

Utilizando a termodinâmica estatística e baseando-se no tratamento quasi-químico das soluções, LUMSDEN⁽⁷⁾ estabeleceu a seguinte equação para a energia livre molar de mistura para soluções líquidas:

$$\begin{aligned} \frac{\Delta G_M}{T} = & - R \left[N_1 \ln \frac{N_1 + N_2}{N_1} + N_2 \ln \frac{N_1 + N_2}{N_2} \right] + \\ & + \left[\frac{N_1 N_2 r}{r^2 N_1 + N_2} \right] \left(\frac{\varepsilon}{T} - \sigma \right) + \left[\frac{N_1 N_2 r^{2,5}}{r^5 N_1 + N_2} \right] \left(\frac{z}{T} - \Psi \right) - \\ & - \frac{1}{RZ} \left[\frac{N_1^2 N_2^2 r^4}{(r^{8/3} N_1 + N_2)^3} \right] \left(\frac{\varepsilon}{T} - \sigma \right)^2 \quad (15) \end{aligned}$$

onde :

ΔG_M = variação de energia livre molar de mistura

T = temperatura absoluta

R = constante dos gases perfeitos

r = razão dos raios atômicos dos dois metais

N_1 = fração molar do metal 1

N_2 = fração molar do metal 2

Z = número de coordenação

$\epsilon, \sigma, z, \psi$ = constantes características para cada par de metais.

VAN VLACK⁽⁸⁾ cita que o número de coordenação médio para líquidos é aproximadamente igual àquele para seus cristais correspondentes, pois os líquidos apresentam uma estrutura de curto alcance, na qual as distâncias interatômicas entre vizinhos mais próximos são bastante uniformes, e semelhantes às dos cristais. O número de coordenação decresce com o aumento da diferença entre os raios atômicos.

KRUPKOWSKI⁽⁴⁾ menciona que as constantes ϵ e σ , da equação de Lumsden, referem-se a correções sobre a variação de energia livre de mistura ideal, devido à energia potencial e entropia de interação

dos vizinhos mais próximos, e z e ψ têm o mesmo significado em relação a átomos não adjacentes.

SUNDQUIST⁽⁹⁾ concluiu que o modelo de Lumsden é adequado para descrição de sistemas que não apresentam fortes tendências de formação de compostos.

A equação (15) permite a determinação da atividade e coeficiente de atividade de cada constituinte, mediante a aplicação do conceito de energia livre parcial molar :

$$\bar{\Delta G}_1 = \left(\frac{\partial \Delta G_M}{\partial N_1} \right)_{N_2} = RT \ln a_1 \quad (16)$$

A diferenciação de (15) resulta em

$$\begin{aligned} \bar{\Delta G}_1 = & -RT \ln \left[\frac{N_1 + N_2}{N_1} \right] + \\ & + (\varepsilon - \sigma T) \left[\frac{N_2^2 r}{(r^2 N_1 + N_2)^2} \right] + \\ & + (z - \psi T) \left[\frac{N_2^2 r^{2,5}}{(r^{5/3} N_1 + N_2)^2} \right] - \\ & - \frac{T}{RZ} \left(\frac{\varepsilon}{T} - \sigma \right)^2 \left[\frac{2 r^4 N_1^3 N_2^3 - r^{20/3} N_1^2 N_2^2}{(r^{8/3} N_1 + N_2)^4} \right] \end{aligned} \quad (17)$$

A atividade de um constituinte é igual ao produto de sua fração molar pelo coeficiente de atividade :

$$a_1 = N_1 \gamma_1 \quad (18)$$

A energia livre parcial molar relaciona-se com o coeficiente de atividade através da expressão :

$$\bar{\Delta G}_1 = RT \ln N_1 \gamma_1 \quad (19)$$

que rearranjada resulta em :

$$RT \ln \gamma_1 = \bar{\Delta G}_1 + RT \ln \frac{1}{N_1} \quad (20)$$

Combinando-se as equações (17) e (20) resulta :

$$\begin{aligned} \ln \gamma_1 &= \frac{1}{R} \left(\frac{\varepsilon}{T} - \sigma \right) \left[\frac{N_2^2 r}{(r^2 N_1 + N_2)^2} \right] + \\ &+ \frac{1}{R} \left(\frac{z}{T} - \Psi \right) \left[\frac{N_2^2 r^{2,5}}{(r^5 N_1 + N_2)^2} \right] - \\ &- \frac{1}{Z R^2} \left(\frac{\varepsilon}{T} - \sigma \right)^2 \left[\frac{2 r^4 N_1^3 N_2^{20/3} N_1^2 N_2^2}{(r^{8/3} N_1 + N_2)^4} \right] \end{aligned} \quad (21)$$

10.

LUMSDEN⁽⁷⁾ calculou os parâmetros de sua equação a partir de dados experimentais de WARING et alii⁽¹⁰⁾. Muitos autores, comparando seus resultados com aqueles obtidos por LUMSDEN⁽⁷⁾, criticam seu modelo. Estas críticas são injustificadas, pois não levam em conta dois fatores de suma importância:

i) uma possível imprecisão nos dados experimentais;

ii) uma possível imprecisão nos cálculos realizados para determinação dos parâmetros. Deve-se frisar que os cálculos de LUMSDEN⁽⁷⁾ foram efetuados há quinze anos atrás, época em que não existiam os recursos de computação digital disponíveis atualmente.

Muitos autores utilizam seus dados experimentais no cálculo dos parâmetros de um determinado modelo e levantam dúvidas quanto à validade do mesmo, esquecendo-se que os maus resultados obtidos podem ser provenientes de imprecisão de suas próprias medidas.

2. OBJETIVO

A equação de Lumsden tem sido utilizada para descrever a termodinâmica do sistema chumbo-zinco. O conhecimento perfeito do diagrama de equilíbrio e de propriedades termodinâmicas deste sistema apresenta grande interesse industrial, sendo a base dos processos de refino dos dois metais.

O processo "Imperial Smelting" é um exemplo da afirmação acima. O aparelho utilizado é um forno de cuba soprado, alimentado com minério de zinco e chumbo. O chumbo produzido é recolhido líquido na parte inferior do forno. A redução do minério de zinco ocorre na zona mais quente do forno e o metal, produzido sob a forma de vapor, deixa o forno misturado com CO. Os gases emergem em temperatura superior àquela em que ocorre a reoxidação do zinco e são submetidos à resfriamento rápido, em banho de chumbo, para liquefação do zinco. A liga líquida, através de resfriamento adicional, separa-se em duas camadas: a menos densa, constituída de zinco e um pouco impurificada pelo chumbo, e a mais densa constituída de chumbo, bastante impurificada pelo zinco. A camada rica em zinco é refinada para obtenção do metal e a rica em chumbo

é recirculada na câmara de condensação. A composição das duas fases líquidas é fixada pelos limites da região de imiscibilidade líquida e o conhecimento de dados termodinâmicos é importante para a operação de refino do zinco.

Outro exemplo industrial é o processo "Parkes" de despratamento do chumbo. A operação é realizada em dois estágios. O "bullion" de chumbo é alimentado no primeiro estágio juntamente com a crosta do segundo estágio, que é rica em zinco e pobre em prata. O zinco combina-se com a prata, formando uma crosta de onde é aproveitada a prata. O "bullion" vai para um segundo estágio, onde recebe zinco, produzindo chumbo despratado, contendo zinco dissolvido. É desejável, para controle do processo de refino, o conhecimento de dados termodinâmicos para o sistema ternário chumbo-zinco-prata, mas devido ao baixo teor de prata, dados referentes ao sistema binário chumbo-zinco prestam bom auxílio.

Para o sistema zinco-chumbo, a determinação de atividades no estado líquido apresenta certas dificuldades experimentais. Em baixas temperaturas a região de imiscibilidade líquida limita o estudo às

regiões terminais do sistema. Acima do ponto crítico a pressão de vapor do zinco é alta, impedindo medições precisas de força eletromotriz e exigindo vedação cuidadosa ao empregar-se técnicas calorimétricas.

O presente trabalho visa desenvolver um algoritmo, baseado no modelo de Lumsden, aplicável a sistemas binários metálicos com região de imiscibilidade líquida, que possibilite :

- i) determinação de dados termodinâmicos destes sistemas ;
- ii) determinação teórica do diagrama de equilíbrio, inclusive em pontos experimentalmente inacessíveis ;
- iii) poder de decisão entre dados de vários autores, quando comparados com o diagrama de fases e propriedades termodinâmicas do sistema.

Uma característica importante do algoritmo é o fato de sua aplicação depender exclusivamente de certos dados físico-químicos tabelados e alguns pontos experimentais sobre a linha limítrofe da região de imiscibilidade líquida. Estes pontos deverão ser, no mínimo, dois, em cortes isotérmicos do diagrama, e podem ser

obtidos a partir de experiências relativamente simples.

Serão estudados, a título de teste do algoritmo, os sistemas zinco-chumbo, alumínio-índio, zinco-bismuto e alumínio-bismuto. Pretende-se, entretanto, que o algoritmo seja aplicável a qualquer sistema binário metálico com região de imiscibilidade líquida.

HANSEN & ANDERKO ⁽¹¹⁾ mencionam a existência de numerosos sistemas deste tipo, vários deles com diagrama de equilíbrio indeterminado. Em pesquisas que se farão a seguir serão determinados o diagrama de equilíbrio e o comportamento termodinâmico de sistemas desconhecidos, através da medida experimental de alguns pontos no limite da região de imiscibilidade líquida e utilização do algoritmo. Portanto, a presente investigação científica faz parte de um plano de pesquisas mais amplo sobre a termodinâmica de sistemas binários.

3. METODOLOGIA

A equação de Lumsden se aplica a sistemas com região de imiscibilidade líquida. A existência de duas fases líquidas associa-se a desvios positivos acentuados da lei de Raoult, indicando que as forças atrativas entre átomos de mesma espécie são maiores que aquelas entre átomos de espécies diferentes. A Figura 1 apresenta um diagrama de equilíbrio genérico para um sistema com região de imiscibilidade líquida, detalhando os pontos principais do diagrama, caracterizados por sua temperatura e composição dada em fração molar :

i) ponto crítico (ponto máximo da região de imiscibilidade líquida), definido pela temperatura crítica T_C e pela composição crítica N_C ;

ii) pontos monotéticos, definidos pela temperatura monotética T_M e pelas composições monotéticas N_I e N_{II} ;

iii) ponto eutético, definido pela temperatura eutética T_E e pela composição eutética N_E .

A linha limitrofe da região de imiscibilidade líquida será designada no presente trabalho por LLRIL .

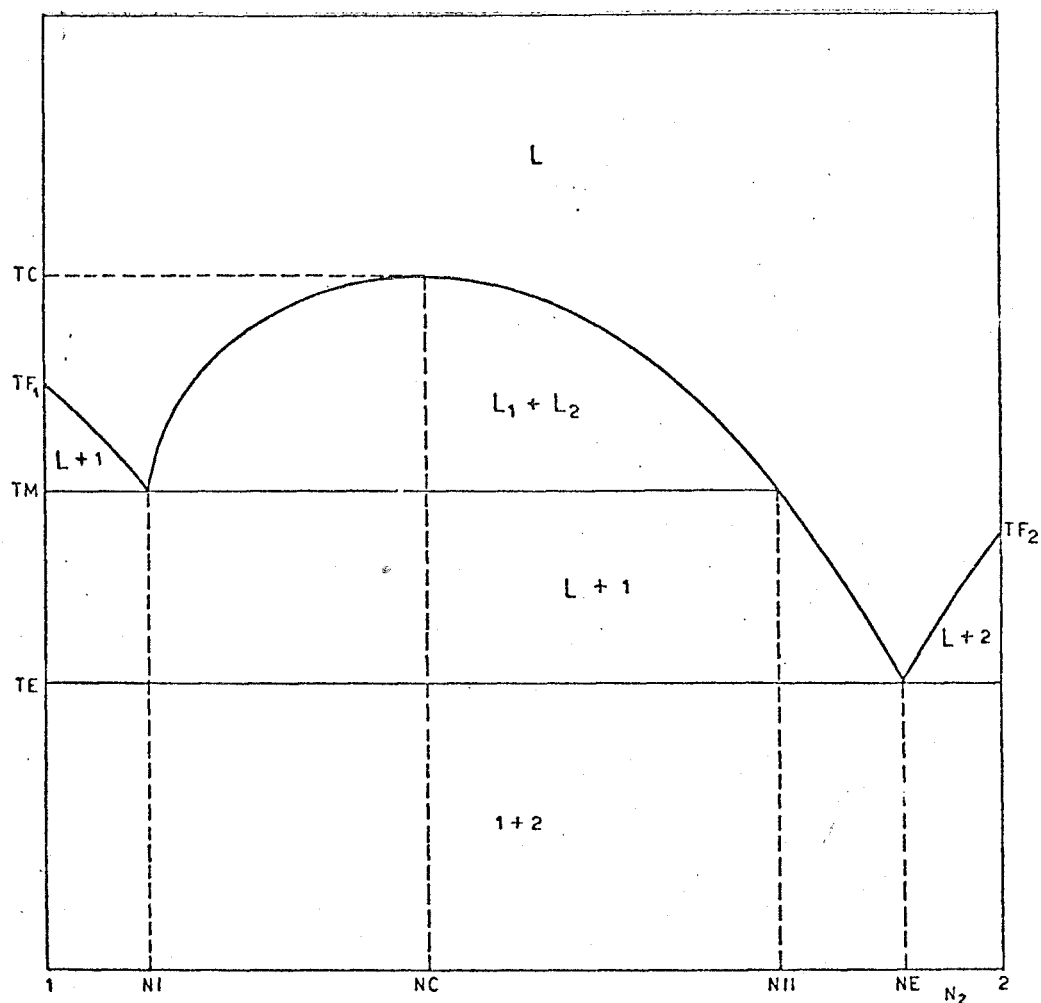


Fig. 1 - Diagrama de equilíbrio genérico para sistema com região de imiscibilidade líquida.

17.

O lado direito do diagrama será definido como sendo aquele em que se situa o ponto eutético.

Na região de imiscibilidade líquida coexistem em equilíbrio duas fases, uma rica no metal 1, outra rica no metal 2. O critério de equilíbrio entre fases fixa que o potencial químico (energia livre parcial molar) de cada elemento, em cada fase, é constante ao longo da região bifásica. Resulta daí, que, para uma dada temperatura, a atividade de cada metal é igual no ramo esquerdo e ramo direito do LLRIL. Este fato é a base do algoritmo criado.

A Figura 2 é um esquema dos dados de entrada do algoritmo e daqueles por ele fornecidos. Esta figura evidencia o grande potencial de utilização do algoritmo na simplificação do trabalho experimental de determinação de dados físico-químicos em sistemas desta espécie.

O programa principal e as dez subrotinas que constituem o algoritmo são apresentados no Apêndice I.

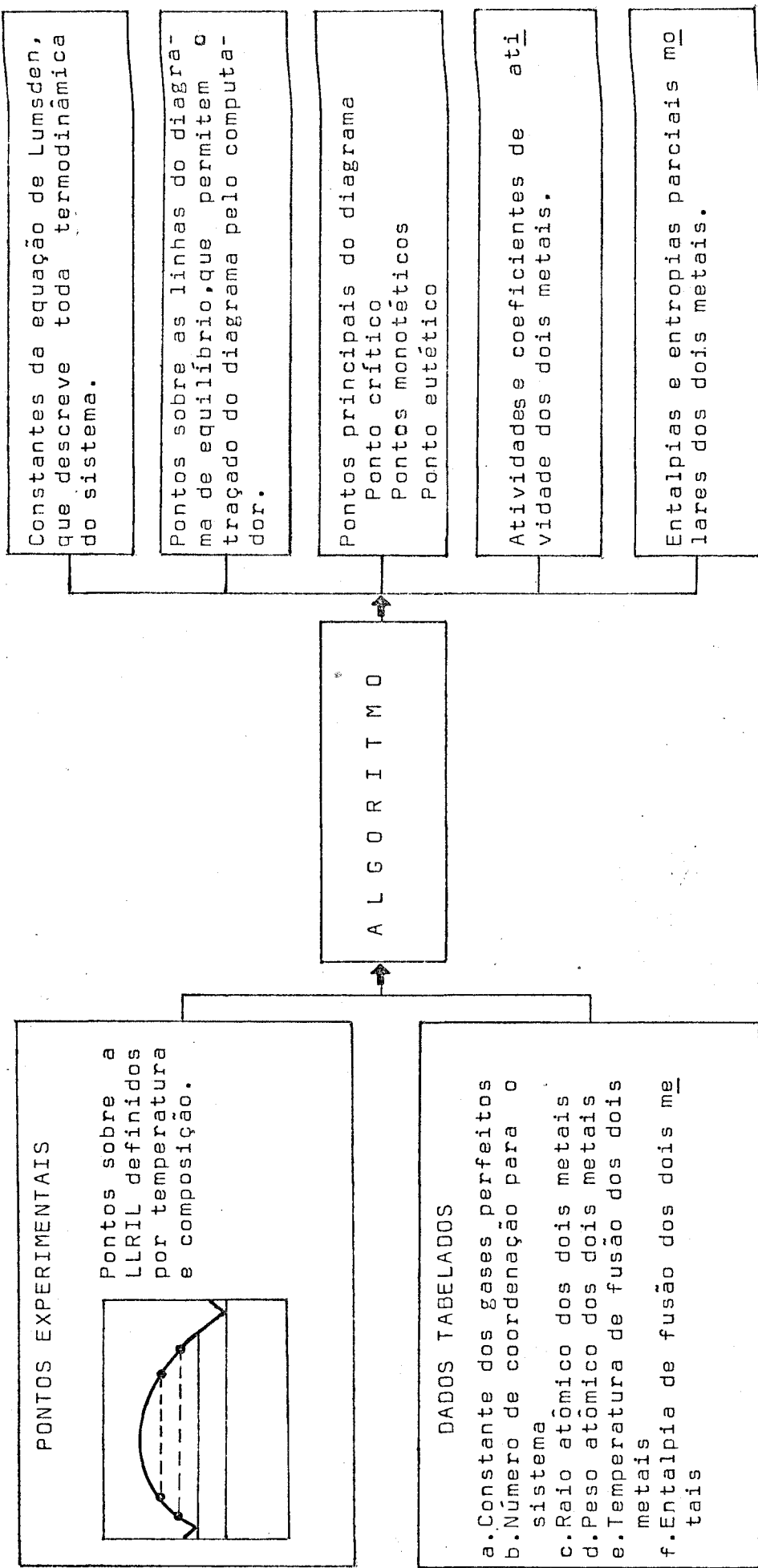


Fig. 2 - Esquema dos dados de entrada e saída do algoritmo criado no presente trabalho.

3.1. Determinação das constantes da equação de Lumsden

A determinação das constantes da equação de Lumsden é baseada no fato de que duas fases líquidas em equilíbrio apresentam as seguintes propriedades termodinâmicas :

$$a_1^E = a_1^D \quad \text{ou} \quad N_1^E Y_1^E = N_1^D Y_1^D \quad (22)$$

$$a_2^E = a_2^D \quad \text{ou} \quad N_2^E Y_2^E = N_2^D Y_2^D \quad (23)$$

onde os índices superiores E e D representam pontos situados no ramo esquerdo e direito da LLRIL e os índices inferiores representam dois metais.

Por outro lado, a equação (21) pode ser escrita simplificadamente da seguinte maneira :

$$\ln Y_1 = X \cdot K_1 + Y \cdot K_2 + X^2 \cdot K_3 \quad (24)$$

onde X e Y são termos que contêm as constantes da equação de Lumsden. Estes termos são independentes da composição e variam linearmente com o inverso da temperatura da seguinte maneira :

$$X = \frac{\epsilon}{T} - \sigma \quad (25)$$

$$Y = \frac{Z}{T} - \Psi \quad (26)$$

K_1 , K_2 e K_3 são termos independentes da temperatura e variam peculiarmente com a composição da seguinte maneira :

$$K_1 = \frac{N_2^2 r_1}{R(r_1^2 N_1 + N_2)^2} \quad (27)$$

$$K_2 = \frac{N_2^2 r_1^{2.5}}{R(r_1^5 N_1 + N_2)^2} \quad (28)$$

$$K_3 = - \left[\frac{2 r_1^4 N_1 N_2^3 - r_1^{20/3} N_1^2 N_2^2}{Z R^2 (r_1^{8/3} N_1 + N_2)^4} \right] \quad (29)$$

sendo :

r_1 = raio atômico do metal 1 dividido por raio atômico do metal 2

Combinando-se, então, a equação (24) com as equações (22) e (23) obtém-se um sistema de duas equações e duas incógnitas para cada temperatura. A solução deste sistema exige o conhecimento da composição e temperatura de dois pontos situados em ramos opostos da LLRIL, sobre a mesma isoterma. Obtem-se então valores para X e Y. Se houver pontos experimentais suficientes, de

tal maneira que se possa obter valores de X e Y em várias temperaturas, determinam-se as constantes da equação de Lumsden através das equações (25) e (26), por meio de ajuste linear dos pontos pelo método dos mínimos quadrados.

Em vista do exposto é conveniente frisar que o presente método, ao fornecer os valores das constantes da equação de Lumsden, realizou o alisamento quasi-químico dos dados experimentais sobre a LLRIL.

O método utilizado exige o conhecimento de pontos sobre os ramos opostos da LLRIL, em uma mesma temperatura. Quando são disponíveis pontos em temperaturas diferentes, é feito um ajuste de um dos ramos, em curva do segundo grau, pelo método dos mínimos quadrados. Este ajuste permite a determinação de pontos sobre este ramo, nas mesmas temperaturas em que são conhecidos valores sobre o outro. ⑥

A metodologia descrita para dedução das constantes ϵ , σ , z , e Ψ , da equação de Lumsden é executada através da subrotina CONST.

3.2. Determinação de pontos sobre as linhas do diagrama de equilíbrio

O diagrama de equilíbrio típico, estudado neste trabalho, apresenta duas linhas horizontais que caracterizam as temperaturas monotética e eutética e linhas limítrofes de fases, assim discriminadas :

i) linha liquidus do lado esquerdo superior, que vai do ponto de fusão do metal 1 puro até o ponto monotético situado no ramo esquerdo da LLRIL;

ii) linha liquidus do lado esquerdo inferior, que vai do ponto monotético situado no ramo direito da LLRIL até o ponto eutético;

iii) linha liquidus do lado direito, que vai do ponto eutético até o ponto de fusão do metal 2 puro ;

iv) LLRIL que delimita a região de imiscibilidade líquida.

A linha liquidus em um diagrama de equilíbrio é aquela que determina a composição do líquido e a linha solidus é aquela que determina a composição do sólido, para cada temperatura, nas regiões em que coexistem em equilíbrio uma fase líquida e uma fase sólida.

A determinação da LLRIL, a partir da equação de Lumsden, é praticamente um cálculo reverso daquele detalhado anteriormente sobre a determinação das constantes da equação de Lumsden. Se esta equação contivesse termos simples de composição, seria mesmo possível estabelecer uma equação matemática da concentração em função da temperatura para a LLRIL. No entanto, é praticamente impossível explicitar N na equação (21) e este fato concorreu para que se adotasse uma solução de tentativas sucessivas, que parece a mais adequada quando se dispõe de recursos de computação digital. A seguir explica-se o método adotado.

A Figura 3 apresenta o aspecto genérico das curvas de atividade de dois metais contra fração molar do metal 1, para uma dada temperatura, calculadas pela equação de Lumsden. Observa-se que partes destas curvas são de dados imaginários (entre os limites de solubilidade). Cada uma destas curvas possuirá, então, um segmento horizontal de tal maneira que as equações (22) e (23) sejam obedecidas. Os pontos extremos destas horizontais terão, logicamente, a mesma composição. Supondo-se que o ponto A_1 se situe sobre a LLRIL, o outro limite é obtido traçando-se uma horizontal a partir de A_1 , que intercepta a curva do metal 1 em B_1 .

(a interseção intermediária é desprezada pelo fato da curva ser imaginária neste ponto). A projeção de A_1 e B_1 sobre a curva do metal 2 determina os pontos A_2 e B_2 . A atividade do metal 2 não é a mesma nos pontos A_2 e B_2 , o que significa que estes pontos não se localizam sobre a LLRIL. Alterando-se a posição do ponto A_1 , e consequentemente do ponto B_1 , altera-se a inclinação da reta A_2B_2 . Repete-se o processo até que se obtenha uma linha A_2B_2 horizontal. A situação representada pelos pontos A'_1 , A'_2 , B'_1 , B'_2 , indica que para a temperatura em estudo, os limites da região de imiscibilidade líquida são $N_1 = A'$ e $N_1 = B'$. O cálculo é iniciado para uma temperatura abaixo da monotérmica e repetido sucessivamente, com acréscimos de 10°C na temperatura.

◎

A metodologia descrita, para determinação de pontos sobre a LLRIL, é executada através da subrotina MIGAP. As curvas de atividade dos metais 1 e 2 são levantadas ponto a ponto pelas subrotinas METAL 1 e METAL 2. Estas subrotinas devem ser bastante rápidas, pois são chamadas repetidas vezes por MIGAP. A inclinação da linha A_2B_2 é determinada pela subrotina GRADT, também chamada inúmeras vezes. A linha é considera -

da horizontal, no presente trabalho, quando o valor absoluto de seu gradiente for inferior a 0,001.

O método de tentativas sucessivas, utilizado em MIGAP, faz com que esta subrotina seja responsável pela maior parte do tempo que o algoritmo leva no computador.

A determinação de pontos sobre a linha líquidos é também baseada no critério de equilíbrio entre fases, neste caso uma fase líquida e uma fase sólida. A atividade do metal 1 é a mesma nas duas fases :

$$a_1^L = a_1^S \quad (30)$$

O método desenvolvido aplica-se aos casos em que a intersolubilidade sólida dos dois metais é tão baixa, que pode ser considerada nula. Quando esta solubilidade é um pouco mais elevada, ela geralmente está dentro da faixa em que o metal 1 obedece a lei de Raoult, sendo sua atividade na solução sólida igual à fração molar. A correção a ser introduzida no algoritmo para estes casos é extremamente simples, não acarretando nenhum problema.

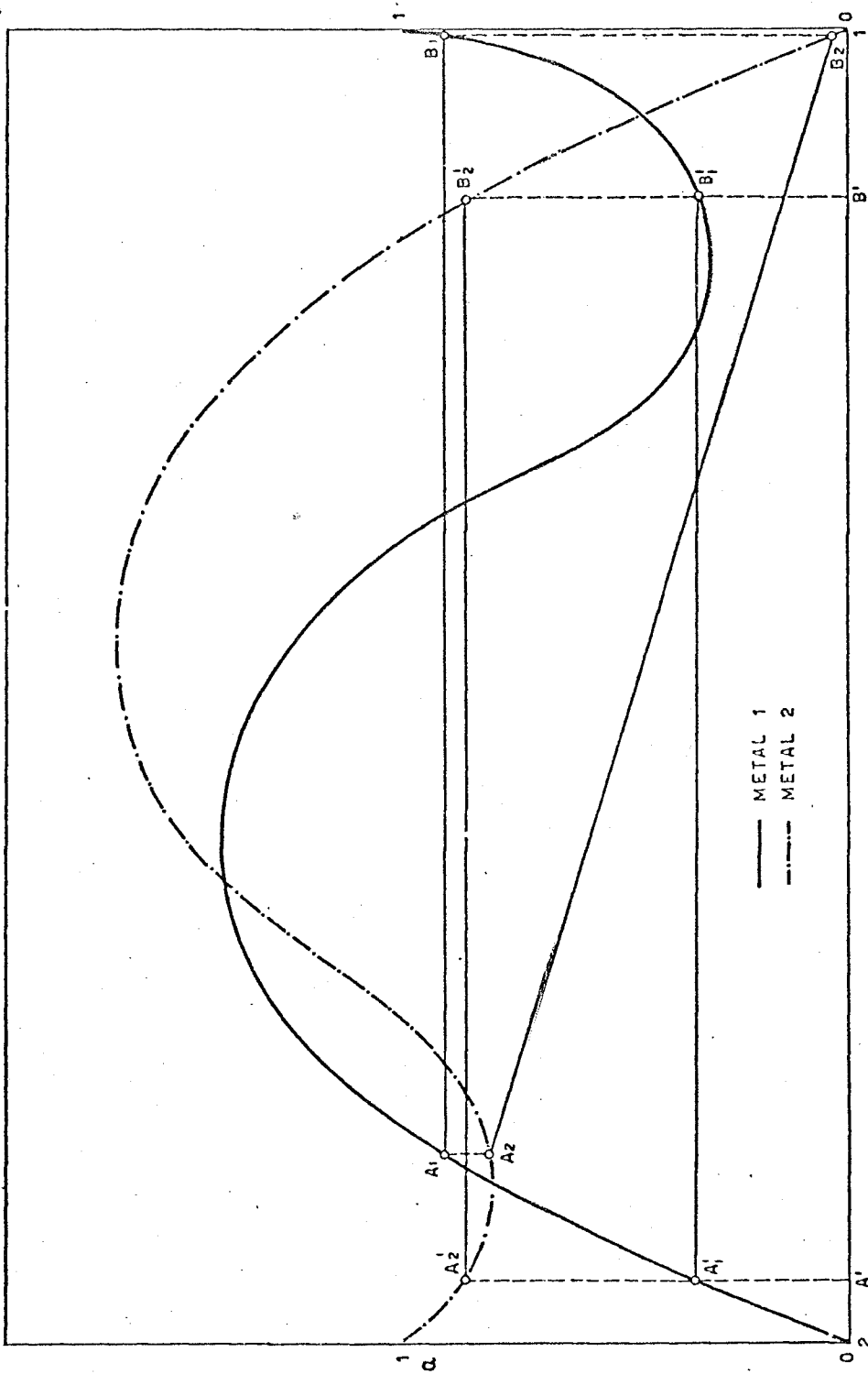
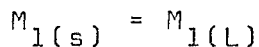


Fig. 3 - Curvas genéricas de atividade de dois metais em função da fração molar do metal 1.

A metodologia desenvolvida pode ser explicada com o auxílio da Figura 4. Como a temperatura dos pontos da linha liquidus é inferior à temperatura de fusão do metal 1, o estado padrão escolhido para o metal 1 é o líquido puro hipotético super-resfriado. A reação de fusão do metal 1 é :



e a variação de energia livre associada a esta reação é expressa por :

$$\Delta G_F^0 = \Delta H_F^0 - T \frac{\Delta H_F^0}{T_F} = RT \ln \frac{a_1^L}{a_1^s} \quad (31)$$

Lembrando-se que $a_1^L = 1$ (a atividade no estado padrão é unitária) e combinando-se as equações (30) e (31) resulta :

$$\log a_1^s = \frac{\Delta H_F^0 (T - T_F)}{4,576 T \cdot T_F} \quad (32)$$

Igualando-se o valor da atividade do metal 1 no líquido, fornecido pela equação (32), ao obtido através da equação (21), é possível determinar-se a temperatura, para cada valor de composição, sobre o ramo esquerdo da linha liquidus. Para este caso foi adotado o método de acréscimos idênticos no valor da composição, sendo desconsi-

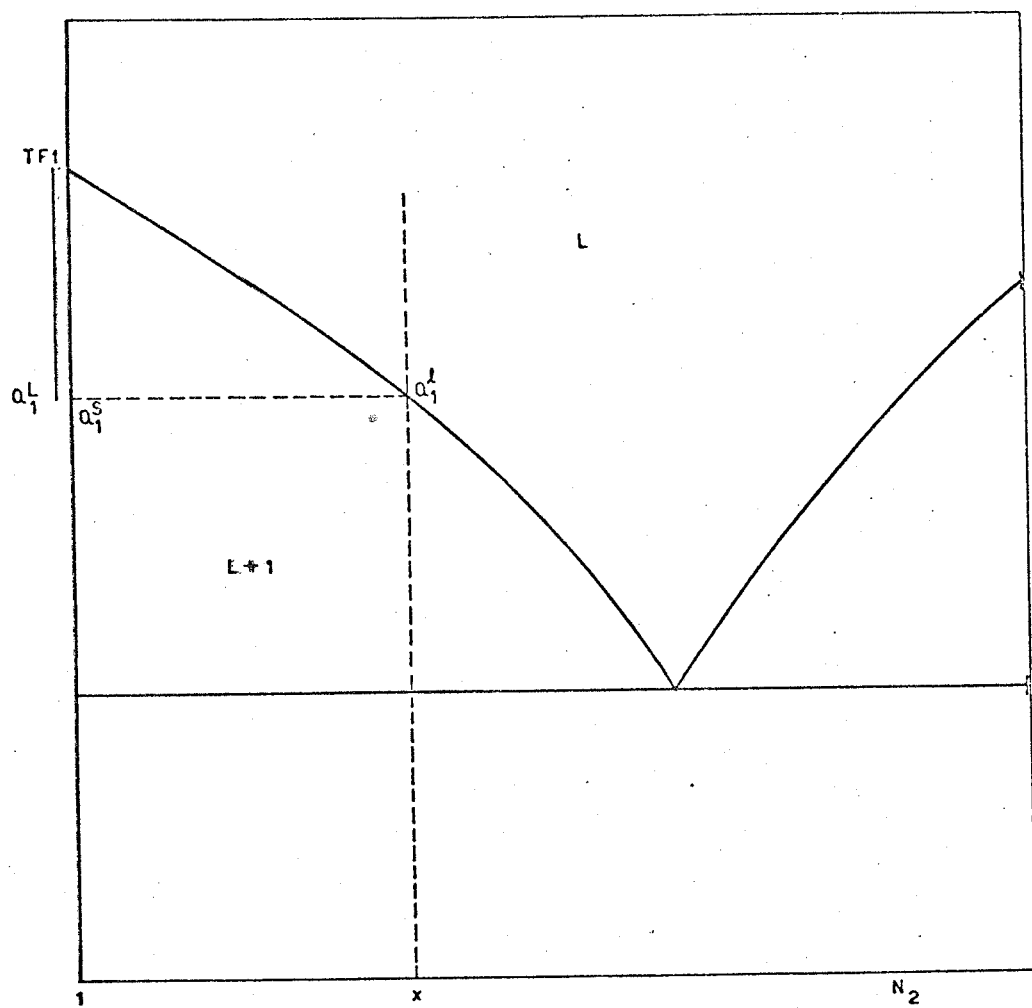


Fig. 4 - Canto de diagrama de equilíbrio genérico,
mostrando a solidificação do metal 1.

derado o trecho em que a linha liquidus é imaginária. Este método poderá ocasionar problemas quando a declividade da linha for muito acentuada. No entanto, é possível reduzir-se o acréscimo nestes trechos de maior declividade sem alterar profundamente o algoritmo.

A determinação do ramo direito da linha liquidus obedece ao mesmo raciocínio, usando-se neste caso o metal 2 no equilíbrio.

A metodologia descrita, para determinação de pontos sobre a linha liquidus, é executada através da subrotina DLL. Os resultados desta subrotina são arquivados pela subrotina LIQUID.

A Figura 5 mostra o aspecto genérico da linha liquidus. As partes tracejadas são aquelas em que ela é imaginária. Para melhor ilustração foi incluída a LLRIL.

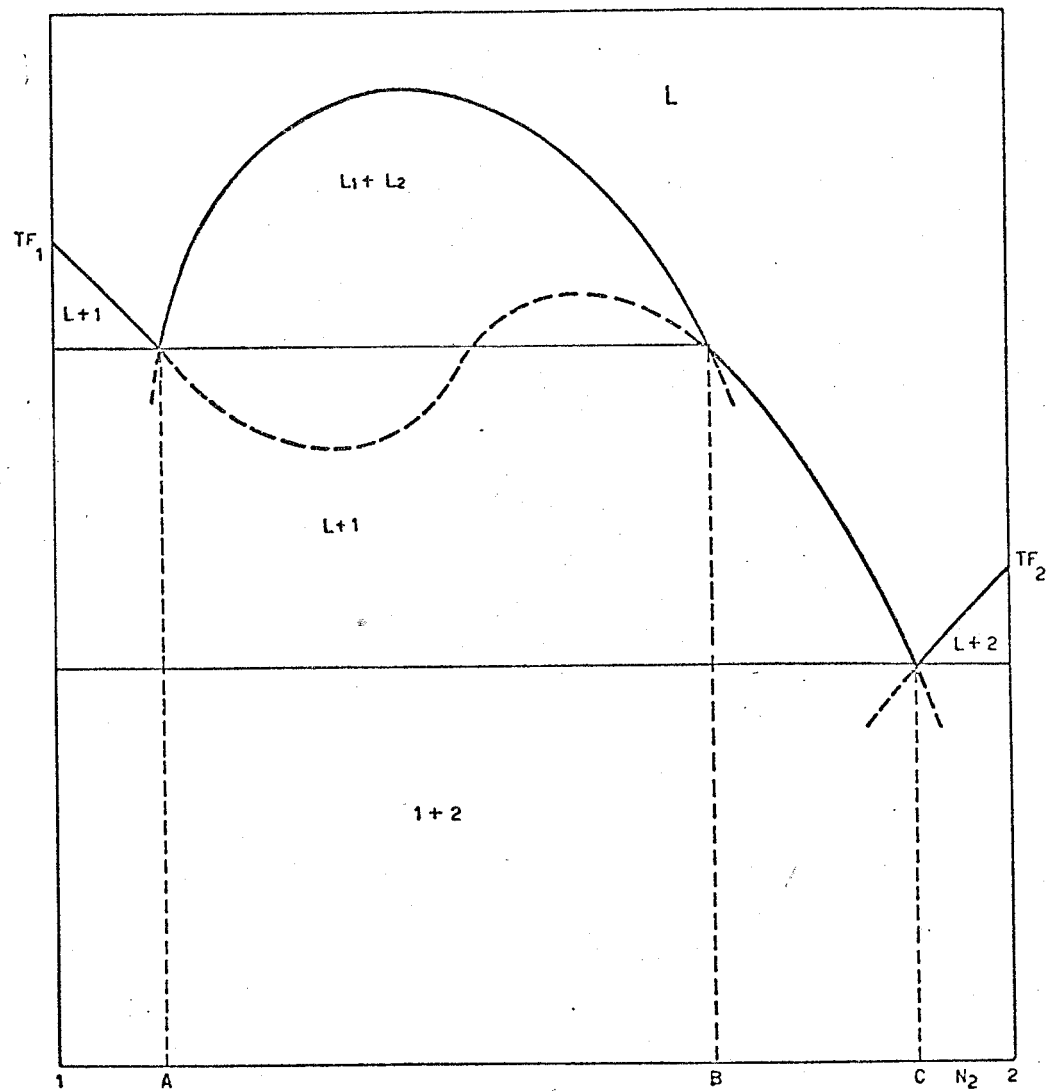


Fig. 5 - Aspecto genérico da linha liquidus, inclu
sive trechos imaginários.

3.3. Determinação dos pontos principais do diagrama de equilíbrio

A lógica para a determinação do ponto crítico é a mesma utilizada para o cálculo de pontos sobre a LLRIL. O acréscimo na temperatura é progressivamente reduzido até que a composição nos dois ramos da LLRIL seja coincidente. O cálculo é feito através da subrotina MIGAP.

Os pontos monotéticos e eutéticos são determinados calculando-se os pontos de interseção de curvas do segundo grau representativas de trechos das linhas liquidus e da LLRIL. Esta aproximação é válida, pois a determinação dos pontos principais se baseia na interseção de trechos relativamente curtos das citadas linhas. O ponto monotético situado na região rica no metal 1 é determinado pela interseção da curva do segundo grau representativa da linha liquidus do lado esquerdo superior com a curva do segundo grau representativa do ramo esquerdo da LLRIL. O ponto monotético situado na região rica no metal 2 é determinado de forma idêntica, através da linha liquidus do lado esquerdo inferior e do ramo direito da LLRIL. O ponto eutético é a interseção da linha liquidus do lado

esquerdo inferior com a linha liquidus do lado direito.

A temperatura monotética calculada em cada ramo da LLRIL deve diferir ligeiramente. Os valores calculados neste trabalho são bastante coerentes, não apresentando em nenhum caso diferenças superiores a 1°C. Toma-se como temperatura monotética a média aritmética das temperaturas calculadas para cada ponto monotético.

A metodologia descrita, para determinação dos pontos monotéticos e eutéticos, é executada através da subrotina INTSC. O ajuste dos pontos sobre as linhas, em curvas do segundo grau, é feito através da subrotina FIT.

A Figura 5 mostra as composições dos pontos monotéticos e eutético : A, B e C respectivamente.

3.4. Determinação de dados termodinâmicos

O algoritmo efetua o cálculo de atividades, coeficientes de atividade, entalpias e entropias parciais molares dos dois metais, para fração molar do metal 1 variando de 0,1 a 0,9 com acréscimos de 0,1 , em temperaturas selecionadas, nas quais estes dados

33.

são conhecidos na literatura. Os coeficientes de atividade são deduzidos através da equação (21). Seus valores multiplicados pela fração molar do elemento correspondente fornecem as atividades. Conhecendo-se as atividades, determinam-se as energias livres parciais molares com auxílio da equação (16). A energia livre parcial molar de cada constituinte é relacionada com a entalpia e entropia parciais molares através da equação :

$$\Delta\bar{G}_1 = \Delta\bar{H}_1 - T\Delta\bar{S}_1 \quad (33)$$

Em intervalos não muito extensos de temperatura, as entalpias e entropias parciais molares podem ser consideradas constantes com a temperatura. Calculando-se as energias livres parciais molares, 25°C acima e 25°C abaixo da temperatura em que foram calculadas as atividades, tem-se :

$$\Delta\bar{G}_{T_1} = \Delta\bar{H}_1 - T_1 \Delta\bar{S}_1 \quad (34)$$

$$\Delta\bar{G}_{T_2} = \Delta\bar{H}_1 - T_2 \Delta\bar{S}_1 \quad (35)$$

que é um sistema de duas equações lineares, com duas incógnitas, cuja solução fornece as entalpias e entropias parciais molares desejadas.

A metodologia descrita, para determinação de dados termodinâmicos, é executada através da subrotina TERMO.

3.5. Critério de seleção entre dados experimentais na LLRIL

O algoritmo criado no presente trabalho visa, entre outros objetivos, estabelecer um critério de seleção entre dados experimentais, sobre a LLRIL, de vários autores.

Qualquer método experimental utilizado para a determinação destes dados, implica na separação das duas fases líquidas por diferença de densidade. Esta diferença de densidade é bastante acentuada em uma faixa de temperaturas próxima à temperatura monotética, pois a composição das duas fases é bastante diferente. Com o aumento da temperatura as densidades aproximam-se. É de se esperar, portanto, uma melhor concordância entre as medidas experimentais de vários autores, numa faixa de

temperaturas mais baixa, e uma dispersão dos resultados, à medida que a temperatura cresce. A Figura 6 ilustra o fato, mostrando o diagrama de equilíbrio para o sistema zinco-chumbo, contendo as LLRIL calculadas através do algoritmo criado neste trabalho, utilizando dados experimentais de WARING et alii⁽¹⁰⁾ e HASS & JELLINEK⁽¹²⁾. A observação desta figura permite concluir o seguinte :

- i) os pontos monotéticos situam-se nas faixas de composições hachuradas, em que há concordância entre os dados experimentais sobre a LLRIL. A comparação entre os valores destes pontos calculados a partir dos dados de diversos autores, com os da literatura, não é bom critério de seleção entre estes dados;
- ii) o ponto eutético localiza-se bastante próximo a uma das extremidades do diagrama, região em que as propriedades termodinâmicas do sistema tendem para zero e, consequentemente, as linhas do diagrama, calculadas a partir de dados diferentes, tendem a coincidir-se. A comparação entre os valores do ponto eutético, calculados neste trabalho, com os da literatura, também não é bom critério de seleção entre os dados na LLRIL dos vários autores ;

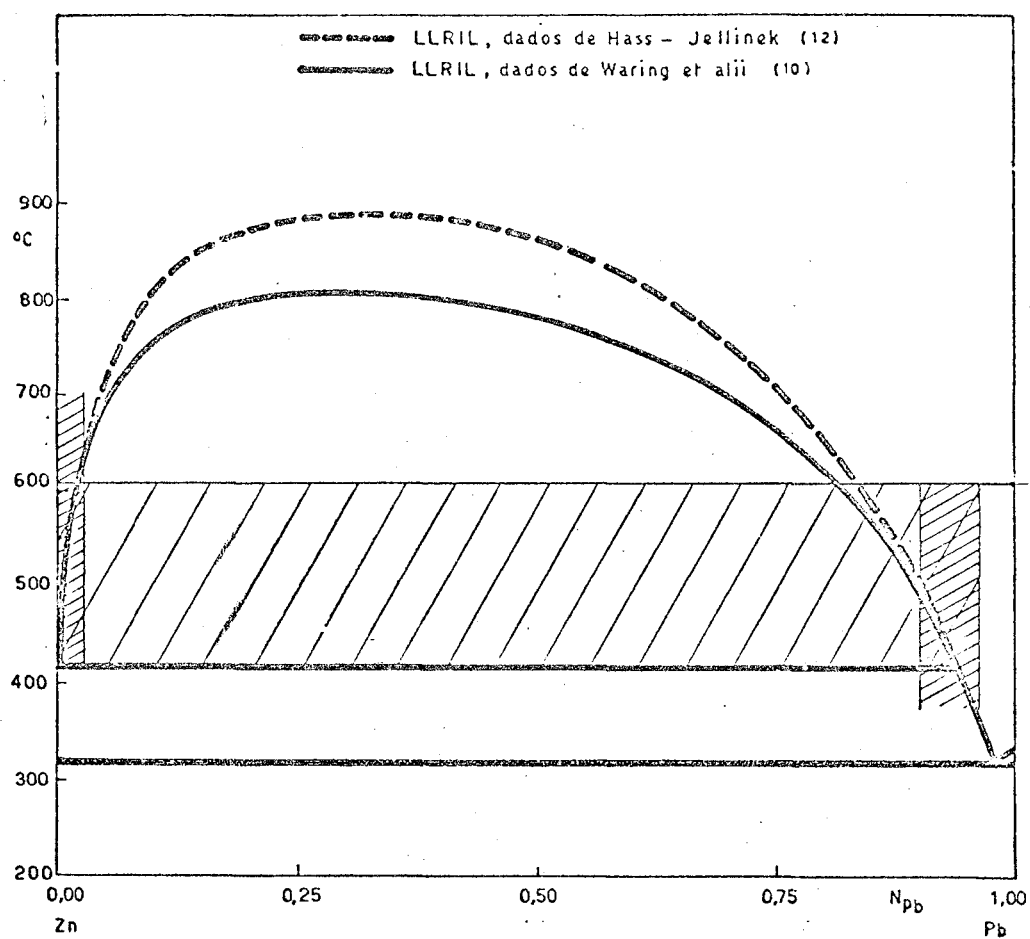


Fig. 6 - Diagrama de equilíbrio para o sistema Zn-Pb, mostrando a posição da LLRIL calculada no presente trabalho, a partir de dados experimentais de dois autores.

iii) o ponto crítico é de difícil determinação experimental, pois nas suas proximidades a diferença de densidade das duas camadas líquidas é pequena, o que acarreta a dispersão dos dados experimentais dos diversos autores. A comparação entre os valores do ponto crítico calculados neste trabalho, com os da literatura, é o único critério real de seleção entre aqueles dados, baseado nos pontos principais do diagrama ;

iv) Na faixa de temperaturas hachurada as atividades calculadas por este algoritmo, à partir dos dados experimentais dos vários autores, não devem apresentar grandes diferenças. Estas diferenças tendem a crescer com o aumento da temperatura, devendo ser bastante acentuadas para temperaturas acima da região de imiscibilidade líquida. O que foi dito revela que a comparação de atividades nesta faixa de temperaturas não é o critério ideal para seleção entre dados de vários autores. No entanto a equação :

$$\ln a_1 = \frac{\Delta \bar{H}_1}{RT} - \frac{\Delta \bar{S}_1}{R} \quad (36)$$

mostra que o logaritmo neperiano da atividade do metal 1 varia linearmente com o inverso da temperatura, sendo $\Delta\bar{H}_1/R$ e $\Delta\bar{S}_1/R$ os coeficientes da equação da reta. Se valores das atividades, calculados a partir dos dados de diversos autores, são semelhantes dentro de uma faixa de temperaturas e diferem entre si para temperaturas mais altas, eles serão representados por um feixe de retas que se cortam dentro da faixa de coincidência entre os valores. Os coeficientes das várias retas serão diferentes. Assim sendo, a comparação entre a entalpia e entropia parcial molar de cada metal, calculadas neste trabalho, e, consequentemente, da entalpia e entropia de mistura, será o melhor critério de seleção entre os dados dos vários autores, pois é aplicável em qualquer região do diagrama de equilíbrio.

©

Desta maneira conclui-se que a comparação entre dados de diversos autores será baseada nos seguintes critérios:

- i) determinação da composição e temperatura do ponto crítico e;
- ii) determinação das entalpias e entropias de mistura.

4. SISTEMA Zn-Pb

Zinco e chumbo são praticamente imiscíveis no estado sólido e apresentam uma extensa região de imiscibilidade líquida. A Figura 7 mostra o diagrama de equilíbrio para o sistema, apresentado por HANSEN & ANDERKO⁽¹¹⁾. No diagrama foram colocados os pontos experimentais, sobre a LLRIL, disponíveis na literatura para aplicação do algoritmo criado. Os cálculos foram realizados com dados dos seguintes autores :

i) WARING et alii⁽¹⁰⁾, cujos resultados foram obtidos através de métodos envolvendo resfriamento da liga como um todo e amostragem nas duas camadas líquidas. O Apêndice II mostra os dados destes autores, que foram apresentados em tabela para nove temperaturas diferentes ;

ii) HASS & JELLINEK⁽¹²⁾, cujos resultados foram obtidos através de amostragem nas duas camadas líquidas. O Apêndice III mostra os dados destes autores, que foram apresentados em tabela para cinco temperaturas diferentes ;

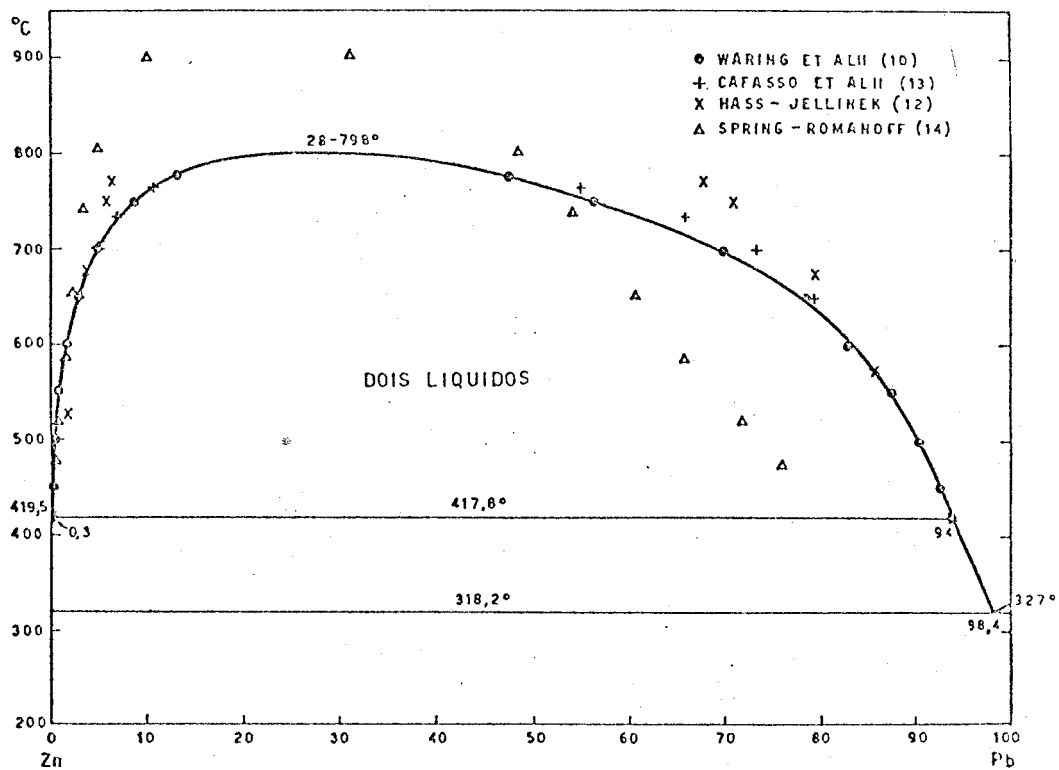


Fig. 7 - Diagrama de equilíbrio para o sistema
Zn-Pb.

iii) CAFASSO et alii⁽¹³⁾, cujos resultados foram obtidos através de amostragem nas duas camadas líquidas. Os dados destes autores foram apresentados em gráfico, do qual foram lidos pontos em quatro temperaturas diferentes, mostrados no Apêndice IV;

iv) SPRING & ROMANOFF⁽¹⁴⁾, cujos resultados foram obtidos através de amostragem nas duas camadas líquidas. O Apêndice V mostra os dados destes autores, que foram apresentados em tabela para sete temperaturas diferentes.

Existe boa concordância entre os dados na LLRIL de WARING et alii⁽¹⁰⁾, os de CAFASSO et alii⁽¹³⁾, e os de KRUPKOWSKI⁽²⁾, obtidos a partir de modelo matemático próprio, os de KLEPPA⁽¹⁵⁾, que utilizou o método de medida de força eletromotriz e os de SEITH & JOHNEN⁽¹⁶⁾, medidos por técnica de resfriamento. Os valores das duas últimas referências não foram introduzidos no algoritmo por não preencherem o requisito de disponibilidade de dados nos dois ramos da LLRIL. Os resultados de HASS & JELLINEK⁽¹²⁾ e SPRING & ROMANOFF⁽¹⁴⁾, obtidos pelo método de amostragem nas duas camadas líquidas, afastam-se dos anteriores, em temperaturas elevadas, indicando uma temperatura critica mais alta. Os dados de SPRING & ROMANOFF⁽¹⁴⁾

afastam-se bastante dos demais também em temperaturas mais baixas. WARING et alii⁽¹⁰⁾, repetiram os métodos experimentais dos dois trabalhos, concluindo que o procedimento utilizado é inadequado, pois as medidas foram tomadas sem que o sistema atingisse o equilíbrio. As medidas de pressão de vapor de ROSENTHAL et alii⁽¹⁷⁾, determinam uma temperatura crítica igualmente elevada, da ordem de 900°C e afastam-se consideravelmente das demais, mesmo em temperaturas baixas. Estes dados foram introduzidos no algoritmo e mostraram não serem internamente consistentes, pois foram rejeitados pelo mesmo.

Foi mostrado, que, entre os pontos principais do diagrama, sómente a comparação da localização do ponto crítico é um bom critério de seleção entre dados sobre a LLRIL. Os valores de composição e temperatura para este ponto, calculados neste trabalho, são apresentados na Tabela I, comparados com os de outros autores.

HANSEN & ANDERKO⁽¹¹⁾ dizem que o ponto crítico foi calculado por LUMSDEN⁽⁷⁾ e medido experimentalmente por SEITH & JOHNEN⁽¹⁶⁾, mas não afirmam explicitamente que o dado apresentado seja o dos últimos au

tores, o que pode ser inferido da coincidência de valores.

TABELA I - Temperatura e composição críticas para o sistema zinco-chumbo.

A U T O R	T°C	N _{Pb}
HANSEN & ANDERKO ⁽¹¹⁾	798	0,28
HASS & JELLINEK ⁽¹²⁾	945	
HULTGREN et alii ⁽¹⁸⁾	790	0,28
SEITH & JOHNEN ⁽¹⁶⁾	798	0,28
KRUPKOWSKI ⁽²⁾	808	0,324
Este trabalho (dados de WARING et alii ⁽¹⁰⁾)	804,8	0,299
Este trabalho (dados de HASS & JELLINEK ⁽¹²⁾)	893,1	0,319
Este trabalho (dados de CAFASSO et alii ⁽¹³⁾)	813,1	0,274
Este trabalho (dados de SPRING & ROMANOFF ⁽¹⁴⁾)	952,6	0,199

As Figuras 8 e 9 mostram os valores de entalpia e entropia de mistura calculados neste trabalho a partir de dados de WARING et alii⁽¹⁰⁾, HASS & JELLINEK⁽¹²⁾, CAFASSO et alii⁽¹³⁾ e SPRING & ROMANOFF⁽¹⁴⁾, comparados com os de :

i) HULTGREN et alii⁽⁶⁾, que foram calculados mediante utilização da equação de Lumsden (com as constantes calculadas originalmente por este autor) e apresentados tabelados ;

ii) HULTGREN et alii⁽¹⁸⁾, que foram calculados a partir de medidas de conteúdo calorífico de TODD & OATES⁽¹⁹⁾ e TODD et alii⁽²⁰⁾ e apresentados tabelados somente na região de miscibilidade líquida;

iii) ROSENTHAL et alii⁽¹⁷⁾, que foram medidos pelo método de potencial de eletrodo ("eletrode-potential") e apresentados em gráficos ;

iv) TODD et alii⁽²⁰⁾, que foram medidos por meio de "drop-calorimeter" e apresentados em gráficos;

v) KLEPPA⁽¹⁵⁾, valores somente de entalpias de mistura, que foram medidos pelo método de força eletromotriz e apresentados em gráficos.

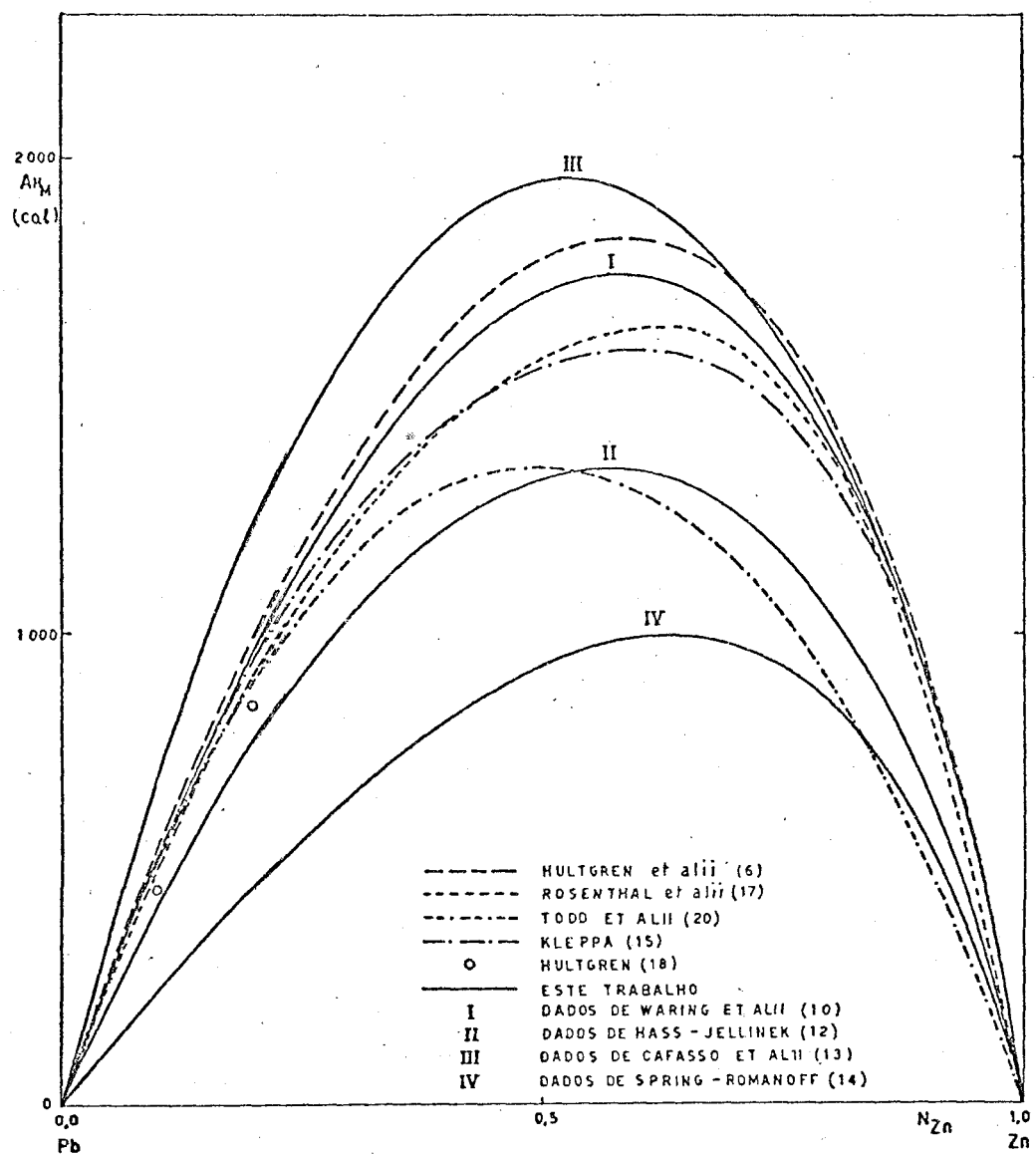


Fig. 8 - Entalpia de mistura em função da fração molar de zinco, para o sistema Zn-Pb .

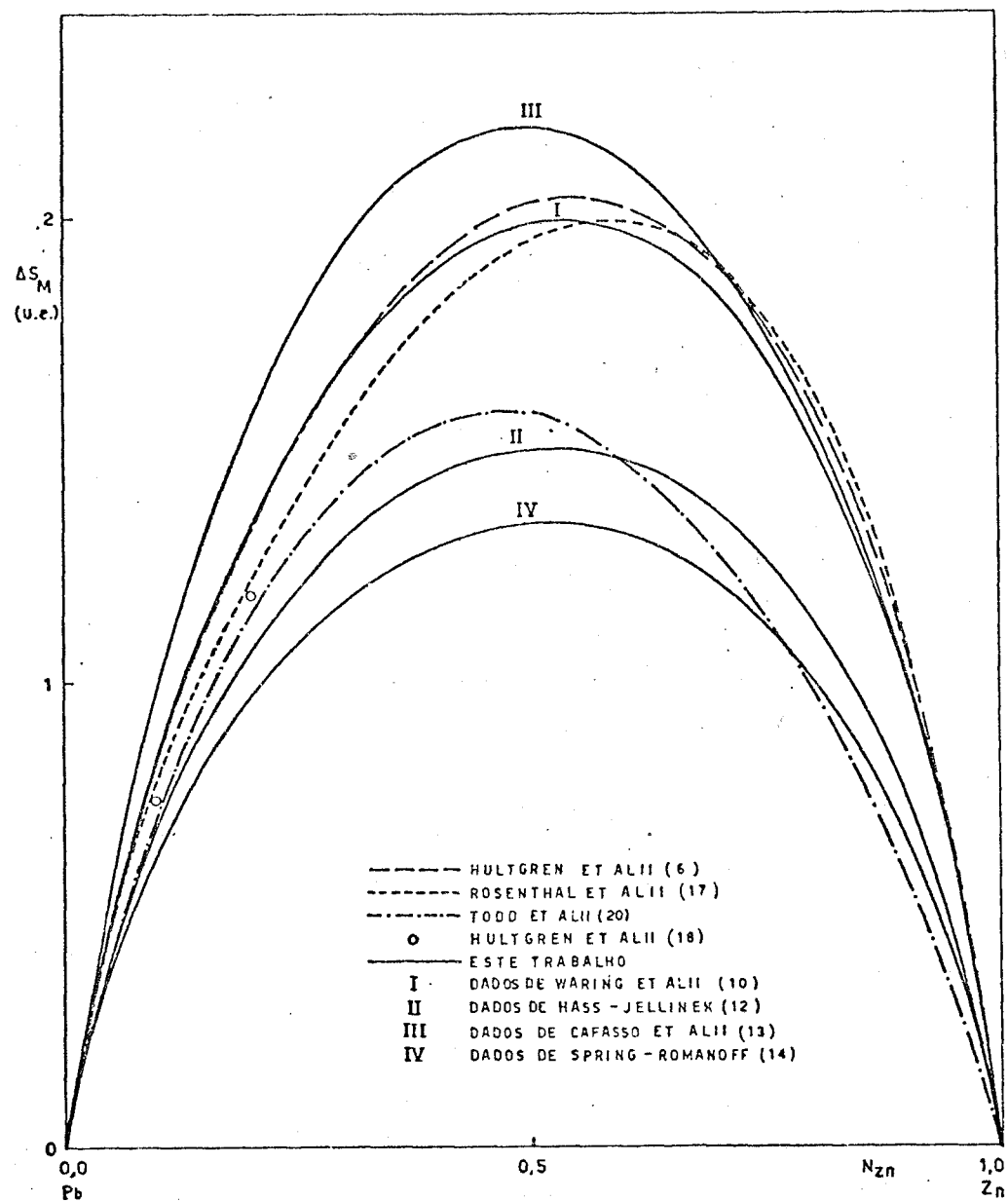


Fig. 9 - Entropia de mistura em função da fração molar de zinco, para o sistema Zn-Pb.

Os dados experimentais de SPRING & ROMANOFF⁽¹⁴⁾ estão inteiramente afastados daqueles dos demais autores e conduzem a resultados inconsistentes, portanto não merecem maior atenção. Os dados de HASS & JELLINEK⁽¹²⁾ conduzem à determinação do ponto crítico em temperatura excessivamente elevada. Levando-se em conta as dificuldades experimentais envolvidas na determinação do ponto crítico, a concordância entre os valores calculados neste trabalho a partir de dados de WARING et alii⁽¹⁰⁾ e CAFASSO et alii⁽¹³⁾ e os valores de outros autores pode ser considerada boa. O critério de seleção entre os dados dos dois autores deverá ser a comparação entre valores de entalpia e entropia de mistura. As Figuras 8 e 9 mostram que os dados de CAFASSO et alii⁽¹³⁾ conduzem ao cálculo de valores exagerados para as duas propriedades, confirmando ainda a inaceitabilidade dos dados de HASS & JELLINEK⁽¹²⁾ e SPRING & ROMANOFF⁽¹⁴⁾ que levam a entalpias e entropias de mistura muito baixas.

As Figuras 8 e 9 e a Tabela I permitem concluir que os dados experimentais, sobre a LLRIL, de WARING et alii⁽¹⁰⁾ são os mais exatos dentre os estudos.

As constantes da equação de LUMSDEN, pontos sobre as linhas que separam fases no diagrama de equilíbrio, pontos principais do diagrama, dados de atividades, coeficientes de atividade, entalpias e entropias parciais molares para os dois metais são apresentados nos Apêndices VI, VII, VIII e IX, calculados através da aplicação do algoritmo criado no presente trabalho, utilizando dados experimentais das quatro referências citadas no início deste item. Os pontos principais do diagrama, apresentados nestes apêndices sob o título "literatura", são os de HANSEN & ANDERKO⁽¹¹⁾. Os dados termodinâmicos da "literatura" a 926°K são de HULTGREN et alii⁽⁶⁾, e aqueles a 923°K de HULTGREN et alii⁽¹⁸⁾, que não apresentam valores no interior da região de imiscibilidade líquida. No entanto, o funcionamento do algoritmo exige a leitura destes dados, nestas composições. Esta exigência foi satisfeita através da alimentação, nesta faixa, de números que não apresentam significado.

As Tabelas II e III, apresentadas como ilustração, mostram uma comparação entre os pontos monotéticos e eutéticos calculados neste trabalho a partir dos dados de WARING et alii⁽¹⁰⁾ e aqueles apresentados por HANSEN & ANDERKO⁽¹¹⁾.

TABELA II - Temperatura e composições monotéticas para o sistema zinco-chumbo.

A U T O R	T°C	N ^E Pb	N ^D Pb
HANSEN & ANDERKO ⁽¹¹⁾	417,8	0,003	0,94
Este trabalho (dados de WARING et alii ⁽¹⁰⁾)	418,4	0,0027	0,945

TABELA III - Temperatura e composição eutéticas para o sistema zinco-chumbo.

A U T O R	T°C	N _{Zn}
HANSEN & ANDERKO ⁽¹¹⁾	318,2	0,016
Este trabalho (dados de WARING et alii ⁽¹⁰⁾)	316,5	0,0185

50.

A Figura 10, mostrada a título de exemplificação, compara os resultados de atividades dos dois metais, deste trabalho, com os valores apresentados por HULTGREN et alii^(6,18), que são valores originados de compilação de dados de diversos autores. Estes valores, e os calculados neste trabalho a partir dos dados WARING et alii⁽¹⁰⁾, apresentam uma notável coincidência.

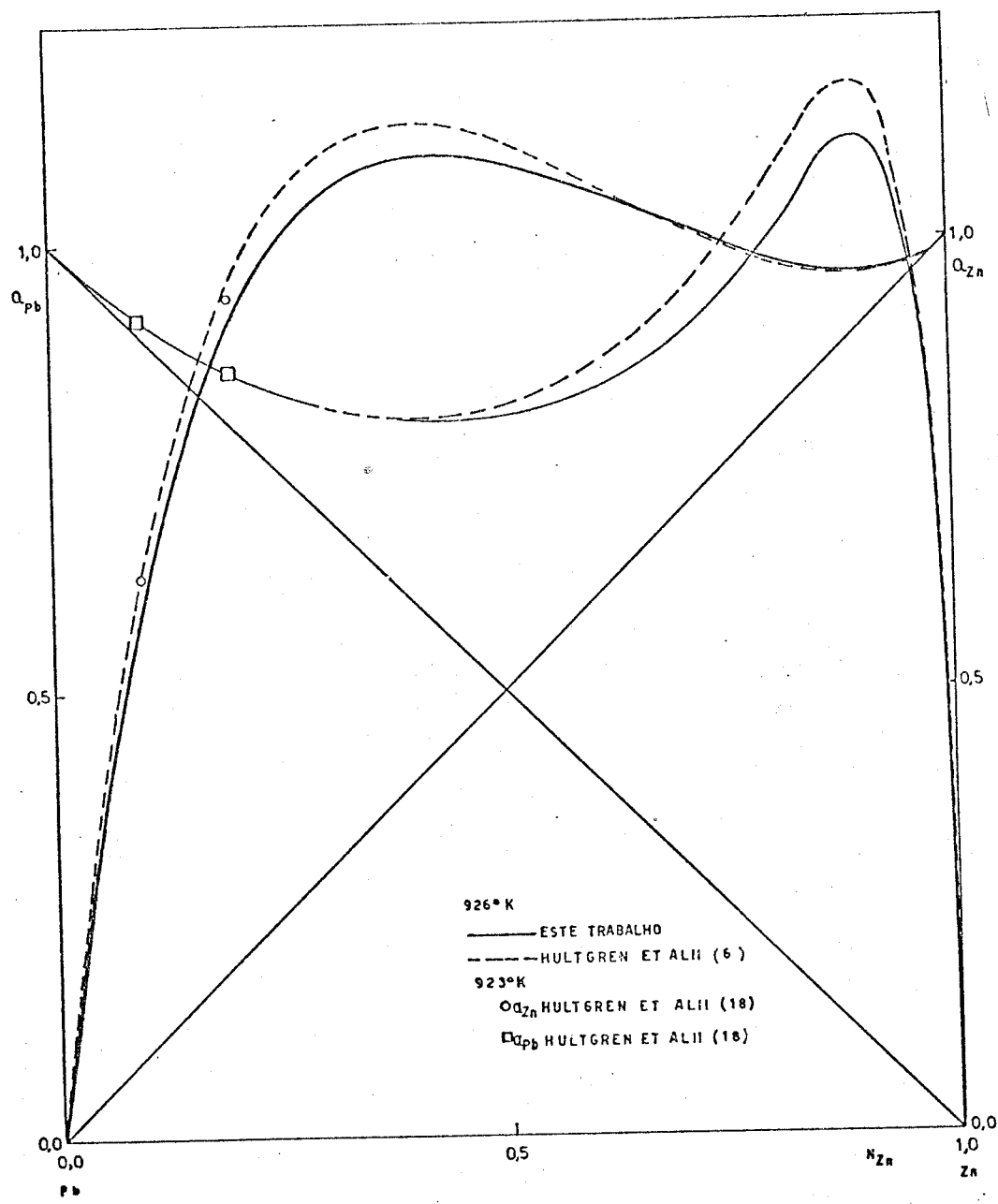


Fig. 10 - Atividades de zinco e chumbo em função da fração molar de zinco, para o sistema Zn-Pb.

5. SISTEMA Al-In

Alumínio e índio são praticamente imiscíveis no estado sólido e apresentam uma região de imiscibilidade líquida. A Figura 11 mostra o diagrama de equilíbrio para o sistema, apresentado por HANSEN & ANDERKO⁽¹¹⁾. No diagrama foram colocados os pontos experimentais, sobre a LLRIL, disponíveis na literatura para aplicação do algoritmo criado. Os cálculos foram realizados com dados dos seguintes autores:

i) CAMPBELL & WAGEMANN⁽²¹⁾, cujos resultados foram obtidos através de métodos envolvendo amostragem direta nas duas camadas líquidas em equilíbrio. O Apêndice X mostra os dados destes autores, que foram apresentados em gráfico para seis temperaturas diferentes :

ii) CAMPBELL et alii⁽²²⁾, cujos resultados foram obtidos através de métodos envolvendo determinação polarográfica do teor de índio, utilizando o polarógrafo de SARGENT-HEYROVSKY, e medidas de diferença de densidade das duas camadas para determinação do teor de alumínio. O Apêndice XI mostra os dados destes autores, que foram apresentados em tabela para quatro temperaturas diferentes.

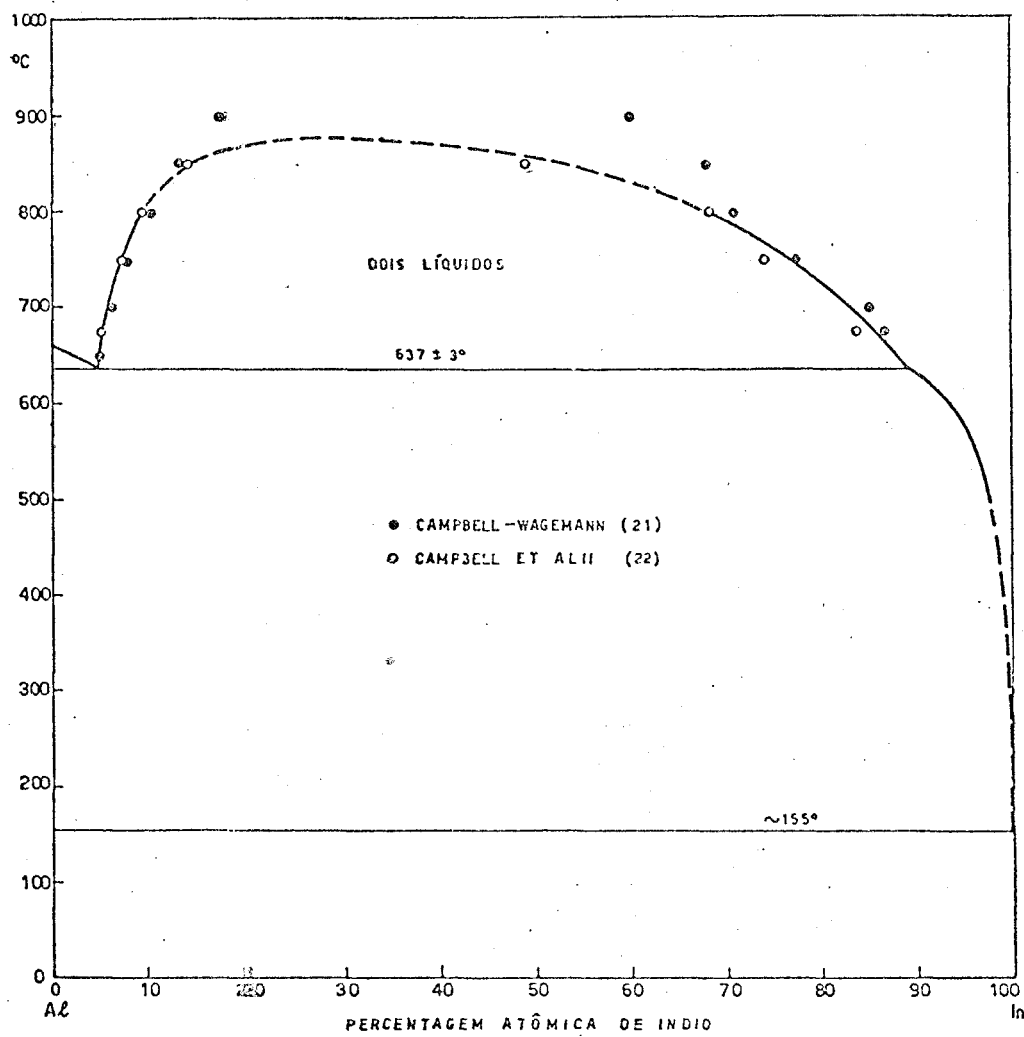


Fig. 11 - Diagrama de equilíbrio para o sistema Al-In.

Os dados sobre a LLRIL das duas referências acima apresentam boa concordância para temperaturas mais baixas, afastando-se com a elevação da temperatura. Os de CAMPBELL & WAGEMANN⁽²¹⁾ indicam uma temperatura crítica mais elevada.

A comparação da localização do ponto crítico é um dos critérios de seleção entre dados sobre a LLRIL. Os valores da composição e temperatura para este ponto, calculados nesta investigação científica, são apresentados na Tabela IV, comparados com os de outros autores.

TABELA IV - Temperatura e composição críticas para o sistema alumínio-índio.

A U T O R	T°C	N _{In}
CAMPBELL & WAGEMANN ⁽²¹⁾	945	0,34
PREDEL & SANDIG ⁽²³⁾	830	0,40
Este trabalho (dados de CAMPBELL & WAGEMANN ⁽²¹⁾)	975,3	0,344
Este trabalho (dados de CAMPBELL et alii ⁽²²⁾)	918,9	0,269

As Figuras 12 e 13 mostram os valores de entalpia e entropia de mistura calculados neste trabalho a partir de dados de CAMPBELL & WAGEMANN⁽²¹⁾ e CAMPBELL et alii⁽²²⁾, comparados com os de :

- i) HULTGREN et alii⁽¹⁸⁾, que foram selecionados pelos autores e apresentados em tabelas ;
- ii) PREDEL & SANDIG⁽²³⁾, que foram medidos através de calorímetro de alta temperatura e apresentados em gráficos ;
- iii) YAZAWA & LEE⁽²⁴⁾, que foram calculados a partir de medidas de força eletromotriz e apresentados em gráficos ;
- iv) WITTIG & KEIL⁽²⁵⁾, (apud PREDEL & SANDIG⁽²³⁾), valores somente de entalpias de mistura, que foram obtidos através de medidas calorimétricas e apresentados em gráfico.

A grande discrepância entre os valores de temperatura do ponto crítico, determinados por CAMPBELL & WAGEMANN⁽²¹⁾ e PREDEL & SANDIG⁽²³⁾, impede a utilização do critério de seleção entre dados, sobre a LLRIL, baseado no cálculo do citado ponto através do algoritmo criado no presente trabalho. O critério de seleção entre os dados de CAMPBELL & WAGEMANN⁽²¹⁾ e CAMPBELL et alii⁽²²⁾ deverá ser a comparação entre valores de

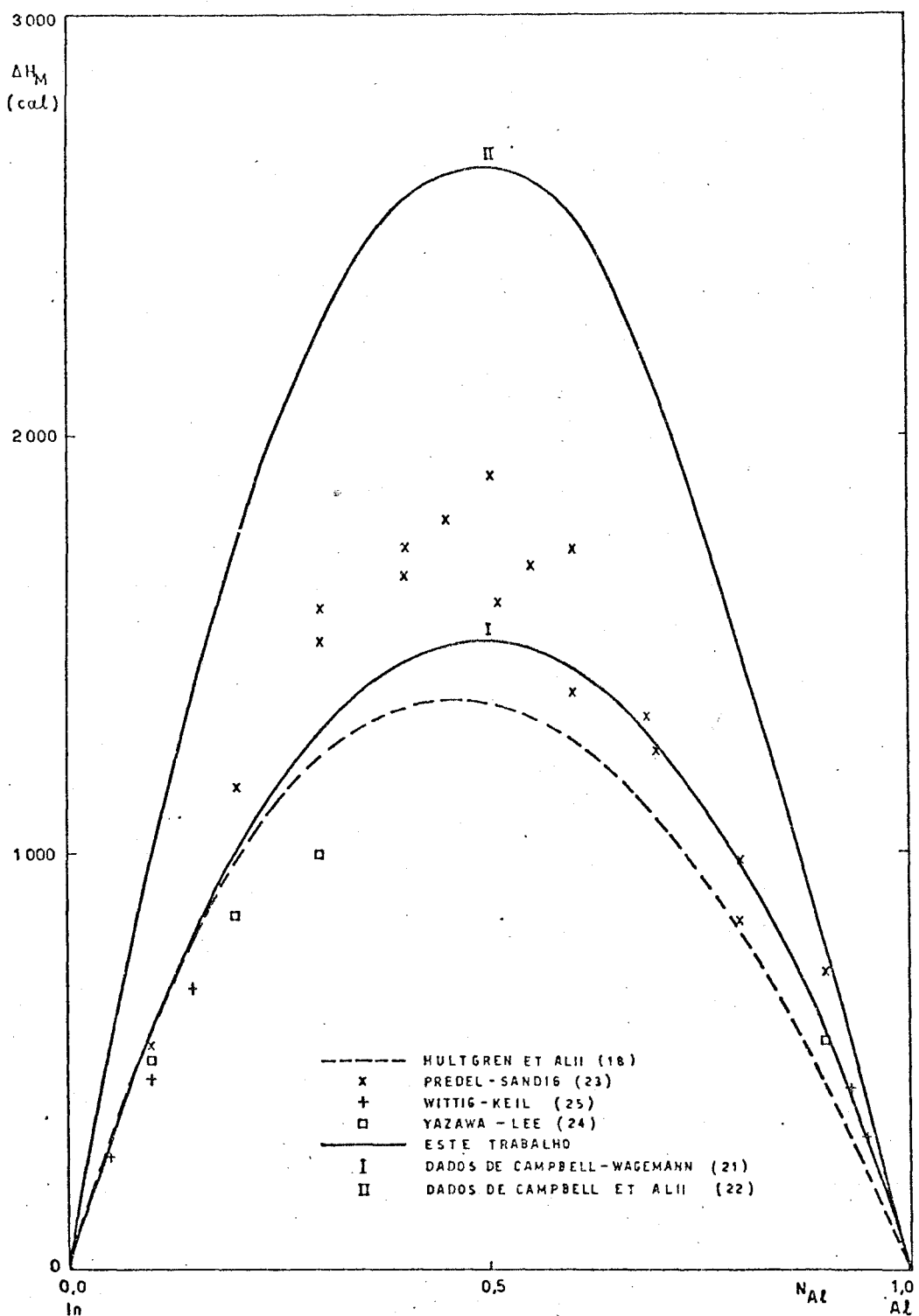


Fig. 12 - Entalpia de mistura em função da fração molar de alumínio, para o sistema Al-In.

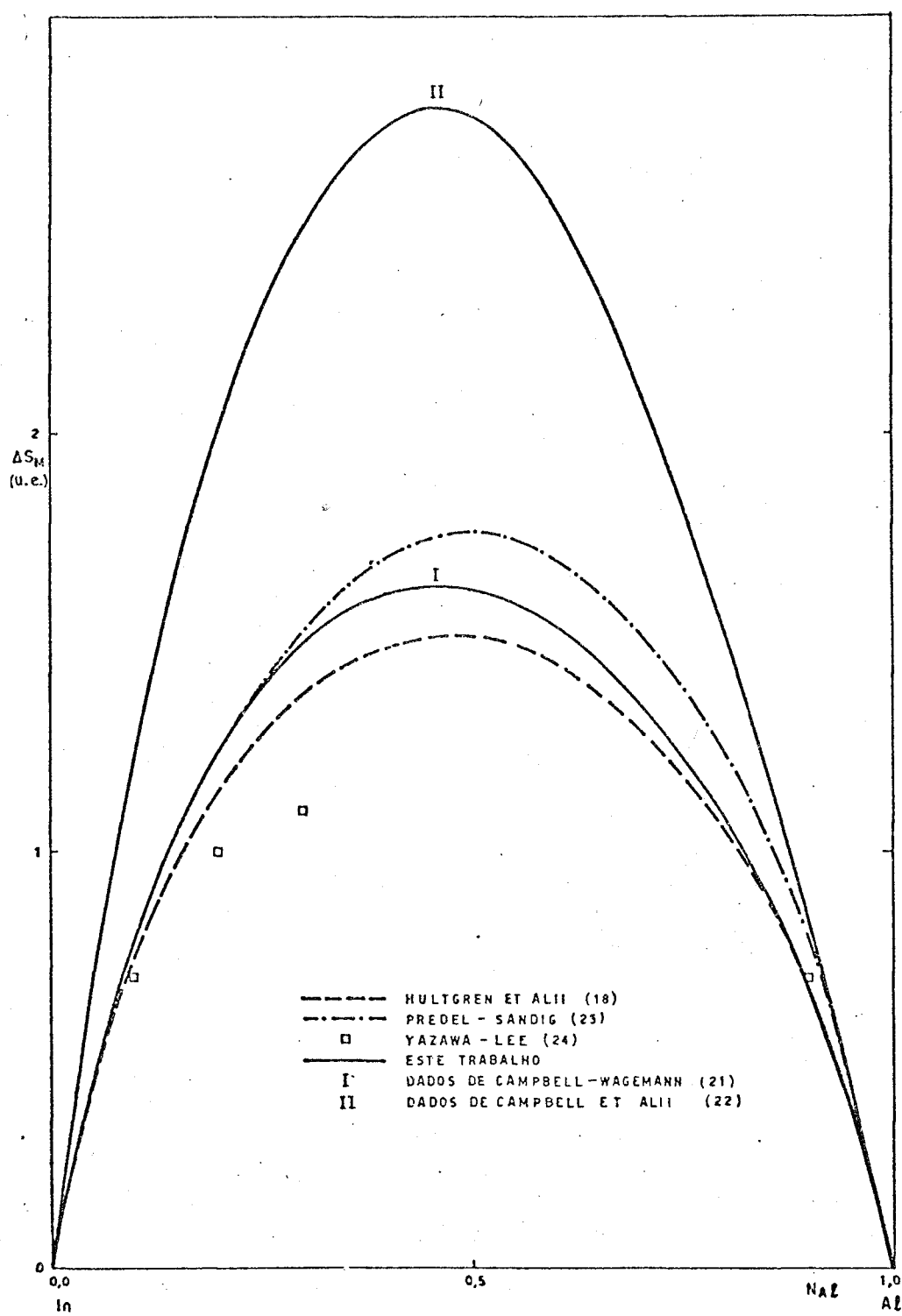


Fig. 13 - Entropia de mistura em função da fração molar de alumínio, para o sistema Al-In.

entalpia e entropia de mistura. As Figuras 12 e 13 mostram que os dados da segunda referência conduzem ao cálculo de valores exagerados para as duas propriedades, causando a inaceitabilidade destes dados sobre a LLRIL.

As Figuras 12 e 13 permitem concluir que os dados experimentais, sobre a LLRIL, de CAMPBELL & WAGEMANN⁽²¹⁾ são os mais exatos dentre os estudados.

As constantes da equação de Lumsden, pontos sobre as linhas que separam fases no diagrama de equilíbrio, pontos principais do diagrama, dados de atividades, coeficientes de atividade, entalpias e entropias parciais molares para os dois metais são apresentados nos Apêndices XII e XIII, calculados através da aplicação do algoritmo criado no presente trabalho, utilizando dados experimentais das duas referências citadas no início deste item. Os pontos monotéticos e eutéticos, apresentados nestes apêndices sob o título "literatura", são os de HANSEN & ANDERKO⁽¹¹⁾, excepto a composição eutética. O ponto eutético localiza-se bastante próximo ao ponto de fusão do índio ; e não foi encontrada nenhuma referência bibliográfica que fixasse sua composição. Como o funcionamento do algoritmo exige a leitura deste dado, foi introduzido

um número arbitrário. Os valores de composição e temperatura para o ponto crítico da "literatura", são de CAMPBELL & WAGEMANN⁽²¹⁾. Os dados termodinâmicos da "literatura" a 1173°K são de HULTGREN et alii⁽¹⁸⁾.

A Tabela V, apresentada como ilustração, mostra uma comparação entre os pontos monotéticos calculados neste trabalho a partir dos dados de CAMPBELL & WAGEMANN⁽²¹⁾ e aqueles apresentados por HANSEN & ANDERKO⁽¹¹⁾.

TABELA V - Temperatura e composições monotéticas para o sistema alumínio-índio.

A U T O R	T°C	N ^E In	N ^D In
HANSEN & ANDERKO ⁽¹¹⁾	637	0,047	0,89
Este trabalho (dados de CAMPBELL & WAGEMANN ⁽²¹⁾)	635	0,0465	0,879

O algoritmo criado neste trabalho não possibilita a determinação do ponto eutético nos casos em que a declividade do ramo esquerdo inferior da linha líquidos, nas vizinhanças deste ponto, é acentuada. A Figura 14, que mostra o ramo esquerdo inferior da linha

liquidus Al-In, contendo os pontos calculados neste trabalho, a partir dos dados de CAMPBELL & WAGEMANN⁽²¹⁾, ilustra o problema. O ramo direito da linha liquidus é tão curto que foi impossível sua representação na figura. A determinação da interseção dos ramos direito e esquerdo exigiu uma extrapolação deste último em uma faixa de cerca de 250°C, que tira toda a precisão do método. Seria necessário que o acréscimo na composição fosse progressivamente diminuído, à medida que a declividade da linha liquidus aumentasse, o que propiciaria a obtenção de pontos localizados nas vizinhanças do ponto eutético. Muito embora esta modificação fosse de caráter simples, não foi possível realizá-la por exiguidade de tempo. Foi, então, tentado um ajuste do logaritmo da fração molar de alumínio contra o inverso da temperatura absoluta, mostrado na Figura 15. O método também não é satisfatório, pois envolve a extrapolação de um longo trecho, não linear, do ramo esquerdo inferior da linha liquidus.

A Figura 16, mostrada a título de exemplificação, compara os resultados de atividades dos dois metais, deste trabalho, com os valores apresentados por HULTGREN et alii⁽¹⁸⁾, que são valores originados de compilação de dados de diversos autores. Estes valo

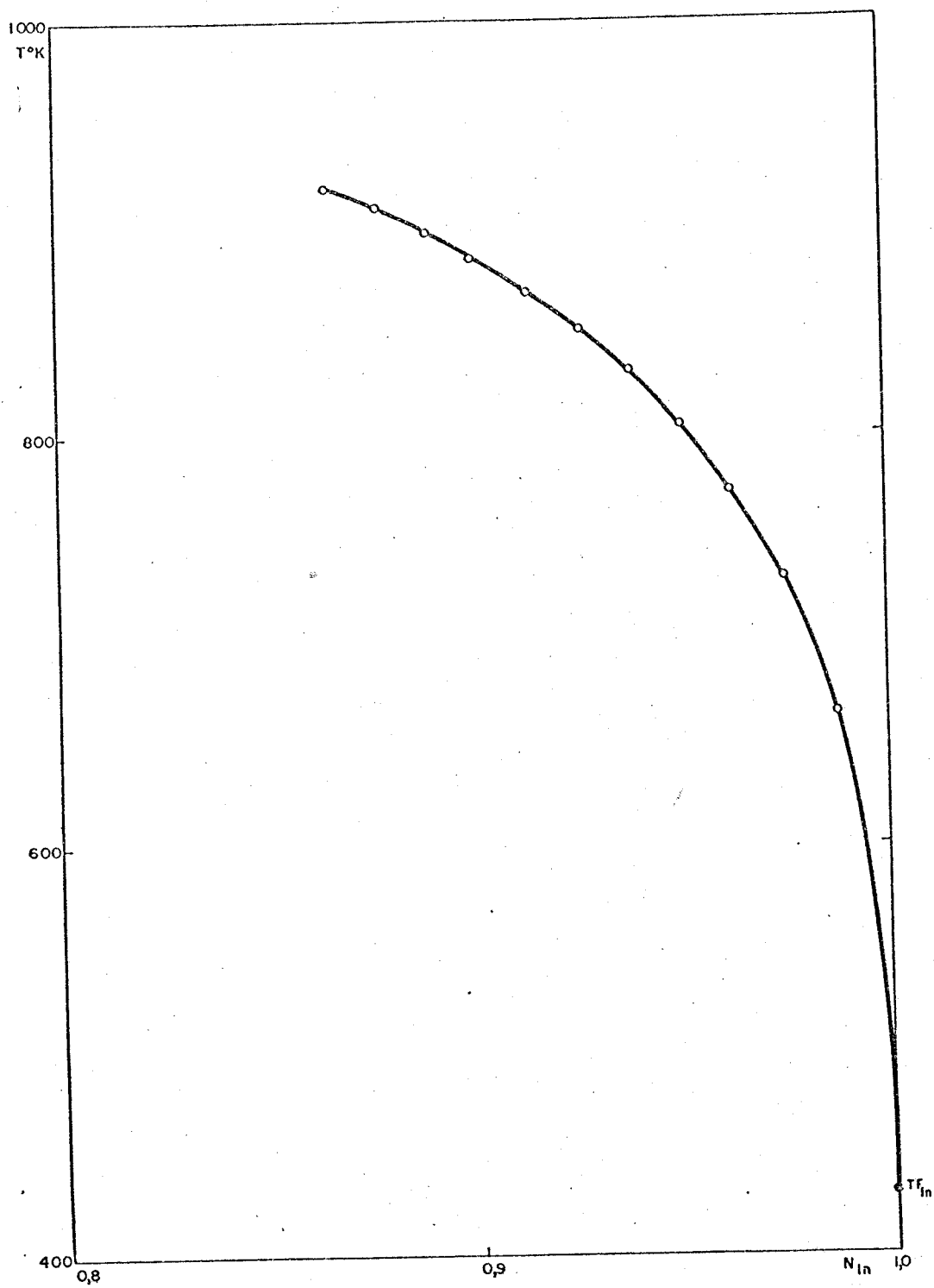


Fig. 14 - Detalhe do diagrama de equilíbrio Al-In, mostrando o ramo esquerdo inferior da linha liquidus.

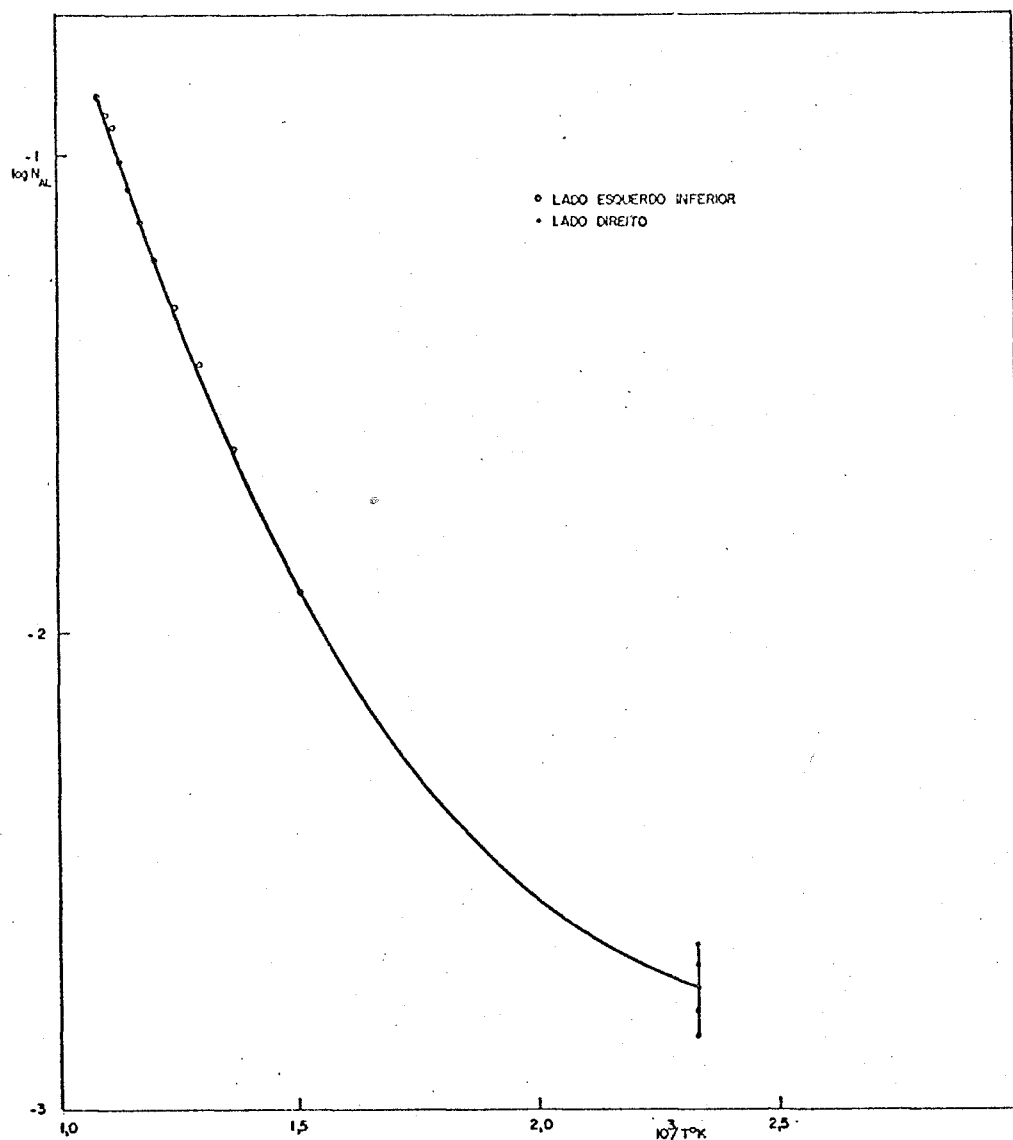


Fig. 15 - Logaritmo da fração molar de alumínio em função do inverso da temperatura, para o ramo esquerdo inferior e o ramo direito da linha liquidus, no sistema Al-In.

63.

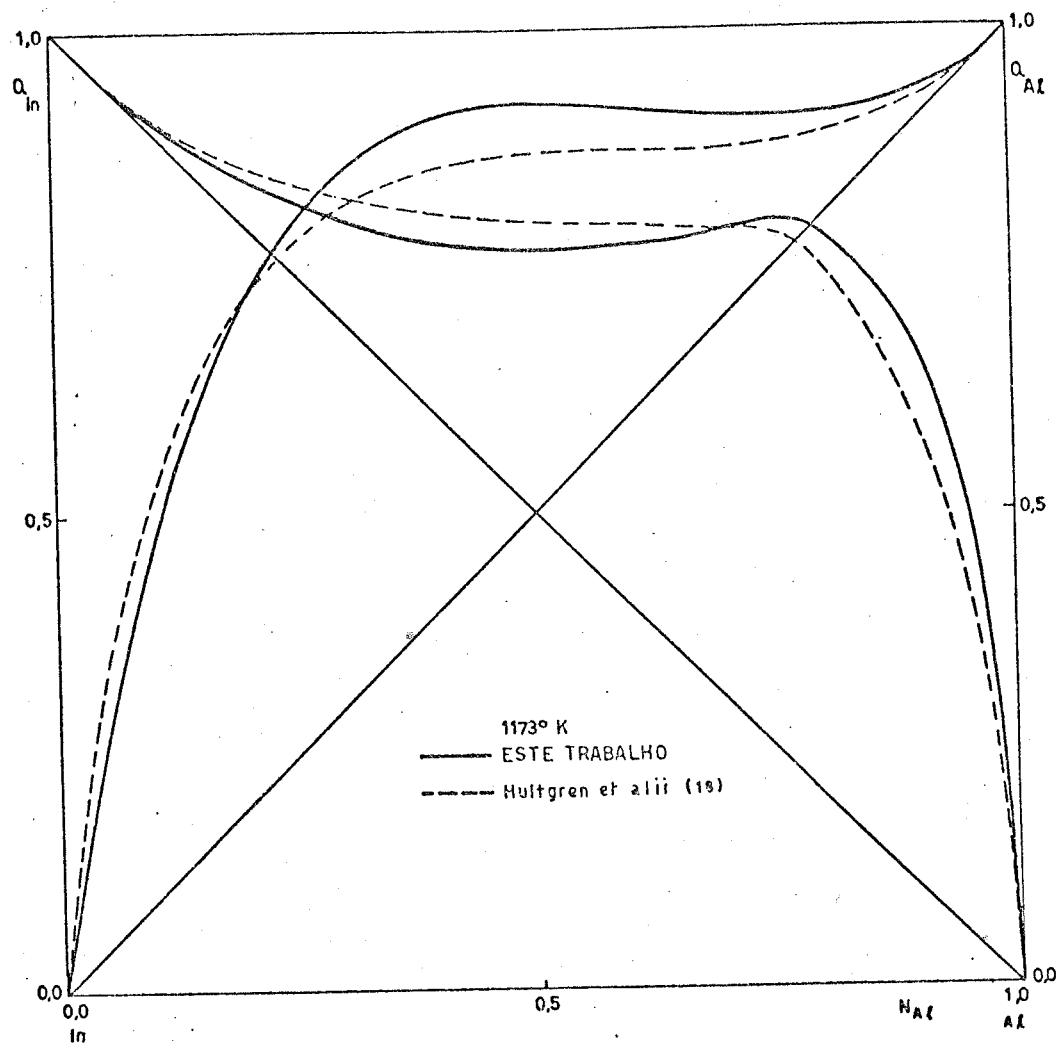


Fig. 16 - Atividades de alumínio e índio em função da fração molar de alumínio, para o sistema Al-In.

64.

res, e os calculados neste trabalho a partir dos dados de CAMPBELL & WAGEMANN⁽²¹⁾, apresentam uma notável coincidência.

6. SISTEMA Zn-Bi

A solubilidade sólida do bismuto no zinco é extremamente baixa e a do zinco no bismuto é controvertida. MATHEWSON & SCOTT⁽²⁶⁾ (apud HANSEN & ANDERKO⁽¹¹⁾) determinaram, através de observação microscópica de liga cuidadosamente resfriada, um valor de percentagem atômica de zinco inferior a 0,6%, o qual permite que a solubilidade sólida do zinco no bismuto seja desprezada no presente trabalho. Os dois metais apresentam imiscibilidade líquida numa faixa de temperaturas, não muito ampla, inferior a 200°C. A Figura 17 mostra o diagrama de equilíbrio para o sistema, apresentado por HANSEN & ANDERKO⁽¹¹⁾. No diagrama foram colocados os pontos experimentais, sobre a LLRIL, disponíveis na literatura para aplicação do algoritmo criado. Os cálculos foram realizados com os dados dos seguintes autores :

i) KLEPPA⁽¹⁵⁾, cujos resultados foram obtidos através de medidas de força eletromotriz e apresentados tabelados. A tabela não contém, entretanto, pontos isotérmicos sobre os dois ramos da LLRIL. Foi feito um ajuste do ramo esquerdo da LLRIL através de curva do segundo grau, e determinados pontos sobre este ramo, nas temperaturas em que são apresentados pontos

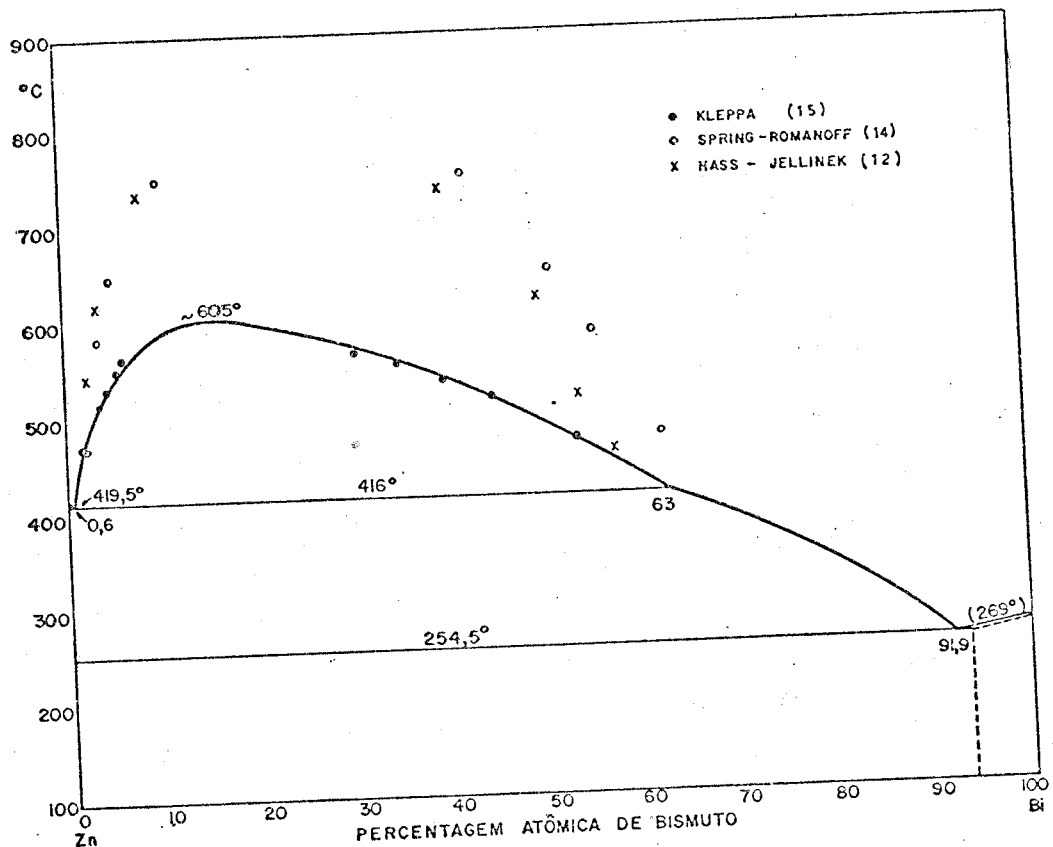


Fig. 17 - Diagrama de equilíbrio para o sistema
Zn-Bi.

sobre o ramo direito. Os valores introduzidos no algoritmo, em cinco temperaturas diferentes, são mostrados no Apêndice XIV;

ii) HASS & JELLINEK⁽¹²⁾, cujos resultados foram obtidos através de amostragem nas duas camadas líquidas. O Apêndice XV mostra os dados destes autores, que foram apresentados em tabela para quatro temperaturas diferentes;

iii) SPRING & ROMANOFF⁽¹⁴⁾, cujos resultados foram obtidos através de amostragem nas duas camadas líquidas. O Apêndice XVI mostra os dados destes autores, que foram apresentados em tabela para quatro temperaturas diferentes.

Existe boa concordância entre os dados na LLRIL de KLEPPA⁽¹⁵⁾ e os de SEITH et alii⁽²⁷⁾. Estes últimos valores não foram introduzidos no algoritmo por não preencherem o requisito de disponibilidade de dados nos dois ramos da LLRIL. Os resultados de HASS & JELLINEK⁽¹²⁾ e SPRING & ROMANOFF⁽¹⁴⁾, obtidos pelo método de amostragem nas duas camadas líquidas, afastam-se bastante dos anteriores, indicando uma temperatura crítica muito mais elevada. WARING et alii⁽¹⁰⁾ mostraram que o procedimento por eles adotado é inadequado para o sistema Zn-Pb, tendo as medi-

das sido tomadas antes que o sistema atingisse o equilíbrio. Assim sendo, a validade de seus resultados para o sistema Zn-Bi, é também discutível.

Dados relativos ao ponto crítico para este sistema são escassos na literatura. HANSEN & ANDERKO⁽¹¹⁾ apresentam uma temperatura crítica de aproximadamente 605°C e HASS & JELLINEK⁽¹²⁾ concluem pelo valor de 820°C. Assim sendo, é impossível comparar-se os valores para este ponto calculados no presente trabalho, a partir de dados de diferentes autores, com os da literatura.

As Figuras 18 e 19 mostram os valores de entalpia e entropia de mistura calculados neste trabalho a partir de dados de KLEPPA⁽¹⁵⁾, HASS & JELLINEK⁽¹²⁾ e SPRING & ROMANOFF⁽¹⁴⁾, comparados com os de :

i) HULTGREN et alii⁽⁶⁾, que foram calculados baseados em medidas de força eletromotriz de KLEPPA⁽¹⁵⁾, sendo consistentes com o diagrama de equilíbrio. Os valores são apresentados tabelados ;

ii) HULTGREN et alii⁽¹⁸⁾, que foram selecionados entre resultados de vários autores e apresentados tabelados ;

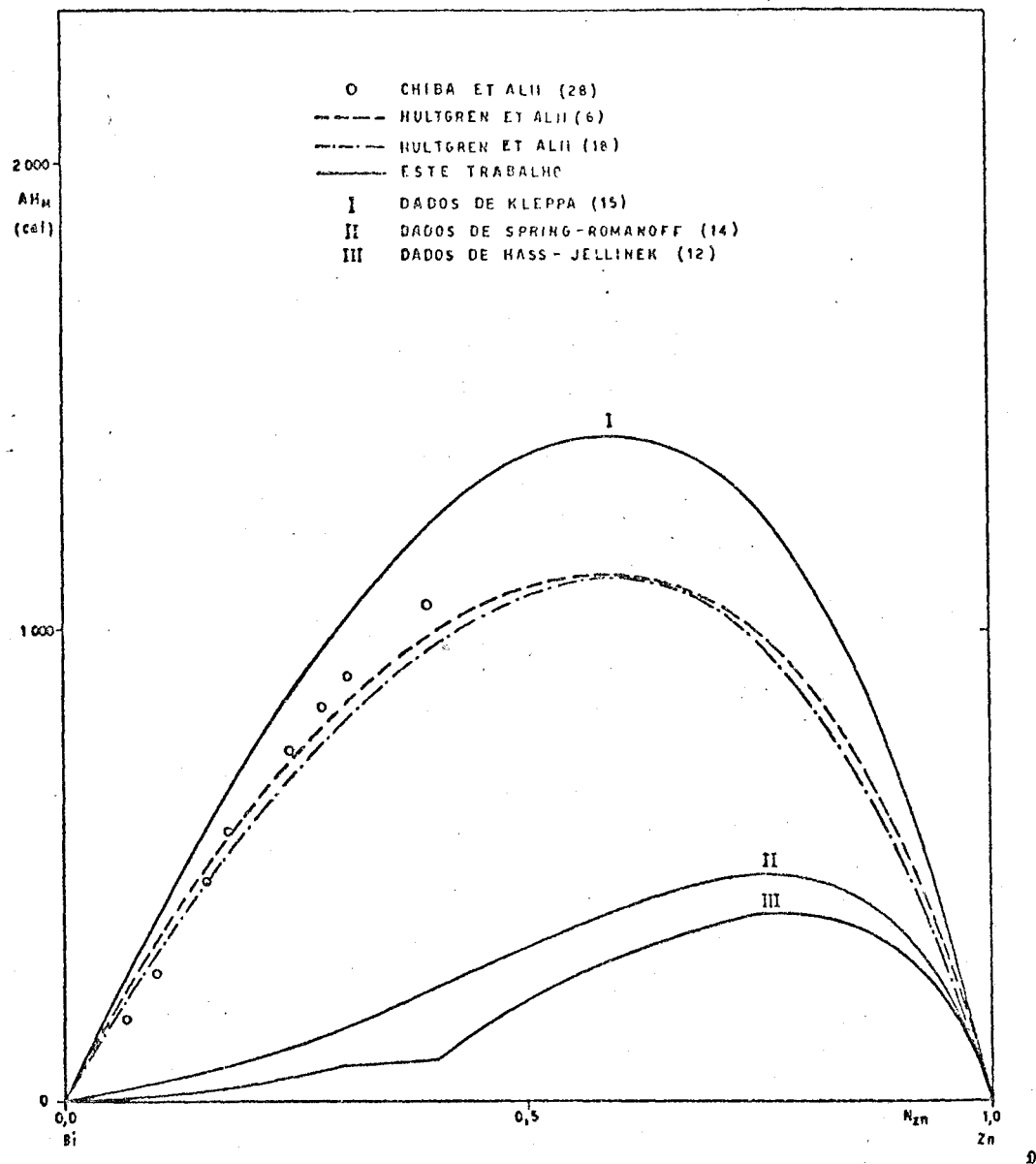


Fig. 18 - Entalpia de mistura em função da fração molar de zinco, para o sistema Zn-Bi.

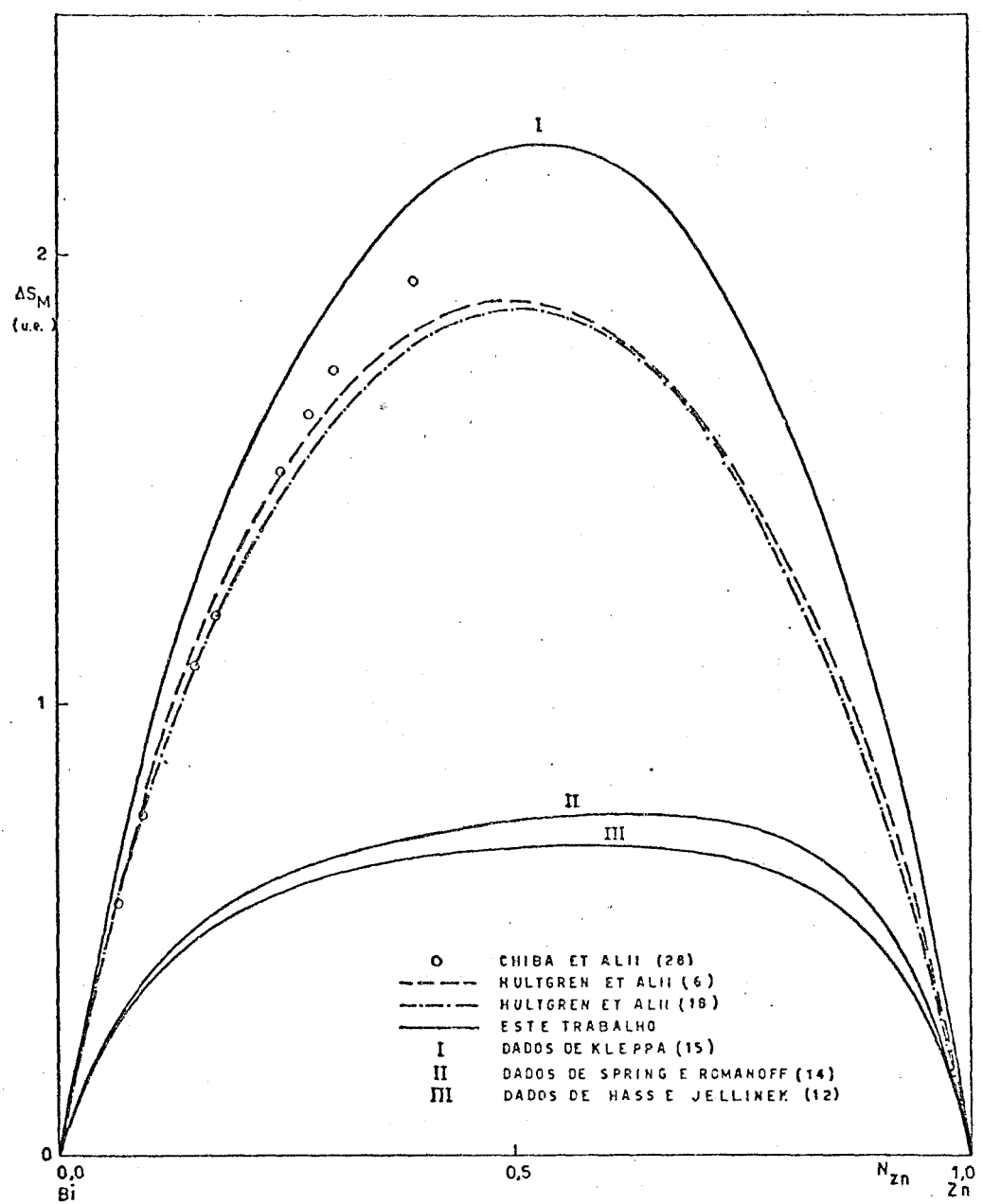


Fig. 19 - Entropia de mistura em função da fração molar de zinco, para o sistema Zn-Bi.

iii) CHIBA et alii⁽²⁸⁾, que foram determinados através de medidas de força eletromotriz e apresentados tabelados.

As curvas de entalpia e entropia de mistura obtidas a partir dos dados, sobre a LLRIL, de HASS & JELLINEK⁽¹²⁾ e SPRING & ROMANOFF⁽¹⁴⁾, são inteiramente inaceitáveis.

As Figuras 18 e 19 permitem concluir que os dados experimentais, sobre a LLRIL, de KLEPPA⁽¹⁵⁾ são os mais exatos dentre os estudados.

As constantes da equação de Lumsden, pontos sobre as linhas que separam fases no diagrama de equilíbrio, pontos principais do diagrama, dados de atividades, coeficientes de atividade, entalpias e entropias parciais molares para os dois metais são apresentados nos Apêndices XVII, XVIII e XIX, calculados através da aplicação do algoritmo criado no presente trabalho, utilizando dados experimentais das quatro referências citadas no início deste item. Os pontos principais do diagrama, apresentados nestes apêndices sob o título "literatura", são os de HANSEN & ANDERKO⁽¹¹⁾, sendo que a composição crítica foi lida

do diagrama de equilíbrio. Os dados termodinâmicos da "literatura" a 873°K são de HULTGREN et alii^(6,18).

As Tabelas VI e VII, apresentadas como ilustração, mostram uma comparação entre os pontos monotéticos e eutético calculados neste trabalho a partir dos dados de KLEPPA⁽¹⁵⁾ e aqueles apresentados por HANSEN & ANDERKO⁽¹¹⁾.

TABELA VI - Temperatura e composições monotéticas para o sistema zinco-bismuto.

A U T O R	T°C	N _{Bi} ^E	N _{Bi} ^D
HANSEN & ANDERKO ⁽¹¹⁾	416	0,006	0,63
Este trabalho (dados de KLEPPA ⁽¹⁵⁾)	414,3	0,0117	0,669

TABELA VII - Temperatura e composição eutéticas para o sistema zinco-bismuto.

A U T O R	T°C	N _{Zn}
HANSEN & ANDERKO ⁽¹¹⁾	254,5	0,081
Este trabalho (dados de KLEPPA ⁽¹⁵⁾)	257	0,0687

73.

A Figura 20, mostrada a título de exemplificação, compara os resultados de atividades dos dois metais, deste trabalho, com os valores apresentados por HULTGREN et alii⁽⁶⁾, que são valores originados de compilação de dados de diversos autores. Estes valores e os calculados neste trabalho, a partir dos dados de KLEPPA⁽¹⁵⁾, apresentam uma notável coincidência.

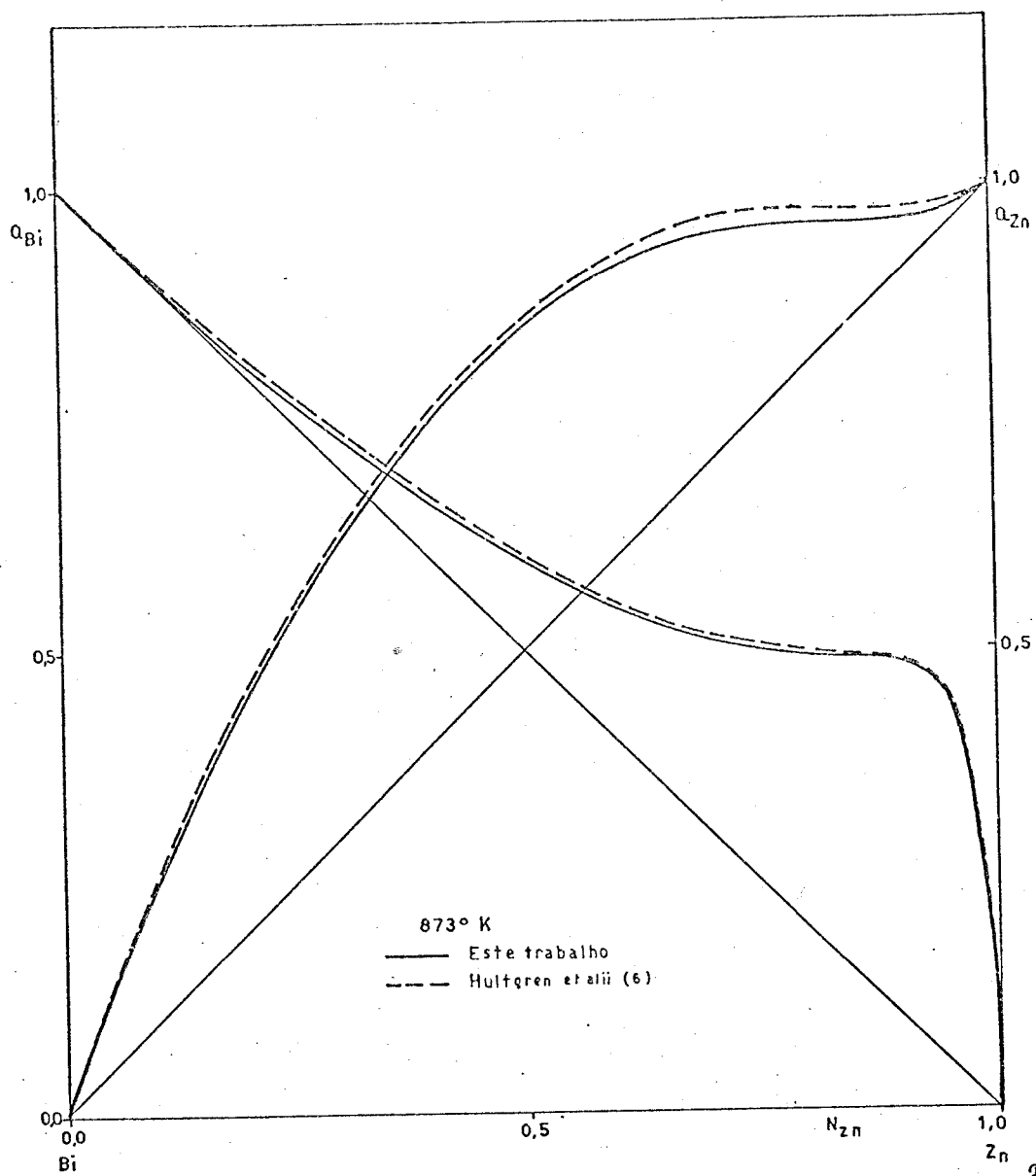


Fig. 20 - Atividades de zinco e bismuto em função da fração molar de zinco, para o sistema Zn-Bi.

7. SISTEMA Al-Bi

Alumínio e bismuto são praticamente imiscíveis no estado sólido e apresentam uma extensa região de imiscibilidade líquida. A Figura 21 mostra o diagrama de equilíbrio para o sistema, apresentado por HULTGREN et alii⁽¹⁸⁾. No diagrama foram colocados os pontos experimentais, sobre a LLRIL, disponíveis na literatura para aplicação do algoritmo criado. Os cálculos foram realizados com dados dos seguintes autores :

i) WITTIG & KEIL⁽²⁵⁾ (apud PREDEL & SANDIG⁽²³⁾), cujos resultados foram obtidos através de medidas calorimétricas. Os dados destes autores foram apresentados em gráfico, do qual foram lidos pontos em três temperaturas diferentes, mostrados no Apêndice XX ;

ii) MARTIN-GARIN et alii⁽²⁹⁾ (apud PREDEL & SANDIG⁽²³⁾), cujos resultados foram obtidos através de medidas calorimétricas. Os dados destes autores foram apresentados em gráfico, do qual foram lidos pontos em quatro temperaturas diferentes, mostrados no Apêndice XXI ;

iii) PREDEL & SANDIG⁽²³⁾, cujos resultados foram obtidos através de análise térmica diferencial. Os dados destes autores foram apresentados em gráfico, do qual foram lidos pontos em três temperaturas diferentes,

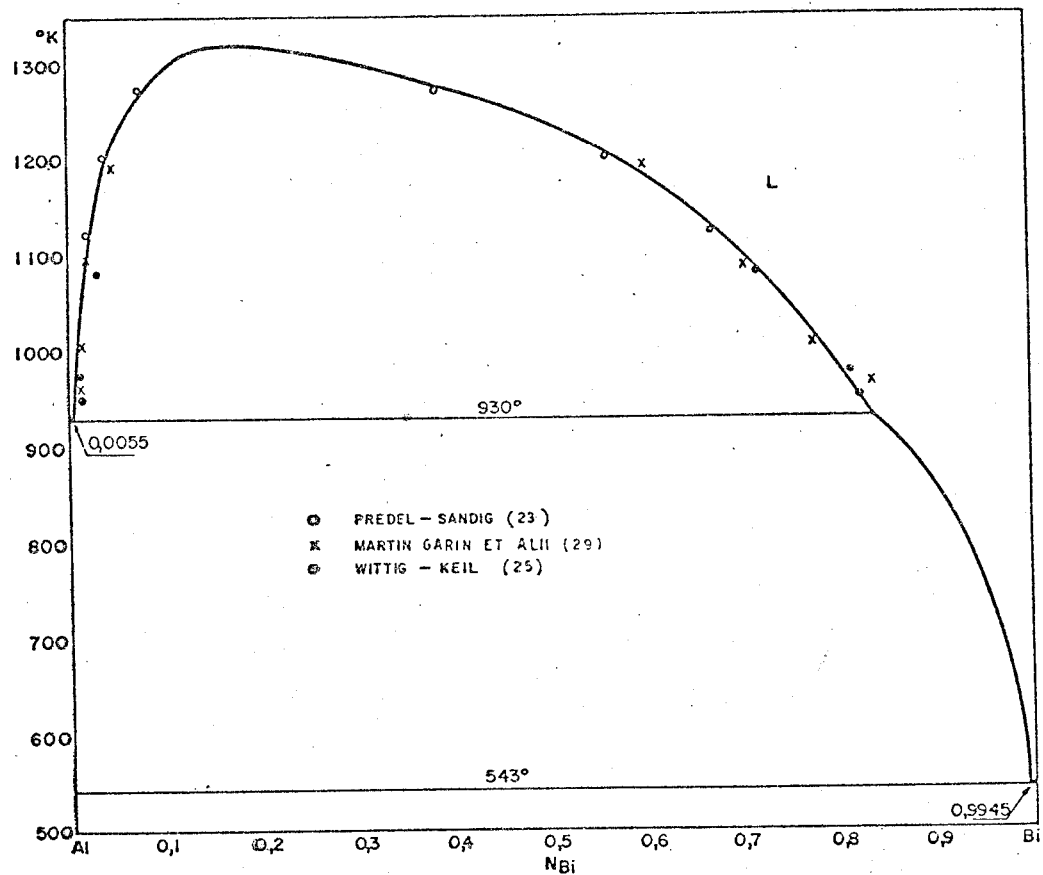


Fig. 21 - Diagrama de equilíbrio para o sistema
Al-Bi.

mostrados no Apêndice XXII.

Os valores da temperatura crítica, calculados neste trabalho a partir de dados experimentais dos autores citados acima, são bastante semelhantes. A comparação destes valores com os da literatura não é critério válido de seleção entre os dados. A Tabela VIII apresenta os valores de composição e temperatura para o ponto crítico, calculados neste trabalho, e determinados por PREDEL & SANDIG⁽²³⁾.

TABELA VIII - Temperatura e composição críticas para o sistema alumínio-bismuto.

A U T O R	T°C	N _{Bi}
PREDEL & SANDIG ⁽²³⁾	1050	0,175
Este trabalho (dados de WITTIG & KEIL ⁽²⁵⁾)	1047,2	0,290
Este trabalho (dados de MARTIN-GARIN et alii ⁽²⁹⁾)	1067,4	0,214
Este trabalho (dados de PREDEL & SANDIG ⁽²³⁾)	1051,0	0,189

As Figuras 22 e 23 mostram os valores de entalpia e entropia de mistura calculados neste trabalho a partir dos dados na LLRIL de WITTIG & KEIL⁽²⁵⁾, MARTIN-GARIN et alii⁽²⁹⁾ e PREDEL & SANDIG⁽²³⁾, comparados com os de :

- i) HULTGREN et alii⁽¹⁸⁾, que foram selecionados através de compilação de dados de diversos autores e apresentados tabelados ;
- ii) PREDEL & SANDIG⁽²³⁾, cujo método de medida não foi citado, e que são apresentados em gráficos.

Os dados experimentais sobre a LLRIL de PREDEL & SANDIG⁽²³⁾, conduzem a valores exagerados para entalpia e entropia de mistura. Os pontos de MARTIN-GARIN et alii⁽²⁹⁾ conduzem a valores um pouco altos em relação aqueles com que foram comparados.

As Figuras 22 e 23 permitem concluir que os dados experimentais, sobre a LLRIL, de WITTIG & KEIL⁽²⁵⁾ são os mais exatos dentre os estudados.

As constantes da equação de Lumsden, pontos sobre as linhas que separam fases no diagrama de equilíbrio, pontos principais do diagrama, dados de atividades, coeficientes de atividade, entalpias e entropias

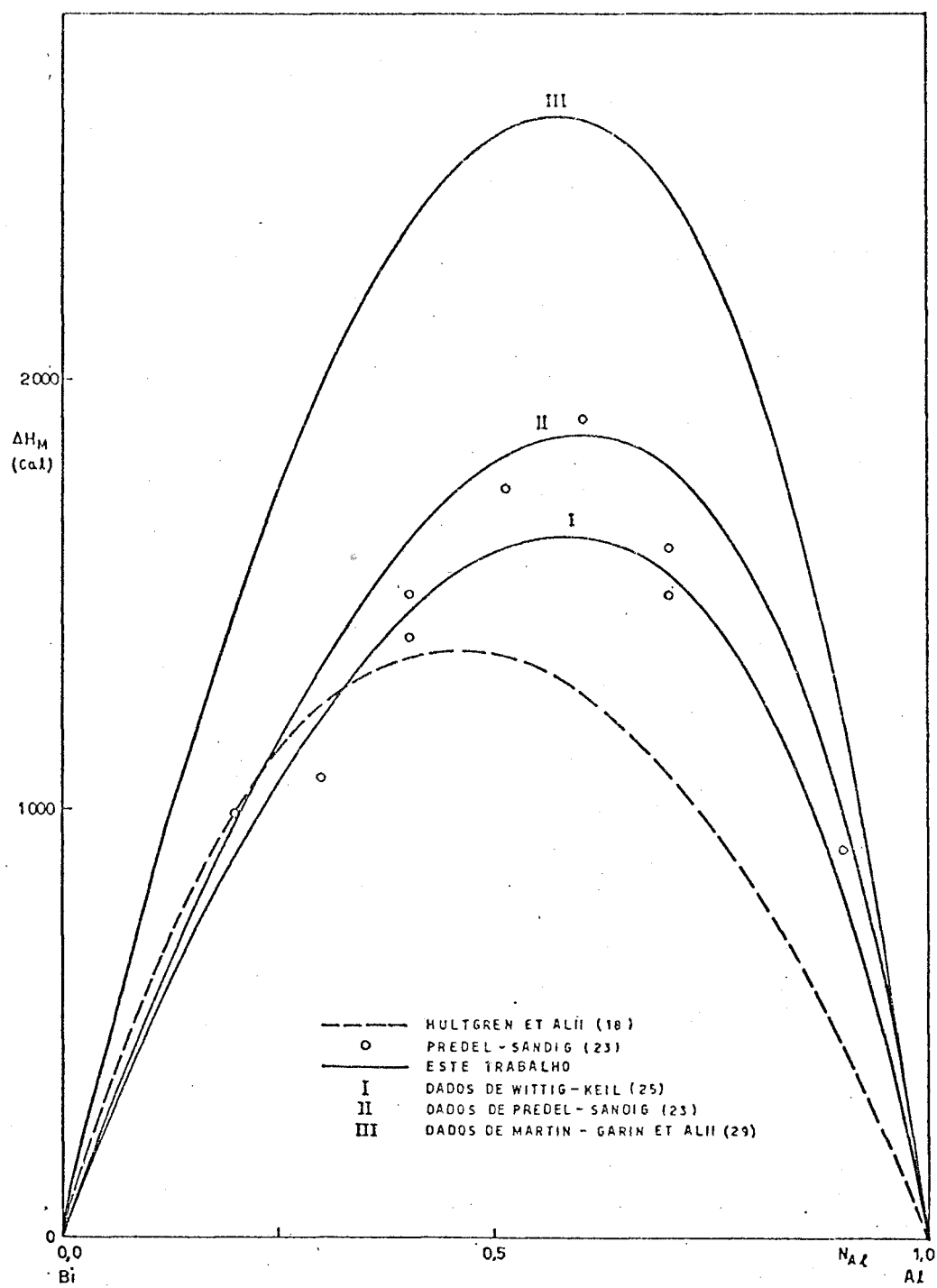


Fig. 22 - Entalpia de mistura em função da fração molar de alumínio, para o sistema Al-Bi.

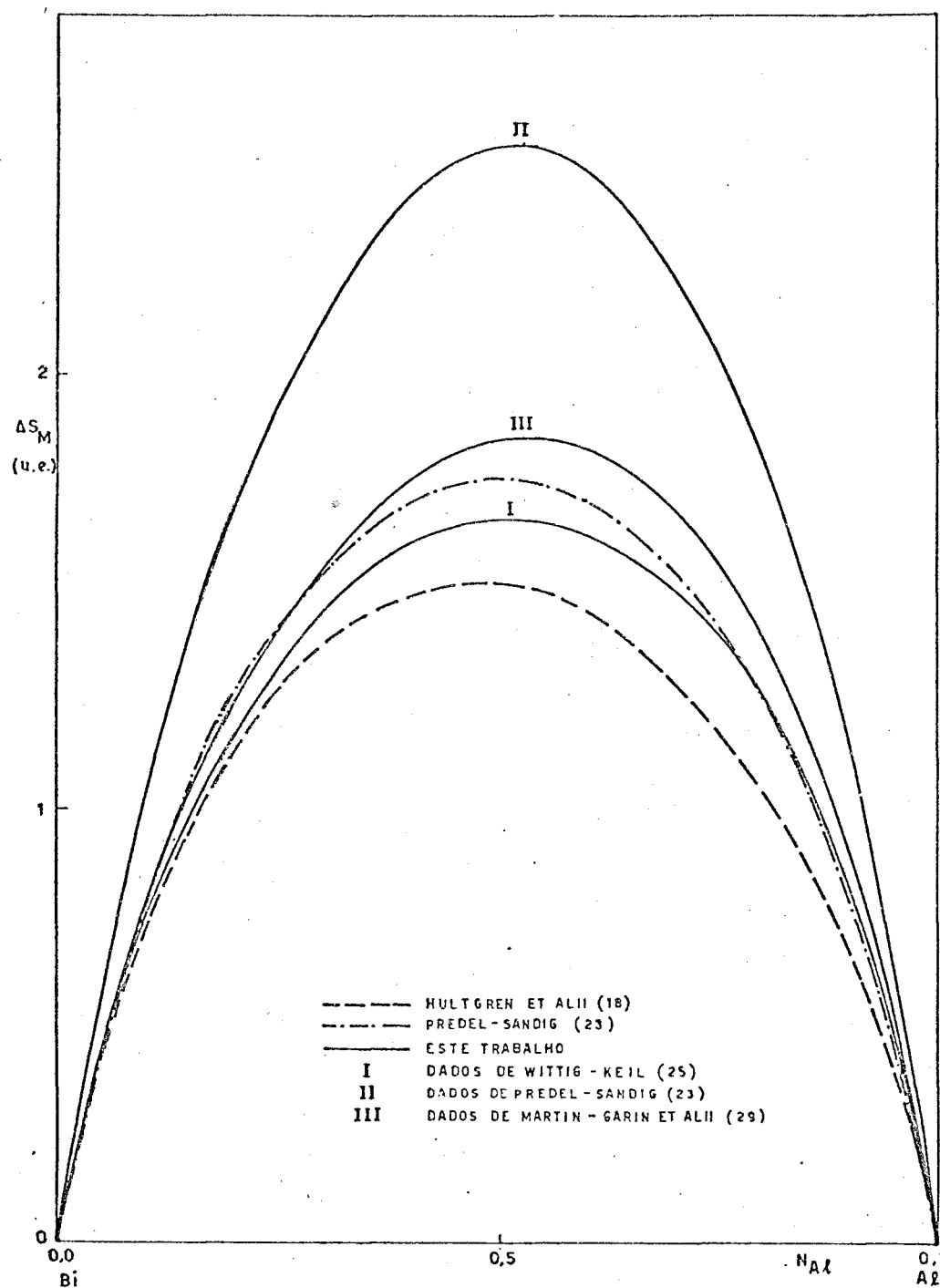


Fig. 23 - Entropia de mistura em função de fração molar de alumínio, para o sistema Al-Bi.

pias parciais molares para os dois metais são apresentados nos Apêndices XXIII, XXIV e XXV, calculados através da aplicação do algoritmo criado no presente trabalho, utilizando dados experimentais das quatro referências citadas no início deste item. Os pontos principais do diagrama, apresentados nestes apêndices sob o título "literatura", são os de PREDEL & SANDIG⁽²³⁾. Os dados termodinâmicos da "literatura" a 1173°K são os de HULTGREN et alii⁽¹⁸⁾, que não apresentam valores no interior da região de imiscibilidade líquida. Como o funcionamento do algoritmo exige a leitura destes dados, nestas composições, foram eliminados, nesta faixa, números que não apresentam significado.

A Tabela IX, apresentada como ilustração, mostra uma comparação entre os pontos monotéticos calculados neste trabalho a partir dos dados de WITTIG & KEIL⁽²⁵⁾ e aqueles apresentados por PREDEL & SANDIG⁽²³⁾.

TABELA IX - Temperatura e composições monotéticas para o sistema alumínio-bismuto.

A U T O R	T°C	N ^E _{B_i}	N ^D _{B_i}
PREDEL & SANDIG (23)	657	0,0055	0,84
Este trabalho (dados de WITTIG & KEIL ⁽²⁵⁾)	653,6	0,0108	0,845

Analogamente ao ocorrido em relação ao sistema alumínio-índio, a declividade do ramo esquerdo inferior da linha liquidus nas proximidades do ponto euttico, para o sistema alumínio-bismuto, é acentuada. Assim sendo, o método de interseção dos ramos esquerdo e direito da linha liquidus, calculados a partir de dados sobre a LLRIL de WITTIG & KEIL⁽²⁵⁾, desenvolvido no algoritmo para determinação deste ponto, não é válido, pois exige uma extrapolação de um longo trecho da linha, conforme ilustrado na Figura 24. O ajuste do logaritmo da fração molar de alumínio contra o inverso da temperatura absoluta, apresentado na Figura 25, mostra que os três últimos pontos do ramo esquerdo inferior da linha liquidus estão aproximadamente sobre uma mesma reta, o que permite uma

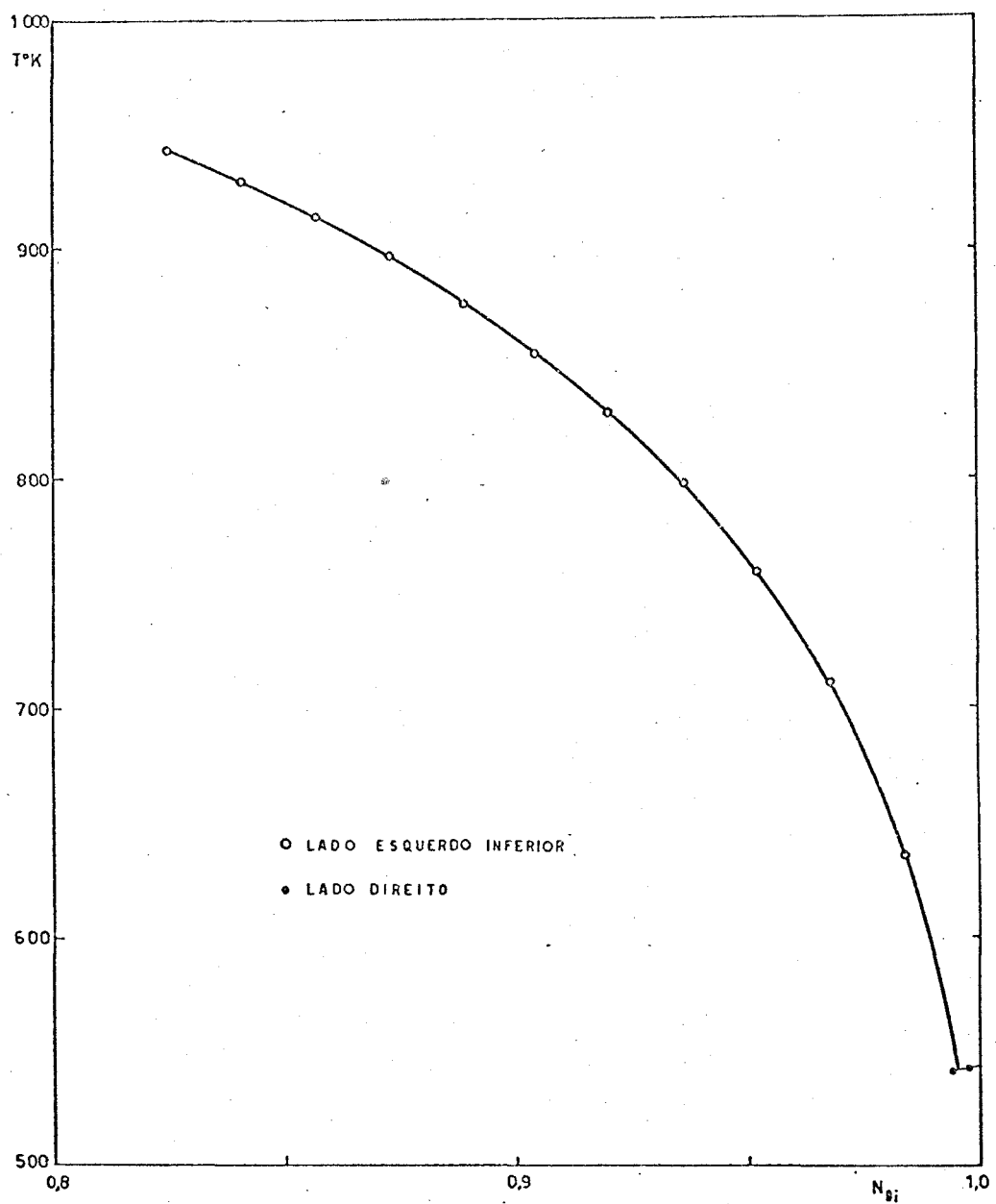


Fig. 24 - Detalhe do diagrama de equilíbrio Al-Bi,
mostrando o ramo esquerdo inferior e o
ramo direito da linha liquidus.

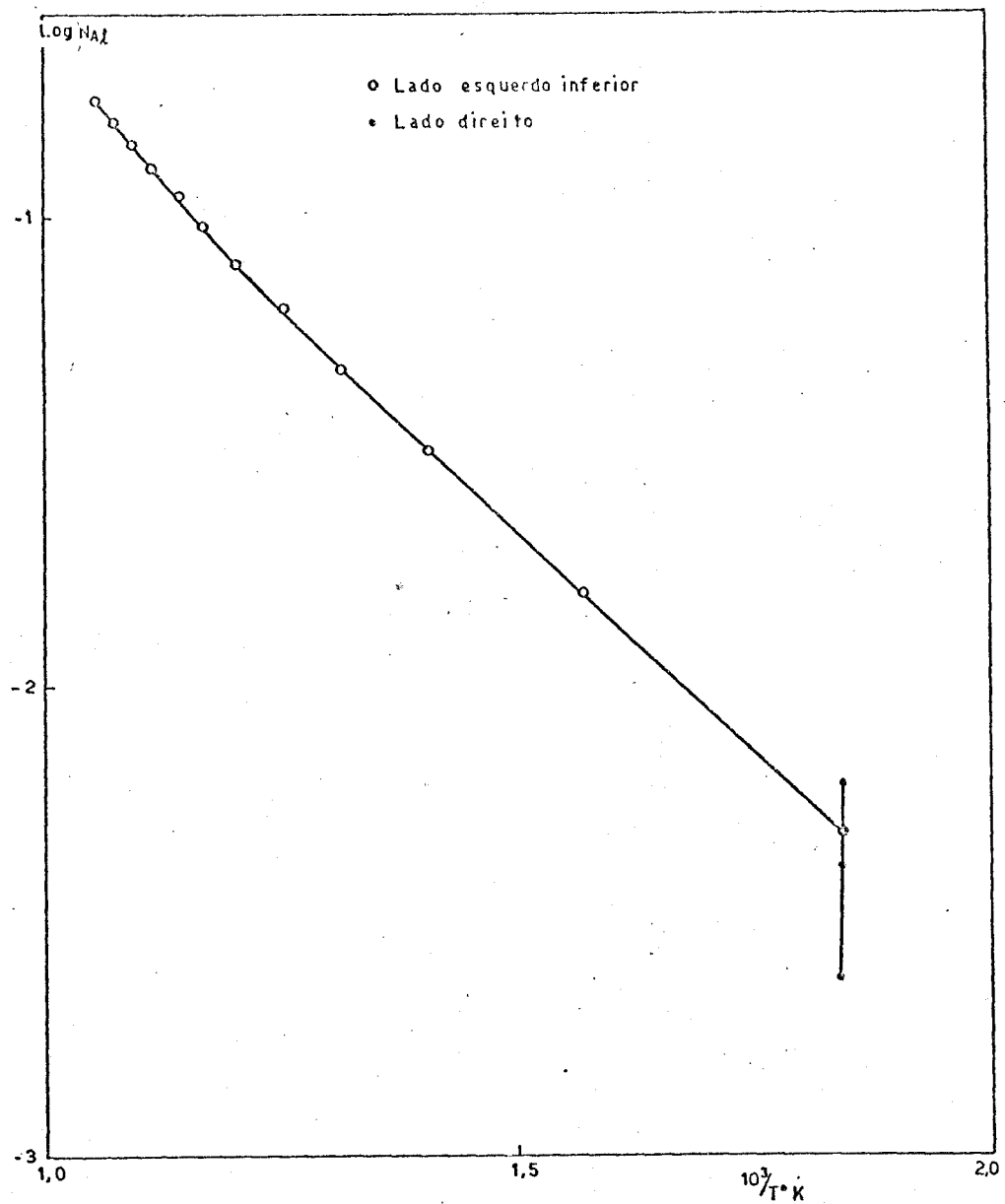


Fig. 25 - Logaritmo da fração molar de alumínio em função do inverso da temperatura para o ramo esquerdo inferior e o ramo direito da linha liquidus, no sistema Al-Bi.

extrapolação precisa. Através do método dos mínimos quadrados foram determinadas equações lineares para este trecho do ramo esquerdo inferior e para o ramo direito da linha liquidus. A interseção destas duas retas fornece o ponto eutético. Os valores para a temperatura e composição eutéticas, assim calculados, são mostrados na Tabela X, comparados com os apresentados por PREDEL & SANDIG⁽²³⁾.

TABELA X - Temperatura e composição eutéticas para o sistema alumínio-bismuto.

A U T O R	T°C	N _{Al}
PREDEL & SANDIG ⁽²³⁾	270	0,0056
Este trabalho (dados de WITTIG & KEIL ⁽²⁵⁾)	270,1	0,0050

A Figura 26, mostrada a título de exemplificação, compara os resultados de atividades dos dois metais, deste trabalho, com os valores apresentados por HULTGREN et alii⁽¹⁸⁾, que são valores originados de compilação de dados de diversos autores. Estes

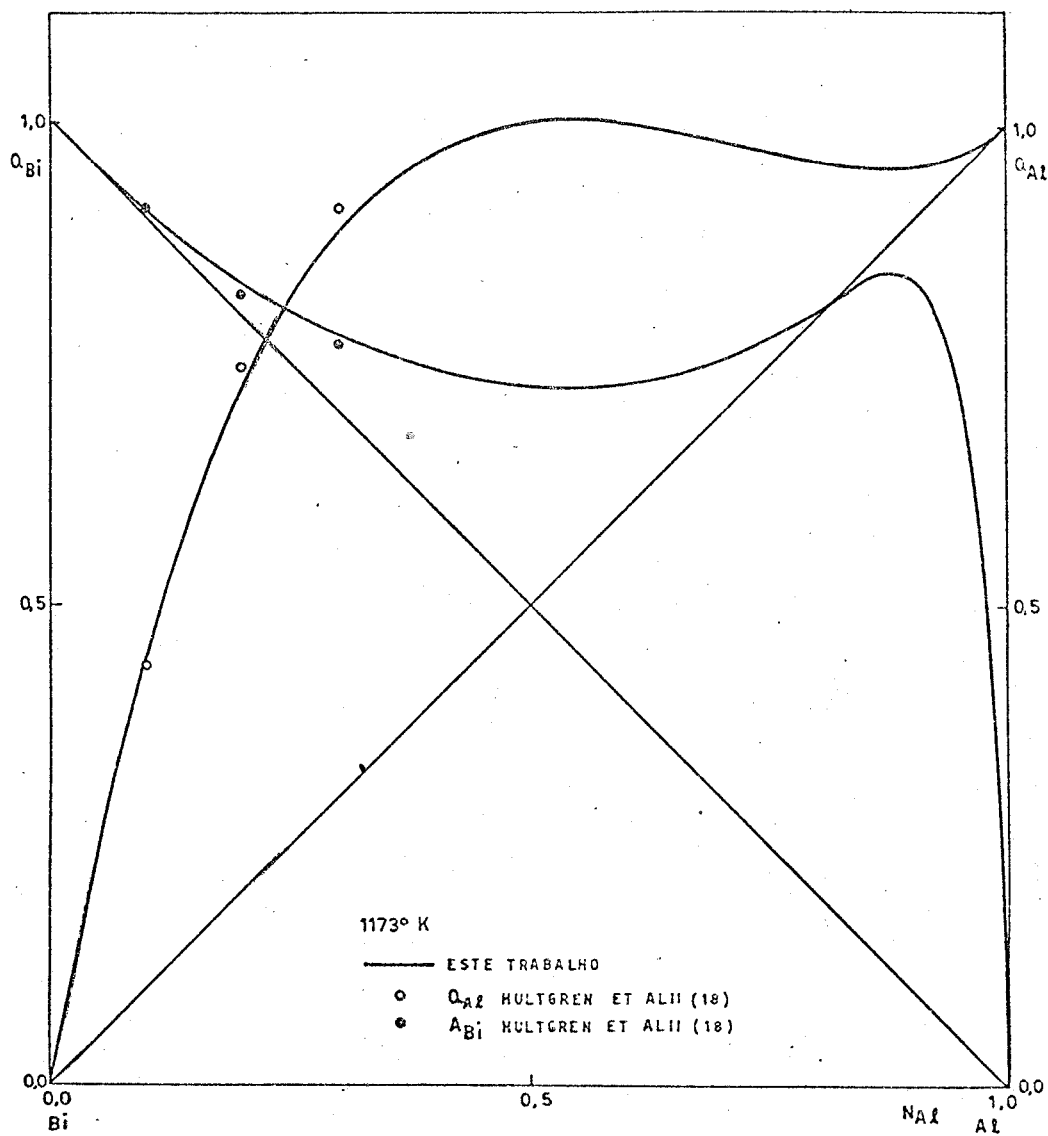


Fig. 26 - Atividades de alumínio e bismuto em função da fração molar de alumínio, para o sistema Al-Bi.

87.

valores e os calculados neste trabalho, a partir dos dados de WITTIG & KEIL⁽²⁵⁾, apresentam uma notável coincidência.

8. CONCLUSÕES

i) A presente investigação científica propiciou a criação de um algoritmo aplicável a sistemas binários metálicos com região de imiscibilidade líquida, que foi testado com sucesso para quatro sistemas.

ii) A escolha dos sistemas deveu-se exclusivamente à disponibilidade de dados experimentais de temperatura e composição sobre a linha limitrofe da região de imiscibilidade líquida, não tendo obedecido a nenhum critério de semelhança entre eles. O caráter aleatório do teste a que foi submetido o algoritmo é uma boa indicação da generalidade de sua aplicação.

iii) Conclusões sobre resultados obtidos para dados físico-químicos dos sistemas estudados estão incluídas nos itens relativos a cada um deles.

iv) O algoritmo permite que seja estabelecido um critério de seleção entre dados experimentais de vários autores.

v) O algoritmo tornou possível o cálculo preciso de dados físico-químicos, para os sistemas analisados, em regiões de difícil acesso ao trabalho experimental.

BIBLIOGRAFIA

1. HILDEBRAND, J.H. Solubility. XII. Regular solutions. J. Amer. Chem. Soc., 51 : 66-80, 1929.
2. HARDY, H.K. A "Sub-Regular" solution model and its application to some binary alloy systems. Acta Metallurgica, 1 : 202-9, Mar., 1953.
3. TURKDOGAN, E.T. & DARKEN, L.S. Thermodynamics of binary metallic solutions. Part II. Trans. Met. Soc. AIME, 242 : 1997 - 2005, Sept., 1968.
4. KRUPKOWSKI, A. Die thermodynamischen Eigenschaften der flüssigen Zn-Pb-Lösungen im Lichte der Theorie und der experimentellen Ergebnisse. Freiberger Forsch., 67B : 101-16, 1962.
5. KOZUKA, Z. et alii. Thermodynamic study of liquid Zn-Pb alloys. Trans. JIM, 6 : 92-6, 1965.
6. HULTGREN, R. et alii. Selected values of thermodynamic properties of metals and alloys. New York, John Wiley & Sons, 1963. 963. p.
7. LUMSDEN, J. Thermodynamics of lead-zinc alloys. Disc. Faraday Soc., 4 : 60-8, 1948.
8. VAN VLACK, L.H. Elements of materials science. Reading, Massachusetts, Addison-Wesley, 1964. 445 p.
9. SUNDRquist, B.E. The calculation of thermodynamic properties of miscibility-gap systems. Trans. Met. Soc. AIME, 236: 1111-22, Aug., 1966.
10. WARING, R.K. et alii. Equilibrium in the lead-zinc system with special reference to liquid solubility. Trans. Met. Soc. AIME, 111 : 254 - 63, 1934.

11. HANSEN,M. & ANDERKO,K. Constitution of binary alloys.
New York, McGraw-Hill, 1958. 1305 p.
12. HASS, K. & JELLINEK, K. Über die gegenseitige
Löslichkeit von Blei-bzw. Wismutschmelzen und
geschmolzenem Zink. Z.Anorg.Chem., 212 : 356-61,
1933.
13. CAFASSO,F.A. et alii. Partition of solutes between
liquid metals. II. The lead-zinc system. J.Phys.
Chem., 68 :1944-8, 1964.
14. SPRING,W. & ROMANOFF,L. Über die Löslichkeit von Blei
und Wismut in Zink. Nachweis einer kritischen
Temperatur. Z.Anorg.Chem., 13 : 29-35, 1896.
15. KLEPPA,O.J. A thermodynamic study of liquid metallic
solutions.V. The systems zinc-bismuth and zinc-
lead. J.Amer.Chem.Soc., 74 : 6052-56, 1952.
16. SEITH,W. & JOHNEN,H. Über die Mischungslücke in der
flüssigen Phase des Systems Blei-Zink-Silber.
Z.Elektrochem., 56 : 140-3, 1952.
17. ROSENTHAL,F.D. et alii. Thermodynamic study of liquid
Pb-Zn solutions. Trans. Met.Soc. AIME, 212 :153-
61,Apr., 1958.
18. HULTGREN,R. et alii. Supplement to selected values
of thermodynamic properties of metals and alloys.
Berkeley, Inorganic Materials Research Division,
Lawrence Radiation Laboratory, University of
California.
19. TODD,D.D. & DATES,W.A. The heats of mixing of molten
lead-zinc alloys at 900° C. Trans. Met.Soc.AIME,
230:244-6, Feb., 1964.

20. TODD,D.D. et alii. A calorimetric study of the thermodynamic properties of lead-zinc alloys in the molten state. J.Inst. Metals, 93: 302-8, 1964.
21. CAMPBELL,A.N. & WAGEMANN,R. The system: aluminium-indium, silver. Part I. The binary and ternary miscibility gaps. Canad.J.Chem., 44: 657-60, 1966.
22. CAMPBELL,A.N. et alii. The system aluminum-indium-tin. J.Amer. Chem. Soc., 74 : 1962-6, 1952.
23. PREDEL,B. & SANDIG,H. Thermodynamische Untersuchungen der Systeme Aluminium - Wismut, Aluminium - Indium und Kupfer - Thallium. Mat.Sci.Eng., 4 : 49-57, 1969.
24. YAZAWA,A. & LEE,Y.K. Thermodynamic study of molten aluminum-indium alloy. J.Japan Inst. Metals, 33: 318-23, 1969.
25. WITTIG, F.E. & KEIL,C., op. cit. PREDEL & SANDIG⁽²³⁾
26. MATHEWSON,C.H. & SCOTT,W.M.,op.cit. HANSEN&ANDERKO⁽¹¹⁾ ©
27. SEITH,W. et alii. Zur Kenntnis von Mischungslücken im flüssigen Zustand bei metallischen Zwei- und Dreistoffsysten. Z.Metallkunde, 46:773-9, 1955.
28. CHIBA,Y. et alii. Thermodynamic study of the liquid bismuth-zinc and bismuth-cadmium systems. Tohoku Daigaku Senka Seiren Kenkyusho Iho, 21 : 15-22, 1965
29. MARTIN-GARIN,R. et alii, op.cit. PREDEL & SANDIG⁽²³⁾

92.

APÊNDICE I

PROGRAMA PRINCIPAL E DEZ SUBROTINAS QUE CONSTITUEM O
ALGORITMO

C ****
 C MODELAGEM MATEMATICO DE SISTEMAS BINARIOS METALICOS COM REGIÃO
 C DE IMISCIBILIDADE LIQUIDA
 C
 C PROGRAMADO POR ANTONIO EDUARDO CLARK PERES
 C
 C O METAL 1 LOCALIZA-SE NO LADO ESQUERDO DO DIAGRAMA
 C DEFINE-SE COMO LADO DIREITO AQUELE EM QUE SE LOCALIZA O EUTETICO
 C MG = REGIÃO DE IMISCIBILIDADE LIQUIDA (MISCELLITY GAP)
 C
 C INDICE DAS VARIAVEIS DE ENTRADA
 C
 C KSIS = NUMERO DE SISTEMAS ESTUDADOS
 C KAUT = NUMERO DE AUTORES PARA CADA SISTEMA
 C TITUL = ARRANJO CONTENDO O NOME DOS DOIS METAIS
 C AUTCR = ARRANJO CONTENDO O NOME DOS AUTORES CONSULTADOS
 C R = CONSTANTE DOS GASES PERFEITOS
 C Z = NUMERO DE COORDENACAO PARA O SISTEMA
 C RAIO1 = DIAMETRO ATOMICO DE GOLDSCHEIDT PARA CN 12 PARA O METAL 1
 C RAIO2 = DIAMETRO ATOMICO DE GOLDSCHEIDT PARA CN 12 PARA O METAL 2
 C NOTA - VER DARKEN AND GURRY PAG 56
 C PM1 = MASSA MOLECULAR DO METAL 1
 C PM2 = MASSA MOLECULAR DO METAL 2
 C MN = INTEIRO COM O SEGUINTE SIGNIFICADO

C MM--MAIOR QUE ZERO--COMPOSICAO DOS PONTOS EXPERIMENTAIS EM FRACAO MOLAR
C MM--MENOR QUE ZERO--COMPOSICAO DOS PONTOS EXPERIMENTAIS EM PCT PONDERAL
C TFLAG = TEMPERATURA EM QUE SE INICIA A DETERMINACAO DE PONTOS NO MG
C N = NUMERO DE PONTOS EXPERIMENTAIS NO MG
C QUE SAO CARACTERISTICOS PARA CADA PAR DE METAIS
C TC = TEMPERATURA CENTIGRADA DOS PONTOS EXPERIMENTAIS NO MG
C X1F = COMPOSICAO EXPERIMENTAL NO LADO ESQUERDO DO MG
C X1D = COMPOSICAO EXPERIMENTAL NO LADO DIREITO DO MG
C TML,TEL E TCL = TEMPERATURAS MONOTETICA,EUTETICA E CRITICA NA LITERAT.
C X1CL E X1EL = FRACOES MOLARES CRITICA E EUTETICA DO METAL 1 NA LITER.
C X1MEL E X1MDL = FRACOES MOLARES MONOTETICAS NOS LADOS ESQUERDO E
C DIREITO DO MG PARA O METAL 1 NA LITERATURA
C DHF1 E DHF2 = CALOR DE FUSAO DOS METAIS 1 E 2 EM CAL/MOL
C NUMTT = NUMERO DE TEMPERATURAS EM QUE EXISTEM DADOS TERMODINAMICOS
C NA LITERATURA
C TT = TEMPERATURAS EM QUE EXISTEM DADOS TERMODINAMICOS NA LITERATURA
C A1L E A2L = ATIVIDADES DOS METAIS 1 E 2 NA LITERATURA
C G1L E G2L = COEFICIENTES DE ATIVIDADE DOS METAIS 1 E 2 NA LITERATURA
C DH1L E DH2L = ENTALPIAS PARCIAIS MOLARES DOS METAIS 1 E 2 NA LITERAT.
C DS1L E DS2L = ENTROPIAS PARCIAIS MOLARES DOS METAIS 1 E 2 NA LITERAT.
C

C
C INDICE DAS VARIAVEIS DE SAIDA
C
C DESIGNACAO DO SISTEMA E AUTOR ESTUDADO
C EPSIL,SIGMA,FI E ZETA = PARAMETROS DA EQUACAO DE LUMSDEN
C PONTOS NA LINHA LIQUIDUS E NO MG
C PONTOS PRINCIPAIS DO DIAGRAMA
C CRITICO,MONOTETICOS E EUTETICO ,CALCULADOS E COMPARADOS C/LITERATURA
C DADOS DE ATIVIDADES,COEFICIENTES DE ATIVIDADE,ENTALPIAS E ENTROPIAS

C PARCIAIS MOLARES CALCULADOS E COMPARADOS C/LITERATURA

C
C*****
C

```
DOUBLE PRECISION X1,W1,W2,W3,A,G,PXINT,GRAD,AG1,AG2,PA,XA,QXINT
DIMENSION TITUL(4),AUTOR(5),X2EMG(80),X2DMG(80),X2LLS(15),X1LL(15)
DIMENSION X2LLI(15),A1L(9),G1L(9),A2L(9),G2L(9),DH1L(9),DS1L(9)
DIMENSION DH2L(9),DS2L(9),A1D(9),A2D(9),G1D(9),G2D(9),DH1D(9)
DIMENSION DS1D(9),DH2D(9),DS2D(9)
COMMON X1,W1,W2,W3,A,G,PXINT,GRAD,AG1,AG2,PA,XA,QXINT,TFLAG
COMMON R,Z,RAI01,RAI02,PM1,PM2,EPSIL,SIGMA,FI,ZETA,MM,TML,TEL,VMT
COMMON TCT,X1CT,TMT,X1MET,X1MDT,TET,X1ET,TFC1,DHF1,TFC2,DHF2,R1,R2
COMMON TCMG(80),X1EMG(80),X1DMG(80),TCLLS(15),X1LLS(15),TCLLI(15)
COMMON X1LLI(15),TCLL(15),X2LL(15),GAMA1(9),GAMA2(9),A1T(9),A2T(9)
COMMON Z1(9),DH1(9),DH2(9),DS1(9),DS2(9)
COMMON A1MG(80),A2MG(80),A1LLS(15),A2LLS(15),A1LLI(15),A2LLI(15)
COMMON A1LL(15),A2LL(15)
READ(1,301)KKSIS,R
301 FORMAT(I3,F7.3)
KKSIS=0
3333 READ(1,302)Z,RAI01,RAI02,PM1,PM2
302 FORMAT(5F10.1)
KKSIS=KKSIS+1
READ(1,303)TITUL
303 FORMAT(4A4)
KKAUT=0
READ(1,304)KAUT
304 FORMAT(I3)
2222 KKAUT=KKAUT+1
READ(1,305)AUTOR
305 FORMAT(5A4)
```

```

      READ(1,306)MM,TFLAG
306 FORMAT(1B,F10.1)
      CALL CONST
      WRITE(3,11)(TITUL(K),K=1,2),(TITUL(K),K=3,4)
11 FORMAT(1H1,55X,'SISTEMA ',2A4,' - ',2A4)
      WRITE(3,12)(TITUL(J),J=1,2),(TITUL(J),J=3,4)
12 FORMAT(//56X,'METAL 1 = ',2A4,///56X,'METAL 2 = ',2A4)
      WRITE(3,13)(AUTOR(I),I=1,5)
13 FORMAT(//37X,'PONTOS EXPERIMENTAIS NO MG CONSIDERADOS DE ',5A4)
      WRITE(3,14)EPSIL,SIGMA,FI,ZETA
14 FORMAT(////5X,'CONSTANTES DA EQUACAO DE LUMSDEN EPSIL = ',F9.2,/
     14DX,'SIGMA = ',F9.2/4DX,'FI = ',F9.2,/4DX,'ZETA = ',F9.2)
      CALL MIGAP (KOUNT)
      WRITE(3,15)
15 FORMAT(////,5X,'PONTOS NO MISCELLIBILITY GAP', 9X,'TC',12X,'N1E',12
     1X,'N2E',12X,'N1D',12X,'N2D',13X,'A1',13X,'A2')
      DO 60 KDO=1,KOUNT
      X2EMG(KDO)=1.-X1EMG(KDO)
60 X2DMG(KDO)=1.-X1DMG(KDO)
      WRITE(3,16)(TCMG(KDO),X1EMG(KDO),X2EMG(KDO),X1DMG(KDO),X2DMG(KDO),
     1A1MG(KDO),A2MG(KDO),KDO=1,KOUNT)
16 FORMAT(34X,F9.1,6F15.4)
      READ(1,307)TML,TEL,DHF1,TFC1,DHF2,TFC2
307 FORMAT(6F10.1)
      CALL LIQUID(J,L,M)
      WRITE(3,17)
17 FORMAT(////,5X,'PONTOS NA LINHA LIQUIDUS',//1CX,'LADO ESQUERDO
     1SUPERIOR',8X,'TC',12X,'N1',13X,'N2',13X,'A1',13X,'A2')
      DO 61 JDO=1,J
61 X2LLS(JDO)=1.-X1LLS(JDO)
      WRITE(3,18)(TCLLS(JDO),X1LLS(JDO),X2LLS(JDO),A1LLS(JDO),A2LLS(JDO)

```

```

1,JDO=1,J)
18 FORMAT(35X,F9.2,5X,E11.4,4X,E11.4,4X,E11.4,4X,E11.4)
   WRITE(3,19)
19 FORMAT(//10X,'LADO ESQUERDO INFERIOR',8X,'TC',12X,'N1',13X,'N2',1
   13X,'A1',13X,'A2')
   DO 62 LDO=1,L
62 X2LLI(LDO)=1.-X1LLI(LDO)
   WRITE(3,18)(TCLLI(LDO),X1LLI(LDO),X2LLI(LDO),A1LLI(LDO),A2LLI(LDO)
   1,LDO=1,L)
   WRITE(3,26)
20 FORMAT(//10X,'LADO DIREITO',18X,'TC',12X,'N1',13X,'N2',13X,'A1',1
   13X,'A2')
   DO 63 MDO=1,M
63 X1LL(MDO)=1.-X2LL(MDO)
   WRITE(3,18)(TCLL(MDO),X1LL(MDO),X2LL(MDO),A1LL(MDO),A2LL(MDO),MDO=
   11,M)
   CALL INTSC (J,L,M,X1LL)
   READ(1,308)TCL,X1CL,X1MET,X1MDL,X1EL
308 FORMAT(5F10.1)
   X2CT=1.-X1CT
   X2CL=1.-X1CL
   X2MET=1.-X1MET
   X2MEL=1.-X1MEL
   X2MDT=1.-X1MDT
   X2MDL=1.-X1MDL
   X2ET=1.-X1ET
   X2EL=1.-X1EL
   TCD=(TCT-TCL)/TCL*100.
   VMD=(VMT-TML)/TML*100.
   TMD=(TMT-TML)/TML*100.
   TED=(TET-TEL)/TEL*100.

```

```

X1CD=(X1CT-X1CL)/X1CL*100.
X1MED=(X1MET-X1MEL)/X1MEL*100.
X1MDD=(X1MDT-X1MDL)/X1MDL*100.
X1ED=(X1ET-X1EL)/X1EL*100.
X2CD=(X2CT-X2CL)/X2CL*100.
X2MED=(X2MET-X2MEL)/X2MEL*100.
X2MDD=(X2MDT-X2MDL)/X2MDL*100.
X2ED=(X2ET-X2EL)/X2EL*100.
WRITE(3,21)
21 FORMAT(/////5X,'PONTOS PRINCIPAIS DO DIAGRAMA',//41X,'ESTE TRABALH
10',23X,'LITERATURA',19X,'DIFERENCA PERCENTUAL')
    WRITE(3,22)TCT,X1CT,X2CT,TCL,X1CL,X2CL,TCD,X1CD,X2CD,TMT,X1MET,X2M
1ET,TML,X1MEL,X2MEL,TMD,X1MED,X2MED,VMT,X1MDT,X2MDT,TML,X1MDL,X2MDL
2,VMD,X1MDD,X2MDD,TET,X1ET,X2ET,TEL,X1EL,X2EL,TED,X1ED,X2ED
22 FORMAT(35X,'TC',9X,'N1',11X,'N2',10X,'TC',9X,'N1',11X,'N2',10X,'TC
1',7X,'N1',7X,'N2'/10X,'PONTO CRITICO',6X,2(F10.1,3X,E10.3,3X,E10.3
2),3F9.2/10X,'MONOTETICO ESQUERDO',2(F10.1,3X,E10.3,3X,E10.3),3F9.2
3/10X,'MONOTETICO DIREITO',1X,2(F10.1,3X,E10.3,3X,E10.3),3F9.2,/10X
4,'EUTETICO',11X,2(F10.1,3X,E10.3,3X,E10.3),3F9.2)
    WRITE(3,23)
23 FORMAT(/////,5X,'TERMODINAMICA')
    READ(1,309)NUMTT
309 FORMAT(I3)
    NUMTT=0
1111 NUMTT=NUMTT+1
    CALL TERMO (TT)
    READ(1,310)(A1L(N),G1L(N),A2L(N),G2L(N),DH1L(N),DS1L(N),DH2L(N),DS
12L(N),N=1,9)
310 FORMAT(8F10.1)
    DO 64 N=1,9
    A1D(N)=(A1T(N)-A1L(N))/A1L(N)*100.

```

```

A2D(N)=(A2T(N)-A2L(N))/A2L(N)*100.
G1D(N)=(GAMA1(N)-G1L(N))/G1L(N)*100.
G2D(N)=(GAMA2(N)-G2L(N))/G2L(N)*100.
DH1D(N)=(DH1(N)-DH1L(N))/DH1L(N)*100.
DS1D(N)=(DS1(N)-DS1L(N))/DS1L(N)*100.
DH2D(N)=(DH2(N)-DH2L(N))/DH2L(N)*100.
64 DS2D(N)=(DS2(N)-DS2L(N))/DS2L(N)*100.
      WRITE(3,24)TT
24 FORMAT(10X,'TEMPERATURA =',F7.1,'GRAUS KELVIN',//10X,'ATIVIDADES
1E COEFICIENTES DE ATIVIDADE DO METAL 1',/17X,'ESTE TRABALHO',18X,
2LITERATURA',16X,'DIFERENCA PERCENTUAL',/12X,'N1',8X,'A1',6X,'GAMA1'
3,7X,'N1',8X,'A1',6X,'GAMA1',7X,'N1',8X,'A1',6X,'GAMA1')
      WRITE(3,25)(Z1(N),A1T(N),GAMA1(N),Z1(N),A1L(N),G1L(N),Z1(N),A1D(N)
1,G1D(N),N=1,9)
25 FORMAT(5X,7F10.3,F9.2,F11.2)
      WRITE(3,26)
26 FORMAT(//10X,'ATIVIDADES E COEFICIENTES DE ATIVIDADE DO METAL 2',
1/17X,'ESTE TRABALHO',18X,'LITERATURA',16X,'DIFERENCA PERCENTUAL',/
212X,'N1',8X,'A2',6X,'GAMA2',7X,'N1',8X,'A2',6X,'GAMA2',7X,'N1',7X,
3'A2',7X,'GAMA2')
      WRITE(3,25)(Z1(N),A2T(N),GAMA2(N),Z1(N),A2L(N),G2L(N),Z1(N),A2D(N)
1,G2D(N),N=1,9)
      WRITE(3,27)
27 FORMAT(//10X,'ENTALPIAS E ENTROPIAS PARCIAIS MOLARES DO METAL 1',
117X,'ESTE TRABALHO',18X,'LITERATURA',16X,'DIFERENCA PERCENTUAL',/1
22X,'N1',8X,'DH1',7X,'DS1',7X,'N1',8X,'DH1',7X,'DS1',7X,'N1',6X,'DH
31',7X,'DS1')
      WRITE(3,28)(Z1(N),DH1(N),DS1(N),Z1(N),DH1L(N),DS1L(N),Z1(N),DH1D(N
1),DS1D(N),N=1,9)
28 FORMAT(6X,F9.3,F11.0,F10.3,F9.3,F11.0,F10.3,F9.3,F9.2,F10.2)
      WRITE(3,29)

```

```

29 FORMAT(/10X,'ENTALPIAS E ENTROPIAS PARCIAIS MOLARES DO METAL 2',/
117X,'ESTE TRABALHO',18X,'LITERATURA',16X,'DIFERENCA PERCENTUAL',/1
22X,'N1',8X,'DH2',7X,'DS2',7X,'N1',8X,'DH2',7X,'DS2',7X,'N1',6X,'DH
32',7X,'DS2')
      WRITE(3,28)(Z1(N),DH2(N),DS2(N),Z1(N),DH2L(N),DS2L(N),Z1(N),DH2D(N
1),DS2D(N),N=1,9)
      IF(NUMT.LT.NUMTT) GO TO 1111
      IF(KKAUT.LT.KAUT) GO TO 2222
      IF(KKSIS.LT.KSIS) GO TO 3333
      CALL EXIT
      END

      SUBROUTINE CONST

C ESTA SUBROTINA CALCULA AS CONSTANTES DA EQUACAO DE LUMSDEN

C
      DOUBLE PRECISION X1,W1,W2,W3,A,G,PXINT,GRAD,AG1,AG2,PA,XA,QXINT
      COMMON R,Z,RAIO1,RAIO2,PM1,PM2,EP SIL,SIGMA,FI,ZETA,MM,TML,TEL,VMT
      COMMON TCT,X1CT,TMT,X1MET,X1MDT,TET,X1ET,TFC1,DHF1,TFC2,DHF2,R1,R2
      COMMON TCMG(80),X1EM6(80),X1DMG(80),TCLL(15),X1LLS(15),TCLL(15)
      COMMON XILLI(15),TCLL(15),X2LL(15),GAMA1(9),GAMA2(9),ALT(9),A2T(9)
      COMMON Z1(9),DH1(9),DH2(9),DS1(9),DS2(9)
      COMMON A1MG(80),A2MG(80),AILLS(15),A2LLS(15),AILLI(15)
      COMMON AILL(15),A2LL(15)
      DIMENSION TS(20),CS1(20),CS2(20)

      KOUNT=0
      READ(1,51)N
      51 FORMAT(14)
      R1=RAIO1/RAIO1
      R2=RAIO2/RAIO1
      55 READ(1,52)TC,X1E,X1D

```

```

52 FORMAT(F8.2,2F10.7)
      KOUNT=KOUNT+1
      TK=TC+273.16
      IF(NY)53,54,54
      53  X1E=(X1E/PM1)/((X1E/PM1)+((100.-X1E)/PM2))
          X1D=(X1D/PM1)/((X1D/PM1)+((100.-X1D)/PM2))
      54  X2E=1.-X1E
          X2D=1.-X1D
          X1EQ=X1E**2
          X1DQ=X1D**2
          X2EQ=X2E**2
          X2DQ=X2D**2
          X2EC=X2E**3
          X2DC=X2D**3
          X1EC=X1E**3
          X1OC=X1D**3
          R12=R1**2
          R125=R1**2.5
          R120=R1**2.0/3.
          R18=R1*(8./3.)
          R14=R1**4
          R15=R1**5
          R22=R2**2
          R25=R2**2.5
          R220=R2**2.0/3.
          R28=R2*(8./3.)
          R24=R2**4
          R25=R2**5
          R2Z=R**2*Z
          XKE1=(X2EQ*R1)/(R*(R12*X1E+X2E)**2)
          XKE2=(X2EQ*R125)/(R*(R15*X1E+X2E)**2)

```

```

XKE3=-(2.*R14*X1E*X2EC-R120*X1EQ*X2EQ)/(R2Z*(R18*X1E+X2E)**4)
XKE4=ALOG(X1E)
XKD1=(X2DQ*R1)/(R*(R12*X1D+X2D)**2)
XKD2=(X2DQ*R125)/(R*(R15*X1D+X2D)**2)
XKD3=-(2.*R14*X1D*X2DC-R120*X1DQ*X2DQ)/(R2Z*(R18*X1D+X2D)**4)
XKD4=ALOG(X1D)
HE1=(X1EQ*R2)/(R*(R22*X2E+X1E)**2)
HE2=(X1EQ*R225)/(R*(R25*X2E+X1E)**2)
HE3=-(2.*R24*X2E*X1EC-R220*X2EQ*X1EQ)/(R2Z*(R28*X2E+X1E)**4)
HE4=ALOG(X2E)
HD1=(X1DQ*R2)/(R*(R22*X2D+X1D)**2)
HD2=(X1DQ*R225)/(R*(R25*X2D+X1D)**2)
HD3=-(2.*R24*X2D*X1DC-R220*X2DQ*X1DQ)/(R2Z*(R28*X2D+X1D)**4)
HD4=ALOG(X2D)
A1=HD1-HE1
A2=HD2-HE2
A3=HD3-HE3
A4=HD4-HE4
B1=XKE1-XKD1
B2=XKE2-XKD2
B3=XKE3-XKD3
B4=XKE4-XKD4
C1=-(A2*B3/B2-A3)
C2=A1-A2*B1/B2
C3=-(A2*B4/B2-A4)
X=(-C2+SQRT(C2**2-4.*C1*C3))/(2.*C1)
Y=-(B1*X+B3*X**2+B4)/B2

```

C
 C AS VARIAVEIS X E Y GUARDAM COM AS CONTANTES DA EQUACAO DE LUMSDEN AS
 C SEGUINTE RELACOES -
 C X = EPSIL/T-SIGMA

C Y = ZETA/T-FI
C O METODO DOS MINIMOS QUADRADOS PERMITE UM AJUSTE LINEAR DE X E Y
C VERSUS 1/T QUE FORNECE AS CONSTANTES DESEJADAS

C
TS(KOUNT)=TK
CS1(KOUNT)=X
CS2(KOUNT)=Y
TF(KOUNT-N)55,56,56
56 D1=0.
D2=0.
D3=0.
D4=0.
DC 57 K=1,N
D1=D1+CS1(K)/TS(K)
D2=D2+1./TS(K)
D3=D3+1./(TS(K)**2)
D4=D4+CS1(K)
S=N
SIGMA=(D1*D2-D3*D4)/(S*D3-D2**2)
EPSIL=(S*D1-D4*D2)/(S*D3-D2**2)
E1=0
E2=0
E3=0
E4=0
DC 58 J=1,N
E1=E1+CS2(J)/TS(J)
E2=E2+1./TS(J)
E3=E3+1./(TS(J)**2)
E4=E4+CS2(J)
FI=(E1*E2-E3*E4)/(S*E3-E2**2)
ZETA=(S*E1-E4*E2)/(S*E3-E2**2)

```

RETURN
END
SUBROUTINE MIGAP(KOUNT)
C
C ESTA SUBROTINA CALCULA PONTOS SOBRE A LINHA DO MG E DETERMINA
C O PONTO CRITICO
C
DOUBLE PRECISION X1,W1,W2,W3,A,G,PXINT,GRAD,AG1,AG2,PA,XA,QXINT
DOUBLE PRECISION XLIM,X1MAX,X1MIN,TC,TINC,T,AMIN,X3,A1,A2,XINC
DOUBLE PRECISION AMAX,A1MAX,A2MIN,A1MIN,XINT
COMMON X1,W1,W2,W3,A,G,PXINT,GRAD,AG1,AG2,PA,XA,QXINT,TFLAG
COMMON R,Z,RAI01,RAI02,PM1,PM2,EPSIL,SIGMA,FI,ZETA,MM,TML,TEL,VMT
COMMON TCT,X1CT,TMT,X1MET,X1MDT,TET,X1ET,TFC1,DHF1,TFC2,DHF2,R1,R2
COMMON TCMG(80),X1EMG(80),X1DMG(80),TCLLS(15),X1LLS(15),TCLLI(15)
COMMON X1LLI(15),TCLL(15),X2LL(15),GAMA1(9),GAMA2(9),A1T(9),A2T(9)
COMMON Z1(9),DH1(9),DH2(9),DS1(9),DS2(9)
COMMON A1MG(80),A2MG(80),A1LLS(15),A2LLS(15),A1LLI(15),A2LLI(15)
COMMON A1LL(15),A2LL(15)
R1=RAI01/RAI02
R2=RAI02/RAI01
XLIM=0.
X1MAX=0.
X1MIN=1.
KOUNT=0
LFLAG=10
TINC=10.
TC=TFLAG
12 TC=TC+TINC
T=TC+273.16
X3=X1

```



```

C CONSTANTES DA EQUACAO DE LUMSDEN
C
C ESIG=EPSIL/T-SIGMA
W1=1./((1.987*T)*(EPSIL-SIGMA*T))
W2=1./((1.987*T)*(ZETA-FI*T))
W3=1./((1.987*1.987*T)*ESIG*ESIG

C PONTO MINIMO NA CURVA PARA O METAL 1
C (O PONTO MAXIMO DO MISCELLITY GAP E TAMBEM ESCOLHIDO AQUI
A LOGICA USADA E A DETERMINACAO DA TEMPERATURA EM QUE A LIMHA DE
ATIVIDADE VERSUS FRACAO MOLAR NAO TEM OUTRO MINIMO ALEM DO PARA N=0)
C

A MIN=1.
X1=1.
X1INC=0.01
100 X1=X1-X1INC
IF(X1.LT.X1MAX)GO TO 100
CALL METAL1
IF(A=A MIN)11,13,13
11 A MIN=A
GO TO 100
13 IF(DABS(X1INC).LE.0.0001)GO TO 14
A MIN=A
X1INC=-(X1INC/10.)
GO TO 100
140 IF(TINC.LT.0.1)GO TO 101
LFLAG=-10
TC=TC-T INC
T INC=T INC/10.
GO TO 12
14 X1MIN=X1

```

```

A1MIN=A
IF(LFLAG.LT.0)GO TO 12
C PONTO MAXIMO DA CURVA DO METAL 1
C
C AMAX=0
X1=X1MAX
XINC=0.01
18 X1=X1+XINC
CALL METAL1
IF(A-AMAX)19,19,17
17 AMAX=A
GO TO 18
19 IF(DABS(XINC).LE.0.0001)GO TO 20
AMAX=A
XINC=(XINC/100)
GO TO 18
20 X1MAX=X1
AMAX=A
C PONTO FINAL DE ITERACAO NO LADO DO METAL 1
C
C IF(AMAX.LT.1.)GO TO 22
C COMPOSICAO DA ATIVIDADE UNITARIA NA CURVA DO METAL 1
C
C X1=XLIM
XINC=0.01
21 X1=X1+XINC
CALL METAL1
IF(A.LT.1.0)GO TO 21

```

```

IF(XINC.LE.0.001)GO TO 22
X1=X1-XINC
XINC=XINC/10.
GO TO 21
22 X1M=X1
IF(XLIM.LT.0.95)GO TO 23
XLIM=XLIMAX

C PONTO MINIMO NA CURVA DO METAL 2
C
23 X1=X1MAX
CALL METAL 2
A2MIN=A

C PONTO MAXIMO NA CURVA DO METAL 2
C
X1=X1MIN
CALL METAL 2
A2MAX=A

C MENOR DOS DOTS MINIMOS
C
IF(A1MIN-A2MIN)<50,50,51
50 AMIN=A2MIN
GO TO 52
51 AMIN=A1MIN

C PONTO INICIAL DA ITERACAO NO LADO DO METAL 1
C
52 XINC=0.01
X1=0.

```

```

15 X1=X1+XINC
CALL METAL1
IF(A.LT.AMIN)GO TO 15
IF(XINC.LE.0.0001)GO TO 16
X1=X1-XINC
XINC=XINC/10.
GO TO 15
16 XINT=X1-XINC

C O PROGRAMA COMECA A PROCURAR O PONTO NA LINHA DE IMISCIBILIDADE
C
XINC=(XLIM-XINT)/10.
PXINT=XINT
PXINT=PXINT+XINC
755 CALL GRADT
IF(GRAD.GT.0.1)GO TO 755
IF(DABS(GRAD).LE.0.001)GO TO 666
PXINT=PXINT-XINC
XINC=XINC/10.
GO TO 755
666 KOUNT=KOUNT+1
TCMG(KOUNT)=TC
X1EMG(KOUNT)=XINT
X1DMG(KOUNT)=PXINT
A1MG(KOUNT)=(PA+XA)/2.
A2MG(KOUNT)=(AG1+AG2)/2.
GO TO 12
101 X1=X3
CALL METAL1
A1=A
CALL METAL2

```

```

A2=A
TCT=TC
X1CT=X3
RETURN
END
SUBROUTINE METAL1
C ESTA SUBROTINA DETERMINA, BASEADA NA EQUACAO DE LUMSDEN, A ATIVIDADE DO
C METAL 1 DADAS A TEMPERATURA E COMPOSICAO DA LIGA
C
DOUBLE PRECISION X1,W1,W2,W3,A,G,PXINT,GRAD,AG1,AG2,PA,XA,QXINT
DOUBLE PRECISION XQ,RQ,XRQ,YRQ,ZRQ,X2,D1,D2,D3
COMMON X1,W1,W2,W3,A,G,PXINT,GRAD,AG1,AG2,PA,XA,QXINT,TFLAG
COMMON R,Z,RAI01,RAI02,PML,PM2,EPSIL,SIGMA,FI,ZETA,MM,TML,TEL,VMT
COMMON TCT,TMT,XIMDT,TFT,XIET,TFC1,DHF2,R1,R2
COMMON TCNG(80),X1EMG(80),X1OMG(80),TCLLS(15),XILL(15),TCLLI(15)
COMMON XILL(15),TCLL(15),X2LL(15),GAMA1(9),GAMA2(9),ALT(9),A2T(9)
COMMON Z1(9),DH1(9),DH2(9),DS1(9),DS2(9)
COMMON A1MG(80),A2MG(80),AILLS(15),A2ILLS(15),A2LL(15)
COMMON AILL(15),A2LL(15)

X2=1.-X1
XQ=X2*X2
RO=R1*R1
XRQ=RQ*RQ*X1+X2
YRQ=RQ*RQ*R1**X1+X2
ZRQ=R1*(8./3.)*X1+X2
D1=X0*R1/(XRQ*XRO)
D2=X0*R1**2.5/(YRQ*YRQ)
D3=(2.*RQ*RQ*X1*XQ*X2-R1*(20./3.))*X1*X1*XQ)/(ZRQ*ZRQ*ZRQ)
G=DEXP(W1*D1+W2*D2-W3*D3)
A=G*X1

```

```

      RETURN
      END
      SUBROUTINE METAL2
C
C ESTA SUBROTINA DETERMINA, BASEADA NA EQUACAO DE LUMSDEN, A ATIVIDADE DO
C METAL 2 DADAS A TEMPERATURA E COMPOSIÇÃO DA LIGA
C
      DOUBLE PRECISION X1,W1,W2,W3,A,G,PXINT,GRAD,AG1,AG2,PA,XA,QXINT
      DOUBLE PRECISION XQ1,RQ1,XRQ1,YRQ1,ZRQ1,X2,D1,D2,D3
      COMMON X1,W1,W2,W3,A,G,PXINT,GRAD,AG1,AG2,PA,XA,QXINT,TFLAG
      COMMON R,Z,RAI01,RAI02,PM1,PM2,EPSIL,SIGMA,FI,ZETA,M,M,TML,TEL,VMT
      COMMON TCT,X1CT,TMT,X1MET,X1NDT,TET,XIET,TFC1,DHF1,TFC2,DHF2,R1,R2
      COMMON TCMG(80),X1EMG(80),X1D MG(80),TCLLS(15),TCLLI(15)
      COMMON XILLI(15),TCLL(15),X2LL(15),GAMA1(9),GAMA2(9),ALT(9)
      COMMON Z1(9),DH1(9),DH2(9),DS1(9),DS2(9)
      COMMON A1MG(80),A2MG(80),A1LLS(15),A2LLS(15),A1LLI(15)
      COMMON A1LL(15),A2LL(15)

      X2=1.-X1
      X01=X1*X1
      RQ1=R2*R2
      XRQ1=RQ1*X2*X1
      YRQ1=RQ1*RQ1*R2*X2*X1
      ZRQ1=R2*(8./3.)*X2*X1
      D1=XQ1*R2/(XRQ1*XQ1)
      D2=XQ1*R2*2.5/(YRQ1*YRQ1)
      D3=(2.*RQ1*RQ1*X2*XQ1*X1-R2*(20./3.)*X2*X2*XQ1)/(ZRQ1*ZRQ1*Z
      IF Q1)
      G=DEXP(W1*D1+W2*D2-W3*D3)
      A=G*X2
      RETURN
      END

```

SUBROUTINE GRADT

```
C
C ESTA SUBROTINA DETERMINA O GRADIENTE FORMADO PELOS PONTOS NA LINHA
C DO METAL 2 QUANDO SE TRACA UMA SECAO TRANSVERSAL NA LINHA DO METAL 1
C
DOUBLE PRECISION X1,W1,W2,W3,A,G,PXINT,GRAD,AG1,AG2,PA,XA,QXINT
DOUBLE PRECISION YINC
COMMON X1,W1,W2,W3,A,G,PXINT,GRAD,AG1,AG2,PA,XA,QXINT,TFLAG
COMMON R,Z,RAI01,RAI02,PM1,PM2,EPSIL,SIGMA,FI,ZETA,MM,TML,TEL,VMT
COMMON TCT,X1CT,TMT,X1MET,X1MDT,TET,X1ET,TFC1,DHF1,TFC2,DHF2,R1,R2
COMMON TCMG(80),XIEMG(80),X1DMG(80),TCLLS(15),X1LLS(15),TCLLI(15)
COMMON X1LLI(15),TCLL(15),X2LL(15),GAMA1(9),GAMA2(9),A1T(9),A2T(9)
COMMON Z1(9),DH1(9),DH2(9),DS1(9),DS2(9)
COMMON A1MG(80),A2MG(80),A1LLS(15),A2LLS(15),A1LLI(15),A2LLI(15)
COMMON A1LL(15),A2LL(15)
X1=PXINT
CALL METAL1
PA=A
X1=1.
YINC=0.01
61 X1=X1-YINC
CALL METAL1
XA=A
IF(A-(PA+0.0000000001))65,63,61
65 IF(A-(PA-0.0000000001))62,63,63
62 X1=X1+YINC
YINC=YINC/10.
GO TO 61
63 QXINT=X1
CALL METAL2
AG2=A
```

```

X1=PXINT
CALL METAL2
AG1=A
GRAD=(AG2-AG1)/(QXINT-PXINT)
RETURN
END

```

SUBROUTINE LIQUID(J,L,M)

C ESTA SUBROTINA DETERMINA UM ARRANJO UM DE PONTOS SOBRE A LINHA LIQUIDUS

```

C
      DOUBLE PRECISION X1,W1,W2,W3,A,G,PXINT,GRAD,AG1,AG2,PA,XA,QXINT
      COMMON X1,W1,W2,W3,A,G,PXINT,GRAD,AG1,AG2,PA,XA,QXINT,TFLAG
      COMMON R,Z,RA101,RA102,PM1,PM2,EP5IL,SIGMA,FI,ZETA,MM,TML,VMT
      COMMON TCT,X1CT,TMT,X1MET,X1MDT,TET,X1ET,TFC1,DHF1,TFC2,DHF2,R1,R2
      COMMON TCMG(80),X1EMG(80),X1DMG(80),TCLLS(15),X1LLS(15),TCLLI(15)
      COMMON X1LLI(15),TCLL(15),X2LL(25),GAMAI(9),GAMA2(9),ALT(9),A2T(9)
      COMMON Z1(9),DH1(9),DH2(9),DS1(9),DS2(9)
      COMMON ALMG(80),A2MG(80),A1LLS(15),A2LLS(15),A1LLI(15),A2LLI(15)
      COMMON A1LL(15),A2LL(15)
      R1=RA101/RA102
      R2=RA102/RA101
      ACR=0.01
      XN2=0.0
      21 XN2=XN2+ACR
      CALL DLL(DHF1,TFC1,XN2,TLC,V1,AA1,AA2)
      IF(TLC.GT.TML) GO TO 21
      XN2=XN2-ACR
      ACR=ACR*.1
      IF(ACR.GT.0.0001) GO TO 21
      XLIMIT=XN2
      ACR=XLIMIT*.1

```

XN2=0.
J=0
22 XN2=XN2+ACR
IF(XN2.GT.(XLIM1+ACR)) GO TO 23
J=J+1
CALL DLL (DHF1,TFC1,XN2,TCLLS(J),X1LLS(J),A1LLS(J),A2LLS(J))
GO TO 22
23 ACR=0.01
XN2=1.
24 XN2=XN2-ACR
CALL DLL (DHF1,TFC1,XN2,TLC,V1,AA1,AA2)
IF(TLC.LT.TML) GO TO 24
XN2=XN2+ACR
ACR=ACR*0.1
IF(ACR.GT.0.0001) GO TO 24
XLIM2=XN2
ACR=(1.-XLIM2)*0.1
XN2=XLIM2-ACR-ACR
L=0
25 XN2=XN2+ACR
L=L+1
CALL DLL (DHF1,TFC1,XN2,TCLLI(L),X1LLI(L),A1LLI(L),A2LLI(L))
IF(TCLLI(L).GT.TEL) GO TO 25
ACR=0.01
R1=RAI02/RAI01
R2=RAI01/RAI02
XN2=0.
27 XN2=XN2+ACR
CALL DLL (DHF2,TFC2,XN2,TLC,V1,AA1,AA2)
IF(TLC.GT.TEL) GO TO 27
XN2=XN2-ACR

```

ACR=ACR*0.1
IF(ACR.GT.0.5001) GO TO 27
XLIM3=XN2
ACR=XLIM3*0.1
XN2=0.
M=0
28 XN2=XN2+ACR
IF(XN2.GT.(XLIM3+ACR)) GO TO 29
M=M+1
CALL DLL (DHF2,TFC2,XN2,TCLL(M),X2LL(M),A2LL(M),A1LL(M))
GO TO 28
29 RETURN
END
SUBROUTINE DLL (DHF,TFC,XN2,TLC,V1,AA1,AA2)

C
C ESTA SUBROTINA DETERMINA CADA PONTO SOBRE A LINHA LIQUIDUS
C A LOGICA USADA E IDENTIFICAR A ATIVIDADE CALCULADA ATRAVES DA EQUACAO
C DE LUMSDEN COM A ATIVIDADE CALCULADA ATRAVES DA REACAO DE FUSAO
C
DOUBLE PRECISION X1,W1,W2,W3,A,G,PXINT,GRAD,AG1,AG2,PA,XA,QXINT
COMMON X1,W1,W2,W3,A,G,PXINT,GRAD,AG1,AG2,PA,XA,QXINT,TFLAG
COMMON R,Z,RAI01,RAI02,PM1,PM2,EPSIL,STGMA,FI,ZETA,MM,TML,TEL,VMT
COMMON TCT,X1CT,TMT,X1MET,X1NDT,TET,X1ET,TFC1,DHF1,TFC2,DHF2,R1,R2
COMMON TCMG(80),X1EMG(80),X1DMG(80),TCLLS(15),X1LLS(15),TCLLI(15)
COMMON X1LL1(15),TCLL(15),X2LL(15),GAMA1(9),GAMA2(9),A1T(9),A2T(9)
COMMON Z1(9),DH1(9),DH2(9),DS1(9),DS2(9)
COMMON A1MG(80),A2MG(80),A1LLS(15),A2LLS(15),A1LL1(15),A2LL1(15)
COMMON A1LL(15),A2LL(15)
TF=TFC+273.16
XN1=1.-XN2
XN1D=XN1**2

```

```

XN2Q=XN2**2
XN2C=XN2**3
R12=R1**2
R125=R1**2.5
R126=R1**{(20./3.)}
R18=R1**{(8./3.)}
R14=R1**4
R15=R1**5
P2Z=R**2*Z
XN1C=XN1**3
R22=R2**2
R225=R2**2.5
R226=R2**{(20./3.)}
R28=R2**{(8./3.)}
P24=Q2**4
R25=Q2**5
A1=(XN2Q*R1)/(R*(R12*XN1+XN2)**2)
A2=(XN2Q*R125)/(R*(R15*XN1+XN2)**2)
A3=-{2.*R14*XN1*XN2C-R126*XN1Q*XN2Q}/(R22*(R18*XN1+XN2)**4)
A4=ALOG(XN1)
A5={(XN1Q*R2)/(R*(R22*XN2+XN1)**2)}
A6={(XN1Q*R225)/(R*(R25*XN2+XN1)**2)}
A7=-{(2.*R24*XN2*XN1C-R226*XN2Q*XN1Q)/(R22*(R28*XN2+XN1)**4)}
A8=ALOG(XN2)
B1=A3*EPSIL**2
B2=A1*EPSIL+A2*ZETA-2.*A3*EPSIL*SIGMA+DHF/R
B3=-A1*SIGMA-A2*FI+A3*SIGMA**2+A4-DHF/(R*TF)
ARG=B2**2-4.*B1*B3
IF(ARG.LT.0.) GO TO 4
DELTAB=SQRT(ARG)
TL2=(-B2-DELTAB)/(2.*B3)

```

```

TLC=TL2-273.16 .
ESIG=EPSIL/TL2-SIGMA
ZFI=ZETA/TL2-FI
XLA1=ESIG*A1+ZFI*A2+ESIG**2*A3+A4
XLA2=ESIG*A5+ZFI*A6+ESIG**2*A7+A8
AA1=EXP(XLA1)
AA2=EXP(XLA2)
V1=XN1
4 RETURN
END
SUBROUTINE INTSC (J,L,M,XILL)
C
C ESTA SUBROTINA CALCULA OS PONTOS PRINCIPAIS DO DIAGRAMA ATRAVES DA
C DETERMINACAO DE INTERSECOES DAS LINHAS LIQUIDUS E DO MG
C OS PONTOS DESTAS LINHAS SAO AJUSTADOS ATRAVES DA SUBROTINA FIT EM
C CURVAS DO SEGUNDO GRAU
C
DOUBLE PRECISION X1,W1,W2,W3,A,G,PXINT,GRAD,AG1,AG2,PA,XA,QXINT
DIMENSION XILL (15)
COMMON X1,W1,W2,W3,A,G,PXINT,GRAD,AG1,AG2,PA,XA,QXINT,TFLAG
COMMON R,Z,RAIO1,RAIO2,PM1,PM2,EPSIL,SIGMA,FI,ZETA,MN,TML,TEL,VMT
COMMON TCT,X1CT,TMT,X1MET,X1MDT,TET,X1ET,TFC1,DHF1,TFC2,DHF2,R1,R2
COMMON TCMG(80),X1EMG(80),X1DMG(80),TCLLS(15),XILLS(15),TCLLI(15)
COMMON XILLI(15),TCLL(15),X2LL(15),GAMA1(9),GAMA2(9),A1T(9),A2T(9)
COMMON Z1(9),OH1(9),OH2(9),DS1(9),DS2(9)
COMMON A1MG(80),A2MG(80),A1LLS(15),A2LLS(15),A1LLI(15),A2LLI(15)
COMMON A1LL(15),A2LL(15)
DIMENSION VLLS(15),ZILLS(15),VLL(15),ZILL(15),VLLI(15),ZILLI(15)
IJ=0
DO 20 J=6,15
IF(TCLLS(J).LT.0.0001) GO TO 71

```

```

IJ=IJ+1
VLLS(IJ)=TCLLS(J)
ZILLS(IJ)=XILLS(J)
20 CONTINUE
71 N=IJ
CALL FIT(N,VLLS,ZILLS,A1,B1,C1)
N=5
CALL FIT(N,TCMG,X1EMG,A2,B2,C2)
A3=A1-A2
B3=B1-B2
C3=C1-C2
DELTA=B3**2-4.*A3*C3
ARG=SQRT(DELTA)
X1MET=(-B3+ARG)/(2.*A3)
TMT=A1*X1MET**2+B1*X1MET+C1-273.16
N=5
CALL FIT(N,TCLLI,X1LLI,A1,B1,C1)
N=5
CALL FIT(N,TCMG,X1CMG,A2,B2,C2)
IM=0
DO 30 M=6,15
IF(TCLL(M).LT.0.0001) GO TO 81
IM=IM+1
VLL(IM)=TCLL(M)
ZILL(IM)=X1LL(M)
30 CONTINUE
81 N=IM
CALL FIT(N,VLL,ZILL,A3,B3,C3)
A4=A1-A2
B4=B1-B2
C4=C1-C2

```

```

DELT A=B4**2-4.*A4*C4
ARG=SQRT(DELT A)
X1MDT=(-B4-ARG)/(2.*A4)
VMT=A1*X1MDT**2+B1*X1MDT+C1-273.16
IL=0
DO 46 L=6,15
IF(TCLLI(L).LT.0.0001) GO TO 91
IL=IL+1
VLLI(IL)=TCLLI(L)
ZILLI(IL)=X1LLI(L)
41 CONTINUE
91 N=IL
CALL FIT (N,VLLI,ZILLI,A6,B6,C6)
A5=A6-A3
B5=B6-B3
C5=C6-C3
DELT A=B5**2-4.*A5*C5
ARG=SQRT(DELT A)
X1ET=(-B5+ARG)/(2.*A5)
TET=A6*X1ET**2+B6*X1ET+C6-273.16
RETURN
END
SUBROUTINE FIT(N,YTC,YN,A,B,C)
C
C ESTA SUBROTINA AJUSTA PONTOS DAS LINHAS LIQUIDUS E DO MG EM CURVAS
C DO SEGUNDO GRAU ATRAVES DO METODO DOS MINIMOS QUADRADOS
C
DOUBLE PRECISION X1,X2,X3,X4,X5,X6,X7,Y1,Y2,Y3
DIMENSION YTC(15),YN(15),YT(15),VLLS(15),ZILLS(15),VLL(15)
DIMENSION ZILL(15)
SN=N.

```

```

I=0
X1=0.
X2=0.
X3=0.
X4=0.
X5=0.
X6=0.
X7=0.
20 I=I+1
IF(I=N)91,91,92
91 YT(I)=YTC(I)+273.16
X1=X1+YN(I)**4
X2=X2+YN(I)**3
X3=X3+YN(I)**2
X4=X4+YN(I)
X5=X5+YT(I)*YN(I)**2
X6=X6+YT(I)*YN(I)
X7=X7+YT(I)
GO TO 20
92 Y1=X2-X4*X3/SN
Y2=X3-X4**2/SN
Y3=X4*X7/SN-X6
B=(Y3*X1/Y1-X3*X7/SN-X3**2*Y3/(SN*Y1)+X5)/(-Y2*X1/Y1+X2+X3**2*Y2/(1
SN*Y1)-X3*X4/SN)
C=X7/SN+B*X3*Y2/(SN*Y1)+X3*Y3/(SN*Y1)-B*X4/SN
L=(-3*Y2-Y3)/Y1
RETURN
END
SUBROUTINE TERMO (TT)

```

C
C ESTA SUBRONTINA CALCULA AS ATIVIDADES, COEFICIENTES DE ATIVIDADE)



```

C ENTALPIAS E ENTROPIAS PARCIAIS MOLARES DOS DOIS METAIS EM TEMPERATURAS
C E COMPOSICOES EM QUE ESTES DADOS SAO CONHECIDOS NA LITERATURA
C AS ATIVIDADES E COEFICIENTES DE ATIVIDADE SAO CALCULADAS A PARTIR DA
C EQUACAO DE LUMSDEN
C AS ENTALPIAS E ENTROPIAS PARCIAIS MOLARES SAO CALCULADAS
C CONSIDERANDO-SE QUE ESTAS GRANDEZAS NAO VARIAM APRECIAVELMENTE COM A
C TEMPERATURA NUMA FAIXA NAO MUITO AMPLA DE TEMPERATURAS
C CALCULADAS AS ENERGIAS LIVRES PARCIAIS MOLARES EM DUAS TEMPERATURAS
C PROXIMAS A DESEJADA OBTEM-SE AS ENTALPIAS E ENTROPIAS PARCIAIS
C MOLARES DIRETAMENTE
C
      DOUBLE PRECISION X1,W1,W2,W3,A,G,PXINT,GRAD,AG1,AG2,PA,XA,QXINT
      COMMON X1,W1,W2,W3,A,G,PXINT,GRAD,AG1,AG2,PA,XA,QXINT,TFLAG
      COMMON R,Z,RAI01,RAI02,PM1,PM2,EPSIL,SIGMA,FI,ZETA,MM,TML,TEL,VMT
      COMMON TCT,XICT,TMT,X1MET,XIMDT,TET,XIET,TFC1,DHF1,TFC2,DHF2,R1,R2
      COMMON TCMG(8),XIEMG(S),XIDMG(8),TCLLS(15),XILLS(15),TCLLI(15)
      COMMON XILLI(15),TCLL(15),X2LL(15),GAMA1(9),GAMA2(9),A1T(9),A2T(9)
      COMMON Z1(9),DH1(9),DH2(9),DS1(9),DS2(9)
      COMMON A1MG(8),A2MG(8),A1LLS(15),A2LLS(15),A1LLI(15),A2LLI(15)
      COMMON AILL(15),A2LL(15)
      DIMENSION Z2(9)
      READ(1,18)TT
18 FORMAT(F10.1)
      R1=RAI01/RAI02
      R2=RAI02/RAI01
      R1Q=R1*R1
      R2Q=R2*R2
      R14=R10*R1Q
      R24=R20*R2Q
      R15=R14*R1
      R25=R24*R2

```

```

R125=R1**2.5
R225=R2**2.5
R18=R1**{8.0/3.0}
R28=R2**{8.0/3.0}
S120=R1**{20.0/3.0}
R220=R2**{20.0/3.0}
R2Z=Z*R**R
T1=TT+25.
T2=TT-25.
ES1G=EPSIL/TT-SIGMA
ZF1=ZETA/TT-FI
ES161=EPSIL/T1-SIGMA
ZF11=ZETA/T1-FI
ES162=EPSIL/T2-SIGMA
ZF12=ZETA/T2-FI
DO 31 N=1,9
ZZ1=N
ZZ1=ZZ1*1.0
Z1(N)=ZZ1
Z2(N)=1.0-ZZ1
ZZ2=1.0-ZZ1
Z1Q=ZZ1*ZZ1
Z2Q=ZZ2*ZZ2
Z1C=Z1Q*ZZ1
Z2C=Z2Q*ZZ2
A1=Z2Q*K1/(R*(R10*ZZ1+ZZ2)**2)
B1=Z2Q*R125/(R*(R15*ZZ1+ZZ2)**2)
C1=-{2.0*R2/(R*(R2Q*ZZ2+ZZ1)**2)}
A2=Z10*R2/(R*(R2Q*ZZ2+ZZ1)**2)
B2=Z10*R225/(R*(R25*ZZ2+ZZ1)**2)
C2=-{2.0*R24*ZZ2*Z1C-R225*(R2Q*ZZ1)**2}

```

```

XLG1=ESIG*A1+ZFI*B1+ESIG**2*C1
XLG2=ESIG*A2+ZFI*B2+ESIG**2*C2
GAMA1(N)=EXP(XLG1)
GAMA2(N)=EXP(XLG2)
A1T(N)=GAMA1(N)*Z1(N)
A2T(N)=GAMA2(N)*Z2(N)

C O PRIMEIRO INDICE REFERE-SE AO METAL E O SEGUNDO A TEMPERATURA
XLAI1=ESIG1*A1+ZFI1*B1+ESIG1**2*C1+ALOG(ZZ1)
XLAI2=ESIG2*A1+ZFI2*B1+ESIG2**2*C1+ALOG(ZZ1)
XLAI3=ESIG1*A2+ZFI1*B2+ESIG1**2*C2+ALOG(ZZ2)
XLAI4=ESIG2*A2+ZFI2*B2+ESIG2**2*C2+ALOG(ZZ2)
DG11=R*T1*XLA11
DG12=R*T2*XLA12
DG21=R*T1*XLA21
DG22=R*T2*XLA22
DS1(N)=(DG12-DG11)/(T1-T2)
DH1(N)=DG11+T1*DS1(N)
DS2(N)=(DG22-DG21)/(T1-T2)
DH2(N)=DG21+T1*DS2(N)
31 RETURN
END

```

APÊNDICE II

Valores experimentais de temperatura e composição sobre a LLRIL, de WARING et alii⁽¹⁰⁾, para o sistema Zn-Pb.

T°C	% E Zn	% D Zn
417,8	99,3	2,0
450	98,6	2,3
500	97,7	3
550	96,0	4
600	94,1	6
650	91	8
700	85	12
750	76	19
775	68	26

NOTA - % refere-se a percentagem ponderal.

APÊNDICE III

Valores experimentais de temperatura e composição sobre
a LLRIL, de HASS & JELLINEK⁽¹²⁾, para o sistema Zn-Pb .

T°C	% E Zn	% D Zn
420	98,7	2,0
575	94,0	5,0
675	89,5	7,5
750	83,2	11,5
770	81,8	13,1

NOTA - % refere-se a percentagem ponderal.



APÊNDICE IV

Valores experimentais de temperatura e composição sobre
a LLRIL, de CAFASSO et alii⁽¹³⁾, para o sistema Zn-Pb.

T°C	% E Zn	% D Zn
651,8	90,23	7,56
702,2	85,77	10,15
734,0	80,95	14,00
763,9	72,29	20,48

NOTA - % refere-se a percentagem ponderal.

APÊNDICE V

Valores experimentais de temperatura e composição sobre a LLRIL, de SPRING & ROMANOFF⁽¹⁴⁾, para o sistema Zn-Pb.

T°C	% E _{Zn}	% D _{Zn}
475	98,0	9,0
514	97,0	11,0
584	95,0	14,0
650	93,0	17,0
740	90,0	21,0
800	86,0	25,0
900	74,5	41,0

NOTA - % refere-se a percentagem ponderal.

APÊNDICE VI

RESULTADOS FORNECIDOS PELO ALGORITMO, PARA O SISTEMA
Zn-Pb, UTILIZANDO-SE DADOS EXPERIMENTAIS DE WARING
et alii⁽¹⁰⁾



PONTOS EXPERIMENTAIS NO MG CONSIDERADOS DE WARING ET ALII

METAL 2 = CHUMBO

SISTEMA ZINCO - CHUMBO
 METAL 1 = ZINCO

EPSIL = 5306.14
 SIGMA = 1.05
 FI = 2.22
 ZETA = 2855.40

CENTRO DE COMPUTACAO DA UFGM

PONTOS NO MISCELLIAR GAP	TC	M1F	N1D	N2D	A1
4.30.0	0.930	0.01322	0.678	0.9572	0.973
4.10.0	0.9777	0.0115	0.945	0.9977	0.945
4.20.0	0.952	0.01554	0.946	0.974	0.914
4.30.0	0.902	0.0105	0.9475	0.9475	0.948
4.40.0	0.970	0.0139	0.931	0.971	0.980
4.50.0	0.985	0.0105	0.9639	0.9639	0.948
4.60.0	0.9561	0.0139	0.9685	0.9685	0.912
4.60.0	0.9956	0.0134	0.9733	0.9733	0.976
4.70.0	0.950	0.0135	0.9217	0.9959	0.923
4.80.0	0.994	0.0155	0.9153	0.9153	0.928
4.90.0	0.998	0.0132	0.9103	0.9103	0.958
5.00.0	0.931	0.0105	0.9152	0.9152	0.916
5.10.0	0.922	0.0128	0.9113	0.9113	0.919
5.20.0	0.9213	0.0105	0.9178	0.9178	0.922
5.30.0	0.913	0.0107	0.9146	0.9146	0.914
5.40.0	0.943	0.0117	0.9126	0.9126	0.934
5.50.0	0.9433	0.0119	0.9123	0.9123	0.918
5.60.0	0.9263	0.0112	0.9132	0.9132	0.917
5.70.0	0.984	0.0116	0.9147	0.9147	0.931
5.80.0	0.9439	0.0162	0.9162	0.9162	0.882
5.90.0	0.9821	0.0119	0.9133	0.9133	0.829
6.00.0	0.9813	0.0119	0.9129	0.9129	0.874
6.10.0	0.9782	0.0121	0.9131	0.9131	0.817
6.20.0	0.9760	0.0124	0.9137	0.9137	0.806
6.30.0	0.975	0.0205	0.9204	0.9204	0.837
6.40.0	0.917	0.023	0.923	0.923	0.875
6.50.0	0.9677	0.0132	0.9293	0.9293	0.811
6.60.0	0.9544	0.0135	0.9225	0.9225	0.844
6.70.0	0.9507	0.0139	0.9266	0.9266	0.875
6.80.0	0.9545	0.0135	0.9214	0.9214	0.807
6.90.0	0.9519	0.0151	0.9173	0.9173	0.834
7.00.0	0.9467	0.0153	0.9142	0.9142	0.862
7.10.0	0.9467	0.0153	0.9123	0.9123	0.769
7.20.0	0.9340	0.0152	0.9349	0.9349	0.713
7.30.0	0.9263	0.0173	0.9330	0.9330	0.735
7.40.0	0.9174	0.0126	0.9161	0.9161	0.754
7.50.0	0.9268	0.0132	0.9114	0.9114	0.773
7.60.0	0.9264	0.0159	0.9153	0.9153	0.789
7.70.0	0.874	0.0126	0.9176	0.9176	0.795
7.80.0	0.8555	0.0115	0.9193	0.9193	0.745
7.90.0	0.839	0.0115	0.9561	0.9439	0.727
8.00.0	0.7310	0.0135	0.6265	0.3735	0.322

CENTRO DE COMPUTACAO DA UFGM



6

CENTRO DE COMPUTAÇÃO DA U.F.M.G.

PONTOS NA LINHA LÍQUIDOS

LADO ESQUERDO SUPERIOR	TC	N1	N2	A1	A2
419.38	0.9997E 00	0.3000E-03	0.9997E 00	0.1159E 00	
419.22	0.9994E 00	0.5000E-03	0.9994E 00	0.2100E 00	
419.06	0.9991E 00	0.9000E-03	0.9991E 00	0.3224E 00	
418.90	0.9988E 00	0.1200E-02	0.9988E 00	0.4330E 00	
418.75	0.9985E 00	0.1500E-02	0.9985E 00	0.5520E 00	
418.60	0.9982E 00	0.1800E-02	0.9982E 00	0.6720E 00	
418.44	0.9979E 00	0.2100E-02	0.9979E 00	0.7920E 00	
418.29	0.9976E 00	0.2400E-02	0.9976E 00	0.9120E 00	
418.15	0.9973E 00	0.2700E-02	0.9973E 00	0.9320E 00	
418.00	0.9970E 00	0.3000E-02	0.9970E 00	0.9520E 00	
417.85	0.9967E 00	0.3300E-02	0.9967E 00	0.9720E 00	

CENTRO DE COMPUTAÇÃO DA U.F.M.G.

PONTOS PRINCIPAIS DO DIAGRAMA

LADO DIREITO	TC	N1	N2	A1	A2
326.50	0.1500E-02	0.9285E 00	0.1033E 01	0.9284E 00	
325.57	0.3000E-02	0.9270E 00	0.1321E 00	0.9271E 00	
324.65	0.4500E-02	0.9255E 00	0.1620E 00	0.9256E 00	
323.74	0.6000E-02	0.9240E 00	0.1920E 00	0.9241E 00	
322.84	0.7500E-02	0.9225E 00	0.2220E 00	0.9226E 00	
321.95	0.9000E-02	0.9210E 00	0.2520E 00	0.9212E 00	
321.07	0.1050E-01	0.9195E 00	0.2820E 00	0.9196E 00	
320.20	0.1200E-01	0.9180E 00	0.3120E 00	0.9182E 00	
319.34	0.1350E-01	0.9165E 00	0.3420E 00	0.9167E 00	
318.49	0.1500E-01	0.9150E 00	0.3720E 00	0.9152E 00	
317.65	0.1650E-01	0.9135E 00	0.4020E 00	0.9137E 00	

FSTE TRABALHO LITERATURA

PONTO CRÍTICO	TC	N1	N2	TC	N1	N2
MONÓTICO ESCURO	804.8	0.701E 00	3.299E 00	796.0	0.720E 00	0.286E 00
MONÓTICO DIREITO	419.2	0.397E 00	0.266E-02	417.8	0.397E 00	0.300E-12
EUTÉTICO	418.5	0.548E-01	0.945E 00	417.8	0.548E-01	0.946E 00

LITERATURA

PONTO CRÍTICO	TC	N1	N2	TC	N1	N2
MONÓTICO ESCURO	419.2	0.397E 00	0.266E-02	417.8	0.397E 00	0.300E-12
MONÓTICO DIREITO	418.5	0.548E-01	0.945E 00	417.8	0.548E-01	0.946E 00
EUTÉTICO	318.5	0.185E-01	0.981E 00	318.2	0.160E-01	0.984E 00

DIFERENÇA PERCENTUAL

PONTO CRÍTICO	TC	N1	N2
MONÓTICO ESCURO	419.2	-2.65	5.82
MONÓTICO DIREITO	418.5	0.43	-11.31
EUTÉTICO	318.5	-3.64	0.55

TERMODINAMICA TEMPERATURA = 926.0 GRAUS KELVIN

TEMPERATURA = 926.0 GRAUS KELVIN

ATIVIDADES E COEFICIENTES DE ATIVIDADE DO METAL 1		LITERATURA		DIFERENCA PERCENTUAL	
ESTE TRABALHO		GAMAI		GAMAI	
N1	A1	N1	A1	N1	A1
6.100	6.605	0.160	0.633	6.327	6.100
0.100	0.196	0.210	0.957	6.783	0.203
0.300	0.510	1.067	3.655	3.396	-4.26
0.400	0.653	0.300	1.129	0.448	-4.27
0.445	2.736	0.446	2.823	0.446	-3.96
0.500	1.055	0.503	1.112	0.500	-3.05
0.600	1.758	0.600	1.774	0.500	-2.32
0.616	1.452	0.700	1.451	0.700	-2.28
0.700	1.016	1.016	1.451	0.621	-6.29
0.400	0.980	0.400	0.975	0.400	-0.45
0.300	1.226	0.300	1.219	0.300	-0.53
0.261	1.068	0.958	1.064	0.970	0.35

ATIVIDADES E COEFICIENTES DE ATIVIDADE DO METAL 1

ESTE TRABALHO **LITERATURA**

ESTATE PLACEMENT		INTERFUSION		DIFFUSION	
N1	A1	GAMAI	N1	A1	GAMAI
0.100	0.600	0.100	0.633	0.327	0.100
0.200	0.916	0.200	0.783	0.210	0.200
0.300	4.579	0.300	4.579	0.210	4.311
0.400	3.510	0.400	1.007	3.555	0.306
0.449	1.495	0.449	1.179	0.483	1.000
0.490	1.086	0.500	1.112	0.500	1.000
0.600	1.755	0.600	1.066	1.774	0.611
0.616	1.452	0.700	1.451	1.451	0.700
0.649	1.226	0.800	0.975	1.219	0.800
0.900	0.961	0.900	0.958	1.064	0.900

ATIVIDADES E COEFICIENTES DE ATIVIDADE DO METAL 2	LITERATURA						DIFERENCA PERCENTUAL
	A1	A2	GAMA2	N1	A2	GAMA2	
ESTE TRABALHO							
0.100	0.914	1.016	C. 110	C. 914	1.016	C. 110	-0.13
0.200	0.856	1.067	C. 200	C. 954	1.067	C. 200	0.04
0.300	0.817	1.167	C. 300	C. 106	1.163	C. 300	-0.11
0.400	0.781	1.267	C. 400	C. 116	1.267	C. 400	-0.16
0.500	0.750	1.367	C. 500	C. 126	1.367	C. 500	-0.16
0.600	0.727	1.467	C. 600	C. 136	1.467	C. 600	-0.16
0.700	0.707	1.567	C. 700	C. 146	1.567	C. 700	-0.16
0.800	0.690	1.667	C. 800	C. 156	1.667	C. 800	-0.16
0.900	0.674	1.767	C. 900	C. 166	1.767	C. 900	-0.16
1.119	11.098	11.160	0.900	0.900	11.160	0.900	-5.08

ENTALPIAS E ENTRÉPIAS PARCIAIS MOLARES DO MÉTAL 1

ENTALPIAS E ENTRÉPIAS PARCIAIS MOLARES DO MÉTAL 1

ESTE TRABALHO	LITERATURA			DIFERENCA PERCENTUAL		
	NL	DHL	DSI	NL	DHL	DSI
0.160	6.92%	6.30%	5.11%	6.32%	0.10%	-1.19%
0.240	4.17%	4.20%	4.20%	4.72%	-0.28%	-1.42%
0.340*	3.43%	3.65%	3.30%	3.72%	-0.34%	-2.80%
0.400	2.78%	2.82%	2.65%	3.71%	-0.64%	-4.74%
0.500	2.19%	2.20%	2.50%	2.55%	-0.46%	-4.17%
0.600	1.65%	1.67%	0.56%	2.32%	-0.50%	-6.28%
0.700	1.15%	1.21%	0.70%	1.77%	-0.67%	-6.05%
0.800	0.67%	0.76%	0.80%	1.14%	-0.70%	-0.94%
0.900	0.23%	0.33%	0.90%	0.59%	-0.65%	0.80%
				1.86%	0.280	31.59

ENTROPPIAS E ENTROPIAS ESPECIAIS

ENTALPIAS E ENTROPIAS PARCIAIS

ESTE TRAMALHO	N1	N2	DIF.	LITOFACIA		N1	N2	DIF.	DIF. %	DIF. %
				DIF.	DIF.					
0.190	4.4*	0.276	0.110	4.0	0.220	0.100	0.042	0.060	0.77	2.64
0.200	1.91	0.509	0.200	1.61	0.489	0.200	0.050	0.200	9.51	3.84
0.300	4.19	0.855	0.300	3.85	0.830	0.300	0.030	0.300	6.01	2.96
0.400	7.70	1.273	0.400	7.46	1.270	0.400	0.040	0.400	3.32	2.63
0.500	12.54	1.762	0.500	12.55	1.750	0.500	0.050	0.500	0.95	1.82
0.600	16.17	2.435	0.600	16.53	2.420	0.600	0.500	0.600	6.20	3.75
0.700	28.59	3.302	0.700	31.50	3.220	0.700	0.700	0.700	9.25	6.19
0.800	4.916	4.662	0.800	4.951	4.520	0.800	0.800	0.800	5.22	6.25
0.900	6.816*	7.028	0.900	6.930	7.010*	0.900	0.900	0.900	-12.55	-16.69
									-10.83	-9.89

TEMPERATURA = 923.0 GRAUS KELVIN

TEMPERATURA = 923.0°CRAUS RELV

THE JOURNAL OF CLIMATE



CENTRO DE COMPUTAÇÃO DA U.F.M.G.

CENTRO DE COMPUTAÇÃO DA U.F.M.G.

ATIVIDADES E COEFICIENTES DE ATIVIDADE DO METAL 1

ESTE TRABALHO

LITERATURA

DIFERENÇA PERCENTUAL

N1	A1	GAMAI	N1	A1	GAMAI	N1	A1	GAMAI
0.100	0.611	6.113	0.100	0.627	6.273	0.100	-2.50	-2.55
0.200	0.922	4.612	0.200	0.942	4.709	0.200	-2.07	-2.05
0.300	1.150	3.552	0.300	0.978	3.260	0.300	8.33	8.33
0.400	1.100	2.750	0.400	0.978	2.445	0.400	12.47	12.47
0.500	1.000	2.419	0.500	0.974	1.956	0.500	11.49	11.49
0.600	1.058	1.876	0.600	0.976	1.630	0.600	8.18	8.18
0.700	1.018	1.455	0.700	0.978	1.397	0.700	4.12	4.13
0.800	0.982	1.227	0.800	0.978	1.223	0.800	-0.37	-0.32
0.900	0.942	1.069	0.900	0.978	1.087	0.900	0.96	-1.68

ATIVIDADES E COEFFICIENTES DE ATIVIDADE DO METAL 2

ESTE TRABALHO

LITERATURA

DIFERENÇA PERCENTUAL

N1	A2	GAMAI	N1	A2	GAMAI	N1	A2	GAMAI
0.100	0.916	6.100	0.100	0.913	6.104	0.100	-0.18	-0.18
0.200	0.854	6.200	0.200	0.854	6.067	0.200	0.07	0.07
0.300	0.817	1.168	0.300	0.845	1.077	0.300	-3.27	-3.27
0.400	0.802	1.352	0.400	0.800	1.408	0.400	-5.08	-5.08
0.500	0.790	1.617	0.500	0.845	1.691	0.500	-4.34	-4.34
0.600	0.789	2.018	0.600	0.849	2.113	0.600	-6.69	-6.69
0.700	0.792	2.307	0.700	0.845	2.817	0.700	6.75	6.74
0.800	1.008	5.001	0.800	0.845	4.225	0.800	19.32	19.32
0.900	0.913	11.234	0.900	0.845	8.450	0.900	32.95	32.95

ENTALPIAS E ENTROPIAS PARCIAIS MOLARES DO METAL 1

ESTE TRABALHO

LITERATURA

DIFERENÇA PERCENTUAL

N1	D51	N1	D51	N1	D51	N1	D51	N1
0.100	4.919	0.100	4.933	5.577	0.100	14.58	13.09	13.09
0.200	4.155	0.200	4.652	4.200	0.200	11.68	12.33	12.33
0.300	3.433	0.300	3.604	3.208	0.300	7.60	2.42	2.42
0.400	2.762	0.400	2.825	2.730	0.400	1.91	-5.86	-5.86
0.500	2.192	0.500	2.573	2.252	0.500	-2.68	-11.32	-11.32
0.600	1.639	0.600	1.775	1.666	0.600	-8.89	-14.62	-14.62
0.700	1.120	1.120	1.216	1.297	1.120	1.449	-16.47	-16.47
0.800	6.727	0.800	819	0.931	0.800	-11.30	-17.93	-17.93
0.900	2.376	0.900	341	0.414	0.900	-30.51	-19.34	-19.34

ENTALPIAS E ENTROPIAS PARCIAIS MOLARES DO METAL 2

ESTE TRABALHO

LITERATURA

DIFERENÇA PERCENTUAL

N1	D52	N1	D52	N1	D52	N1	D52	N1
0.100	0.526	0.100	0.526	0.100	0.516	0.100	0.03	0.03
0.200	0.509	0.200	0.509	0.200	0.509	0.200	0.00	0.00
0.300	4.179	0.300	4.155	0.300	4.122	0.300	-1.12	-1.12
0.400	7.701	0.400	7.673	0.400	7.656	0.400	-2.91	-2.91
0.500	12.244	0.500	12.182	0.500	12.181	0.500	-2.07	-2.07
0.600	19.167	0.600	19.242	0.600	19.276	0.600	-2.61	-2.61
0.700	20.700	0.700	20.875	0.700	20.916	0.700	-2.01	-2.01
0.800	4.315	0.800	4.359	0.800	4.079	0.800	-6.51	-6.51
0.900	6.900	0.900	6.205	0.900	5.631	0.900	-59.51	-59.51

APÊNDICE VII

RESULTADOS FORNECIDOS PELO ALGORITMO, PARA O SISTEMA
Zn-Pb, UTILIZANDO-SE DADOS EXPERIMENTAIS DE HASS &
JELLINEK⁽¹²⁾

CENTRO DE COMPUTAÇÃO DA U.F.M.G.

CENTRO DE COMPUTAÇÃO DA U.F.M.G.

SISTEMA ZINCO - CHUMBO

METAL 1 = ZINCO

METAL 2 = CHUMBO

PONTOS EXPERIMENTAIS NO MG CONSIDERADOS DE HASS-JELLINGER

CONSTANTES DA EQUAÇÃO DE LUNSHUEN
EPSIL = 4.711.96
SIGMA = -0.15
F1 = 1.23
ZETA = 1865.20

PONTOS NO MISCIBILITY GAP	TG	N1E	N2E	MID	M2D	A1	A2
410.0	0.9964	0.9136	0.9540	0.9495	0.9046	0.9528	0.9528
419.0	0.9960	0.9144	0.9574	0.9492	0.9052	0.9502	0.9502
428.0	0.9956	0.9154	0.9510	0.9396	0.9194	0.9476	0.9476
438.0	0.9952	0.9164	0.9448	0.9353	0.9355	0.9445	0.9445
448.0	0.9947	0.9173	0.9386	0.9314	0.9351	0.9415	0.9415
458.0	0.9941	0.9179	0.9276	0.9274	0.9246	0.9395	0.9395
468.0	0.9936	0.9184	0.9176	0.9232	0.9284	0.9357	0.9357
478.0	0.9929	0.9171	0.9111	0.9199	0.9375	0.9326	0.9326
488.0	0.9923	0.9157	0.9077	0.9177	0.9341	0.9315	0.9315
498.0	0.9916	0.9134	0.9033	0.9097	0.9260	0.9291	0.9291
508.0	0.9908	0.9112	0.8949	0.8949	0.9118	0.9226	0.9226
518.0	0.9900	0.9100	0.8902	0.8998	0.9126	0.9192	0.9192
528.0	0.9891	0.9099	0.8853	0.8947	0.9024	0.9157	0.9157
538.0	0.9881	0.9119	0.8817	0.8893	0.9297	0.9122	0.9122
548.0	0.9871	0.9126	0.8769	0.8837	0.9249	0.9085	0.9085
558.0	0.9861	0.9129	0.8713	0.8779	0.9241	0.9047	0.9047
568.0	0.9851	0.9139	0.8621	0.8720	0.9277	0.9099	0.9099
578.0	0.9849	0.9151	0.8530	0.8720	0.9317	0.9099	0.9099
588.0	0.9837	0.9153	0.8342	0.8658	0.9153	0.8971	0.8971
598.0	0.9823	0.9177	0.8145	0.8594	0.9154	0.8932	0.8932
608.0	0.9819	0.9191	0.8107	0.8472	0.9248	0.8940	0.8940
618.0	0.9815	0.9205	0.7541	0.7459	0.9346	0.8947	0.8947
628.0	0.9809	0.9222	0.6162	0.6398	0.9323	0.8809	0.8809
638.0	0.9778	0.9238	0.1686	0.4314	0.9112	0.8783	0.8783
648.0	0.9752	0.9257	0.1762	0.8238	0.8724	0.8724	0.8724
658.0	0.9731	0.9257	0.1762	0.8238	0.8724	0.8724	0.8724
668.0	0.9714	0.9276	0.1741	0.1759	0.9141	0.8678	0.8678
678.0	0.9702	0.9298	0.1723	0.1777	0.9715	0.8535	0.8535
688.0	0.9690	0.9320	0.2002	0.2072	0.9742	0.8592	0.8592
698.0	0.9678	0.9344	0.2098	0.1794	0.9742	0.8546	0.8546
708.0	0.9660	0.9355	0.2160	0.1718	0.9733	0.8500	0.8500
718.0	0.9648	0.9359	0.2203	0.1717	0.9718	0.8453	0.8453
728.0	0.9636	0.9353	0.2202	0.1717	0.9718	0.8404	0.8404
738.0	0.9623	0.9347	0.2247	0.2302	0.9713	0.8358	0.8358
748.0	0.9610	0.9340	0.2245	0.2315	0.9637	0.8358	0.8358
758.0	0.9596	0.9344	0.2593	0.2467	0.9670	0.8378	0.8378
768.0	0.9580	0.9348	0.2705	0.2795	0.9553	0.8258	0.8258
778.0	0.9563	0.9352	0.2922	0.2718	0.9335	0.8209	0.8209
788.0	0.9542	0.9357	0.2918	0.2718	0.9616	0.8158	0.8158
798.0	0.9520	0.9354	0.2945	0.2945	0.9537	0.8109	0.8109
808.0	0.9500	0.9354	0.3073	0.2927	0.9577	0.8055	0.8055
818.0	0.9479	0.9355	0.3209	0.2791	0.9577	0.8003	0.8003
828.0	0.9455	0.9355	0.3209	0.2791	0.9577	0.7950	0.7950
838.0	0.9425	0.9355	0.3202	0.2664	0.9515	0.7897	0.7897
848.0	0.9402	0.9358	0.3202	0.2647	0.9512	0.7897	0.7897
858.0	0.9381	0.9363	0.3202	0.2647	0.9512	0.7897	0.7897
868.0	0.9351	0.9363	0.3202	0.2647	0.9512	0.7897	0.7897

TC	N1	N2	A1	A2
810.-0	C. 9012 0. 9921	0. 9983 0. 9379	0. 3934 0. 4917	0. 6166 0. 5783
836.-0	0. 9520	0. 1180	0. 4216 0. 4433	0. 784 0. 567
840.-0	0. 8702	0. 1298	0. 4567 0. 4677	0. 7734 0. 7768
850.-0	0. 8568	0. 1432	0. 4965 0. 4977	0. 7620 0. 7565
860.-0	0. 8395	0. 1575	0. 5325 0. 5267	0. 7507 0. 7507
870.-0	0. 8195	0. 1815	0. 5723 0. 5723	0. 9332 0. 9332
890.-0	0. 7901	0. 2099	0. 6329 0. 6303	0. 9393 0. 9393
990.-0	0. 7412	0. 5388	0. 3697 0. 3697	0. 7390 0. 7390

PONTOS NA LINHA LÍQUIDOS

LADO ESQUERDO SUPERIOR

TC	N1	N2	A1	A2
410.-38	0. 9997E-00	0. 301E-03	0. 0937E-00	0. 7265E-01
419.-22	0. 9994E-00	0. 6000E-03	0. 9944E-00	0. 1459E-00
419.-06	0. 9991E-00	0. 9000E-03	0. 9941E-00	0. 2112E-00
419.-00	0. 9988E-00	0. 1200E-02	0. 9941E-00	0. 2112E-00
418.-75	0. 9985E-00	0. 1500E-02	0. 3945E-00	0. 3945E-00
418.-59	0. 9982E-00	0. 1800E-02	0. 8432E-00	0. 4750E-00
418.-44	0. 9979E-00	0. 2100E-02	0. 9575E-00	0. 4721E-00
418.-29	0. 9976E-00	0. 2400E-02	0. 9977E-00	0. 5515E-00
418.-14	0. 9973E-00	0. 2700E-02	0. 9974E-00	0. 5215E-00
417.-99	0. 9970E-00	0. 3000E-02	0. 9971E-00	0. 6581E-00
417.-44	0. 9967E-00	0. 3300E-02	0. 9969E-00	0. 7314E-00

LADO ESQUERDO INFERIOR

TC	N1	N2	A1	A2
420.-33	0. 6600E-01	0. 934E-00	0. 161E-01	0. 9439E-00
419.-77	0. 5400E-01	0. 940E-00	0. 394E-00	0. 3224E-00
405.-18	0. 5400E-01	0. 9440E-00	0. 9712E-00	0. 9229E-00
391.-45	0. 4200E-01	0. 950E-00	0. 4431E-00	0. 9576E-00
377.-10	0. 4200E-01	0. 9550E-00	0. 9431E-00	0. 9635E-00
363.-49	0. 3600E-01	0. 960E-00	0. 8974E-00	0. 9614E-00
341.-50	0. 3600E-01	0. 970E-00	0. 9470E-00	0. 9725E-00
319.-27	0. 2600E-01	0. 970E-00	0. 8949E-00	0. 9777E-00
292.-27	0. 1800E-01	0. 980E-00	0. 7493E-00	0. 9830E-00

LADO DIREITO

TC	N1	N2	A1	A2
326.-50	0. 1500E-02	0. 955E-00	0. 5459E-01	0. 9944E-00
326.-57	0. 3000E-02	0. 997E-00	0. 1019E-00	0. 9970E-00
326.-65	0. 4500E-02	0. 9975E-00	0. 1632E-00	0. 9956E-00
322.-74	0. 6000E-02	0. 994E-00	0. 2170E-00	0. 9941E-00
322.-44	0. 7500E-02	0. 9925E-00	0. 2705E-00	0. 9927E-00
321.-96	0. 9000E-02	0. 9915E-00	0. 3323E-00	0. 9912E-00
321.-07	0. 1050E-01	0. 945E-00	0. 3764E-00	0. 9439E-00
320.-70	0. 1200E-01	0. 9980E-00	0. 4298E-00	0. 9446E-00
319.-16	0. 1150E-01	0. 987E-00	0. 4594E-00	0. 9440E-00
319.-49	0. 1500E-01	0. 989E-00	0. 3275E-00	0. 9837E-00
317.-65	0. 1650E-01	0. 9415E-00	0. 5463E-00	0. 9843E-00



PONTOS PRINCIPAIS DO DIAGRAMA

	TC	N1	N2	TC	N1	N2	TC	N1	N2	DIFERENCA PERCENTUAL
PONTO CRÍTICO	893.1	0.681E 00	0.319E 00	798.0	0.720E 00	0.280E 00	11.02	-5.43	13.96	
MONDÉTICO ESQUERDO	417.6	0.996E 00	0.430E-02	417.8	0.997E 00	0.300E-02	-0.05	-0.13	43.29	
MONDÉTICO DIREITO	417.7	0.602E-01	0.240E 00	417.8	0.400E-01	0.940E 00	-0.03	0.29	-0.02	
EUTÉTICO	314.2	0.228E-01	0.977E 00	318.2	0.160E-01	0.984E 00	-1.27	42.70	-0.69	

TERMODINÂMICA

TEMPERATURA = 926.0GRAUS KELVIN

ATIVIDADES E COEFICIENTES DE ATIVIDADE DO METAL 1

ESTE TRABALHO			LITERATURA			DIFERENCA PERCENTUAL		
N1	A1	GAMA1	N1	A1	GAMA1	N1	A1	GAMA1
0.100	0.674	6.738	0.100	0.613	6.327	0.100	6.45	6.50
0.200	0.988	9.939	0.200	0.957	9.783	0.200	3.22	3.26
0.300	1.108	11.692	0.300	1.097	11.655	0.300	1.02	
0.400	1.129	12.822	0.400	1.129	12.823	0.400	-0.02	-0.04
0.500	1.104	12.209	0.500	1.112	12.223	0.500	-0.68	-0.64
0.600	1.063	11.772	0.600	1.064	11.774	0.600	-0.09	-0.12
0.700	1.019	11.456	0.700	1.016	11.451	0.700	0.33	0.35
0.800	0.982	11.227	0.800	0.975	11.219	0.800	0.68	0.66
0.900	0.942	11.069	0.900	0.958	11.064	0.900	0.42	0.46

ATIVIDADES E COEFICIENTES DE ATIVIDADE DO METAL 2

ESTE TRABALHO			LITERATURA			DIFERENCA PERCENTUAL		
N1	A2	GAMA2	N1	A2	GAMA2	N1	A2	GAMA2
0.100	0.916	1.018	0.100	0.914	1.016	0.100	0.29	0.15
0.200	0.860	1.075	0.200	0.854	1.067	0.200	0.71	0.76
0.300	0.829	1.185	0.300	0.818	1.168	0.300	1.40	1.45
0.400	0.822	1.170	0.400	0.805	1.341	0.400	2.11	2.16
0.500	0.837	1.167	0.500	0.819	1.635	0.500	2.38	2.44
0.600	0.878	2.195	0.600	0.851	2.152	0.600	1.98	2.01
0.700	0.900	3.167	0.700	0.942	3.139	0.700	0.95	0.98
0.800	1.065	5.323	0.800	1.066	5.332	0.800	-0.13	-0.17
0.900	1.186	11.880	0.900	1.169	11.692	0.900	1.46	1.44

ENTALPIAS E ENTROPIAS PARCIAIS MOLARES DO METAL 1

ESTE TRABALHO			LITERATURA			DIFERENCA PERCENTUAL		
N1	DH1	DS1	N1	DH1	DS1	N1	DH1	DS1
0.100	3901.	4.998	0.100	5110.	6.320	0.100	-22.13	-20.92
0.200	3213.	3.516	0.200	4250.	4.720	0.200	-24.64	-25.51
0.300	2630.	2.638	0.300	3676.	3.710	0.300	-27.03	-26.91
0.400	2097.	2.024	0.400	2955.	2.950	0.400	-29.05	-31.41
0.500	1629.	1.562	0.500	2300.	2.320	0.500	-30.40	-32.69
0.600	1217.	1.193	0.600	1760.	1.770	0.600	-30.93	-32.59
0.700	867.	0.876	0.700	1140.	1.200	0.700	-25.72	-26.97
0.800	499.	0.575	0.800	595.	0.690	0.800	-16.18	-16.61
0.900	179.	0.270	0.900	180.	0.280	0.900	-0.52	-3.66

ENTALPIAS E ENTROPIAS PARCIAIS MOLARES DO METAL 2

ESTE TRABALHO			LITERATURA			DIFERENCA PERCENTUAL		
N1	DH2	DS2	N1	DH2	DS2	N1	DH2	DS2
0.100	39.	0.216	0.100	40.	0.220	0.100	-3.57	-1.63
0.200	157.	0.469	0.200	165.	0.490	0.200	-5.01	-4.34
0.300	354.	0.758	0.300	395.	0.830	0.300	-9.54	-8.59

ATIVIDADES E COEFICIENTES DE ATIVIDADE DO METAL 1		LITERATURA		DIFERENCA PERCENTUAL	
ESTE TRABALHO	GAMAI	ESTE TRABALHO	GAMAI	ESTE TRABALHO	GAMAI
M1	N1	M1	N1	M1	N1
0.400	646.	1.097	0.460	1.260	0.460
0.300	1.029.	1.664	0.500	1.755	1.755
0.400	1.533.	1.914	0.600	2.420	2.420
0.300	2.272.	2.507	0.700	3.520	3.520
0.400	3.288.	3.426	0.800	5.220	5.220
0.300	5146.	5.240	0.900	770.	770.
TTEMPERATURA = 923.0 GRAUS KELVIN					
ATIVIDADES E COEFICIENTES DE ATIVIDADE DO METAL 2		LITERATURA		DIFERENCA PERCENTUAL	
ESTE TRABALHO	GAMAI	ESTE TRABALHO	GAMAI	ESTE TRABALHO	GAMAI
M1	A1	M1	A1	M1	A1
0.160	0.678	6.785	0.160	0.627	6.273
0.200	0.993	4.967	0.200	0.962	4.709
0.300	1.113	3.710	0.300	0.978	3.250
0.400	1.133	2.832	0.400	0.978	2.445
0.500	1.108	2.215	0.500	0.978	1.956
0.600	1.065	1.776	0.600	0.978	1.630
0.700	1.021	1.458	0.700	0.978	1.397
0.800	0.983	1.228	0.800	0.978	1.223
0.900	0.962	1.069	0.900	0.978	1.087
ENTALPIAS E ENTROPIAS PARCIAIS DE MARES DO METAL 1		LITERATURA		DIFERENCA PERCENTUAL	
ESTE TRABALHO	GAMAI	ESTE TRABALHO	GAMAI	ESTE TRABALHO	GAMAI
M1	N1	M1	N1	M1	N1
0.100	0.916	1.018	0.100	0.913	1.014
0.200	0.860	1.075	0.200	0.954	1.067
0.300	0.830	1.186	0.300	0.967	1.267
0.400	0.823	1.172	0.400	0.965	1.140
0.500	0.839	1.679	0.500	0.965	1.690
0.600	0.860	2.201	0.600	0.965	2.113
0.700	0.870	2.054	0.700	0.965	2.017
0.800	0.871	1.556	0.800	0.965	1.525
0.900	0.900	1.197	0.900	0.965	1.197
ENTALPIAS E ENTROPIAS PARCIAIS DE MARES DO METAL 2		LITERATURA		DIFERENCA PERCENTUAL	
ESTE TRABALHO	GAMAI	ESTE TRABALHO	GAMAI	ESTE TRABALHO	GAMAI
M1	N1	M1	N1	M1	N1
0.100	3961.	4.907	0.100	4.293*	5.577
0.200	3232.	3.915	0.200	3.712*	4.161
0.300	2629.	2.636	0.300	3.208*	3.519
0.400	2195.	2.722	0.400	2.710*	3.01
0.500	1.624.	1.566	0.500	2.252*	2.484
0.600	1.217.	1.193	0.600	1.176*	1.463
0.700	0.876.	0.876	0.700	1.237*	1.463
0.800	0.856	0.933	0.800	0.819	0.931
0.900	0.900	1.79*	0.900	0.941*	0.950
ENTALPIAS E ENTROPIAS PARCIAIS DE MARES DO METAL 2		LITERATURA		DIFERENCA PERCENTUAL	
ESTE TRABALHO	GAMAI	ESTE TRABALHO	GAMAI	ESTE TRABALHO	GAMAI
M1	N1	M1	N1	M1	N1
0.100	396.	0.216	0.100	0.200	0.213
0.200	157.	0.469	0.200	1.37*	0.452
0.300	354.	0.754	0.300	3.92*	1.116
0.400	646.	1.687.	0.400	1.086*	1.463
0.500	1.629.	1.666	0.500	1.781*	2.621
0.600	1.153.	1.914	0.600	2.570*	3.374
0.700	0.720.	2.226.	0.700	3.170*	4.126
0.800	0.860	3.285.	0.800	3.965	4.879
0.900	0.900	5.164.	0.900	4.560*	5.631

APÊNDICE VIII

RESULTADOS FORNECIDOS PELO ALGORITMO, PARA O SISTEMA
Zn-Pb, UTILIZANDO-SE DADOS EXPERIMENTAIS DE CAFASSO

et alii⁽¹³⁾

©

SISTEMA ZINCO - CHUMBO

METAL 1 = ZINCO

METAL 2 = CHUMBO

PONTOS EXPERIMENTAIS NO MG CONSIDERADOS DE CARASSO ET ALII

CONSTANTES DA EQUAÇÃO DE LUMSDEN
 EPSIL = 9837.91
 SIGMA = 5.38
 FI = -0.96
 ZETA = -416.29

PONTOS NO MISCELLITY GAP	TC	N1E	N2E	N1D	N2D	A1	A2
400.0	0.9979	0.0021	0.0092	0.9718	0.9949	0.9743	
410.0	0.9976	0.0024	0.0310	0.9690	0.9977	0.9720	
420.0	0.9973	0.0027	0.0740	0.9660	0.9974	0.9695	
430.0	0.9969	0.0031	0.0372	0.9628	0.9970	0.9667	
440.0	0.9965	0.0035	0.0406	0.9594	0.9967	0.9640	
450.0	0.9960	0.0040	0.0443	0.9557	0.9963	0.9609	
460.0	0.9955	0.0045	0.0482	0.9518	0.9958	0.9580	
470.0	0.9950	0.0050	0.0524	0.9476	0.9953	0.9547	
480.0	0.9943	0.0057	0.0569	0.9431	0.9948	0.9512	
490.0	0.9937	0.0063	0.0617	0.9383	0.9942	0.9475	
500.0	0.9929	0.0071	0.0668	0.9332	0.9936	0.9438	
510.0	0.9921	0.0079	0.0723	0.9277	0.9929	0.9397	
520.0	0.9912	0.0089	0.0781	0.9219	0.9922	0.9353	
530.0	0.9903	0.0097	0.0842	0.9158	0.9914	0.9311	
540.0	0.9892	0.0108	0.0908	0.9092	0.9905	0.9265	
550.0	0.9880	0.0120	0.0978	0.9022	0.9896	0.9217	
560.0	0.9869	0.0132	0.1052	0.8948	0.9886	0.9187	
570.0	0.9854	0.0146	0.1131	0.8869	0.9876	0.9113	
580.0	0.9839	0.0151	0.1214	0.8786	0.9865	0.9060	
590.0	0.9822	0.0178	0.1304	0.8696	0.9853	0.9002	
600.0	0.9804	0.0196	0.1398	0.8602	0.9840	0.8963	
610.0	0.9784	0.0216	0.1499	0.8501	0.9827	0.8984	
620.0	0.9763	0.0237	0.1606	0.8394	0.9813	0.8920	
630.0	0.9739	0.0261	0.1719	0.8261	0.9798	0.8751	
640.0	0.9713	0.0287	0.1840	0.8160	0.9791	0.8685	
650.0	0.9695	0.0315	0.1969	0.8031	0.9765	0.8611	
660.0	0.9654	0.0346	0.2106	0.7894	0.9747	0.8539	
670.0	0.9619	0.0381	0.2252	0.7748	0.9728	0.8464	
680.0	0.9599	0.0420	0.2407	0.7593	0.9707	0.8387	
690.0	0.9539	0.0461	0.2574	0.7426	0.9686	0.8304	
700.0	0.9491	0.0509	0.2752	0.7244	0.9664	0.8221	
710.0	0.9438	0.0562	0.2943	0.7057	0.9640	0.8136	
720.0	0.9380	0.0620	0.3149	0.6851	0.9616	0.8045	
730.0	0.9311	0.0689	0.3370	0.6630	0.9590	0.7955	
740.0	0.9235	0.0755	0.3611	0.6389	0.9563	0.7860	
750.0	0.9148	0.0852	0.3874	0.6126	0.9535	0.7760	
760.0	0.9043	0.0957	0.4161	0.5839	0.9504	0.7661	
770.0	0.8918	0.1082	0.4461	0.5519	0.9473	0.7558	
780.0	0.8763	0.1237	0.4840	0.5160	0.9440	0.7452	
790.0	0.8572	0.1428	0.5204	0.4736	0.9406	0.7341	
800.0	0.8284	0.1716	0.5771	0.4229	0.9369	0.7231	
810.0	0.7799	0.2201	0.6559	0.3441	0.9331	0.7114	

PONTOS NA LINHA LIQUIDUS

LADO ESQUERDO SUPERIOR

TC	N1	N2	A1	A2
419.38	0.9997E 00	0.3000E-03	0.9997E 00	0.1159E 00
419.22	0.9994E 00	0.6000E-03	0.9994E 00	0.2298E 00
419.56	0.9991E 00	0.9000E-03	0.9991E 00	0.3420E 00
418.90	0.9988E 00	0.1200E-02	0.9988E 00	0.4523E 00
418.75	0.9985E 00	0.1500E-02	0.9985E 00	0.5519E 00
418.60	0.9982E 00	0.1800E-02	0.9983E 00	0.6578E 00
418.45	0.9979E 00	0.2100E-02	0.9980E 00	0.7729E 00
418.30	0.9976E 00	0.2400E-02	0.9977E 00	0.8792E 00
418.15	0.9973E 00	0.2700E-02	0.9974E 00	0.9779E 00
418.00	0.9970E 00	0.3000E-02	0.9971E 00	0.1078E 01
417.85	0.9967E 00	0.3300E-02	0.9969E 00	0.1176E 01

LADO ESQUERDO INFERIOR

TC	N1	N2	A1	A2
425.43	0.3630E-01	0.9637E 00	0.1011E 01	0.9677E 00
417.12	0.3300E-01	0.9670E 00	0.9955E 00	0.9704E 00
408.06	0.2970E-01	0.9703E 00	0.9786E 00	0.9731E 00
398.08	0.2640E-01	0.9733E 00	0.9598E 00	0.9759E 00
386.97	0.2310E-01	0.9763E 00	0.9387E 00	0.9787E 00
374.44	0.1980E-01	0.9802E 00	0.9144E 00	0.9816E 00
360.01	0.1650E-01	0.9835E 00	0.8864E 00	0.9545E 00
342.97	0.1320E-01	0.9864E 00	0.8527E 00	0.9775E 00
321.99	0.9905E-02	0.9901E 00	0.8104E 00	0.9505E 00
294.30	0.6600E-02	0.9934E 00	0.7535E 00	0.9536E 00

LADO DIREITO

TC	N1	N2	A1	A2
326.50	0.1500E-02	0.9985E 00	0.1257E 00	0.9985E 00
325.58	0.3000E-02	0.9971E 00	0.2508E 00	0.9970E 00
324.57	0.4500E-02	0.9955E 00	0.3750E 00	0.9956E 00
323.77	0.6000E-02	0.9940E 00	0.4983E 00	0.9942E 00
322.89	0.7500E-02	0.9925E 00	0.6207E 00	0.9927E 00
322.02	0.9000E-02	0.9910E 00	0.7421E 00	0.9913E 00
321.17	0.1050E-01	0.9895E 00	0.8625E 00	0.9900E 00
320.32	0.1200E-01	0.9881E 00	0.9819E 00	0.9886E 00
319.49	0.1350E-01	0.9865E 00	0.1100E 01	0.9873E 00
318.68	0.1500E-01	0.9850E 00	0.1217E 01	0.9866E 00
317.88	0.1650E-01	0.9835E 00	0.1333E 01	0.9847E 00

PONTOS PRINCIPAIS DO DIAGRAMA

PONTO CRITICO	ESTE TRABALHO			LITERATURA			DIFERENCA PERCENTUAL		
	TC	N1	N2	TC	N1	N2	TC	N1	N2
PONTO CRITICO	813.1	0.726E 00	0.274E 00	798.0	0.720E 00	0.280E 00	1.89	0.79	-2.04
MONOTETICO ESQUERDO	418.1	0.997E 00	0.272E-02	417.8	0.997E 00	0.300E-02	0.09	0.03	-9.43
MONOTETICO DIREITO	418.6	0.335E-01	0.966E 00	417.8	0.600E-01	0.940E 00	0.19	-44.11	2.82
EUTETICO	321.5	0.995E-02	0.990E 00	319.2	0.160E-01	0.984E 00	1.03	-37.79	0.61

TERMODINAMICA
TEMPERATURA = 926.0 GRAUS KELVIN

ATIVIDADES E COEFICIENTES DE ATIVIDADE DO METAL 1					
ESTE TRABALHO			LITERATURA		
N1	A1	GAMA1	N1	A1	GAMA1
0.100	0.664	6.636	0.100	0.633	6.327
0.200	0.975	4.873	0.200	0.957	4.783
0.300	1.095	3.650	0.300	1.097	3.655
0.400	1.118	2.794	0.400	1.129	2.823
0.500	1.095	2.191	0.500	1.112	2.223
0.600	1.056	1.761	0.600	1.064	1.774
0.700	1.015	1.450	0.700	1.016	1.451
0.800	0.979	1.224	0.800	0.975	1.219
0.900	0.961	1.068	0.900	0.958	1.064

DIFERENCA PERCENTUAL		
N1	A1	GAMA1
0.100	4.83	4.88
0.200	1.84	1.89
0.300	-0.19	-0.15
0.400	-1.00	-1.02
0.500	-1.49	-1.44
0.600	-0.72	-0.76
0.700	-0.12	-0.09
0.800	0.41	0.39
0.900	0.32	0.36

ATIVIDADES E COEFICIENTES DE ATIVIDADE DO METAL 2					
ESTE TRABALHO			LITERATURA		
N1	A2	GAMA2	N1	A2	GAMA2
0.100	0.916	1.017	0.100	0.914	1.016
0.200	0.860	1.075	0.200	0.854	1.067
0.300	0.829	1.194	0.300	0.818	1.168
0.400	0.820	1.367	0.400	0.805	1.341
0.500	0.835	1.669	0.500	0.818	1.635
0.600	0.873	2.183	0.600	0.861	2.152
0.700	0.942	3.139	0.700	0.942	3.139
0.800	1.049	5.246	0.800	1.066	5.332
0.900	1.157	11.570	0.900	1.169	11.592

DIFERENCA PERCENTUAL		
N1	A2	GAMA2
0.100	0.19	0.14
0.200	0.67	0.72
0.300	1.29	1.34
0.400	1.91	1.96
0.500	2.03	2.09
0.600	1.600	1.41
0.700	-0.45	-0.02
0.800	-1.58	-1.62
0.900	-1.03	-1.05

ENTALPIAS E ENTROPIAS PARCIAIS MOLARES DO METAL 1					
ESTE TRABALHO			LITERATURA		
N1	DH1	DS1	N1	DH1	DS1
0.100	6137.	7.442	0.100	5010.	6.320
0.200	4499.	5.342	0.200	4290.	4.720
0.300	3817.	3.943	0.300	3605.	3.710
0.400	2899.	2.911	0.400	2955.	2.950
0.500	2144.	2.134	0.500	2340.	2.320
0.600	1534.	1.548	0.600	1760.	1.770
0.700	1036.	1.090	0.700	1140.	1.200
0.800	605.	0.695	0.800	595.	0.690
0.900	219.	0.315	0.900	180.	0.260

DIFERENCA PERCENTUAL		
N1	DH1	DS1
0.100	22.49	17.76
0.200	14.19	13.18
0.300	5.88	6.27
0.400	-1.88	-1.34
0.500	-8.39	-8.01
0.600	-12.46	-12.56
0.700	-9.13	-9.19
0.800	1.68	0.78
0.900	21.56	12.54

ENTALPIAS E ENTROPIAS PARCIAIS MOLARES DO METAL 2					
ESTE TRABALHO			LITERATURA		
N1	DH2	DS2	N1	DH2	DS2
0.100	73.	0.254	0.100	40.	0.220
0.200	291.	0.615	0.200	163.	0.490
0.300	652.	1.077	0.300	395.	0.330
0.400	1145.	1.630	0.400	745.	1.240
0.500	1763.	2.263	0.500	1255.	1.750
0.600	2509.	2.979	0.600	1965.	2.420
0.700	3437.	3.832	0.700	3150.	3.520
0.800	4747.	5.032	0.800	4950.	5.220
0.900	7013.	7.285	0.900	7700.	8.000

DIFERENCA PERCENTUAL		
N1	DH2	DS2
0.100	81.89	15.23
0.200	76.47	25.45
0.300	64.94	29.77
0.400	53.72	31.46
0.500	40.47	29.32
0.600	27.66	23.09
0.700	9.10	8.86
0.800	-4.10	-3.60
0.900	-8.93	-8.94

TEMPERATURA = 923.0 GRAUS KELVIN

ATIVIDADES E COEFICIENTES DE ATIVIDADE DO METAL 1

ESTE TRABALHO		LITERATURA		DIFERENCA PERCENTUAL	
N1	A1	GAMA1	N1	GAMA1	N1
0.100	0.071	6.708	0.100	0.627	0.100
0.200	0.083	4.916	0.200	0.942	4.37
0.300	1.402	3.676	0.300	0.978	3.29
0.400	1.423	2.810	0.400	0.978	12.71
0.500	1.400	2.199	0.500	0.978	1.487
0.600	1.059	1.765	0.600	0.956	1.444
0.700	1.017	1.452	0.700	0.978	8.31
0.800	0.960	1.225	0.800	0.978	3.96
0.900	0.961	1.068	0.900	0.978	0.17
					-1.72

ATIVIDADES E COEFICIENTES DE ATIVIDADE DO METAL 2

ESTE TRABALHO		LITERATURA		DIFERENCA PERCENTUAL	
N1	A2	GAMA2	N1	GAMA2	N1
0.100	0.016	1.018	0.100	0.106	0.31
0.200	0.069	1.075	0.200	0.854	0.77
0.300	0.430	1.185	0.300	0.945	-1.62
0.400	0.322	1.370	0.400	0.845	-2.72
0.500	0.337	1.674	0.500	0.845	-0.92
0.600	0.817	2.193	0.600	0.645	3.79
0.700	0.507	3.158	0.700	0.845	12.09
0.800	1.458	5.290	0.800	0.845	25.21
0.900	1.111	11.114	0.900	0.845	36.63

ENTALPIAS E ENTROPIAS PARCIAIS MOLARES DO METAL 1

ESTE TRABALHO		LITERATURA		DIFERENCA PERCENTUAL	
N1	DH1	N1	DH1	N1	N1
0.100	6.134*	7.439	0.100	5.577	0.100
0.200	4.994*	5.337	0.200	4.141	0.200
0.300	3.912*	3.930	0.300	3.519	0.300
0.400	2.894*	2.905	0.400	2.730	0.400
0.500	2.139*	2.129	0.500	2.252*	0.500
0.600	1.511*	1.545	0.600	1.775*	0.600
0.700	1.035*	1.088	0.700	1.297*	1.469
0.800	6.895*	6.995	0.800	8.19*	0.800
0.900	2.976	2.19*	0.900	3.41*	0.900
					-25.72

ENTALPIAS E ENTROPIAS PARCIAIS MOLARES DO METAL 2

ESTE TRABALHO		LITERATURA		DIFERENCA PERCENTUAL	
N1	DH2	N1	DH2	N1	N1
0.100	73*	0.254	0.100	0.213	0.100
0.200	292*	0.615	0.200	1.32*	0.200
0.300	652*	1.078	0.300	3.92*	0.300
0.400	1146*	1.631	0.400	1.096*	0.400
0.500	1763*	2.263	0.500	1.781*	0.500
0.600	2306*	2.977	0.600	2.476*	0.600
0.700	3431*	3.526	0.700	3.170*	0.700
0.800	4738*	5.022	0.800	3.865*	0.800
0.900	7002*	7.273	0.900	4.960*	0.900
					-29.17

142.

APÊNDICE IX

RESULTADOS FORNECIDOS PELO ALGORITMO, PARA O SISTEMA
Zn-Pb, UTILIZANDO-SE DADOS EXPERIMENTAIS DE SPRING
& ROMANOFF⁽¹⁴⁾

SISTEMA ZINCO - CHUMBO
METAL 1 = ZINCO

METAL 2 = CHUMBO

PONTOS EXPERIMENTAIS NO MG CONSIDERADOS DE SPRING-ROMANOFF

CONSTANTES DA EQUAÇÃO DE LUNSDEN

$$\epsilon_{\text{PSIL}} = 401.70$$

$$\sigma_{\text{SIGMA}} = -0.05$$

$$F_1 = 0.97$$

$$T_{\text{FA}} = 3007.17$$

PONTOS NO MISCELLIUS GAP

TC	N1E	N1F	N2D	A1	A2
4.60.0	0.9592	0.9538	0.903	0.967	0.950
4.10.0	0.9559	0.961	0.972	0.928	0.956
4.20.0	0.9555	0.949	0.942	0.958	0.929
4.30.0	0.9551	0.949	0.912	0.948	0.955
4.40.0	0.9547	0.953	0.916	0.951	0.919
4.50.0	0.9542	0.958	0.925	0.947	0.927
4.60.0	0.9537	0.953	0.930	0.943	0.905
4.70.0	0.9532	0.958	0.940	0.939	0.904
4.80.0	0.9527	0.953	0.948	0.920	0.935
4.90.0	0.9522	0.957	0.955	0.944	0.941
5.00.0	0.9516	0.954	0.962	0.956	0.926
5.10.0	0.9510	0.957	0.970	0.951	0.937
5.20.0	0.9503	0.957	0.978	0.951	0.916
5.30.0	0.9496	0.954	0.968	0.913	0.774
5.40.0	0.9490	0.951	0.948	0.905	0.762
5.50.0	0.9481	0.959	0.929	0.871	0.763
5.60.0	0.9473	0.951	0.911	0.899	0.759
5.70.0	0.9465	0.947	0.904	0.893	0.752
5.80.0	0.9456	0.944	0.897	0.866	0.747
5.90.0	0.9447	0.943	0.882	0.827	0.742
6.00.0	0.9437	0.943	0.862	0.832	0.737
6.10.0	0.9427	0.941	0.847	0.852	0.730
6.20.0	0.9416	0.944	0.820	0.856	0.726
6.30.0	0.9405	0.945	0.798	0.846	0.717
6.40.0	0.9393	0.947	0.776	0.839	0.715
6.50.0	0.9380	0.944	0.757	0.803	0.715
6.60.0	0.9368	0.942	0.737	0.723	0.715
6.70.0	0.9357	0.943	0.717	0.692	0.706
6.80.0	0.9345	0.943	0.697	0.658	0.698
6.90.0	0.9335	0.943	0.677	0.672	0.682
7.00.0	0.9326	0.943	0.657	0.657	0.670
7.10.0	0.9316	0.943	0.637	0.637	0.660
7.20.0	0.9307	0.943	0.617	0.617	0.654
7.30.0	0.9295	0.943	0.597	0.597	0.640
7.40.0	0.9285	0.943	0.577	0.577	0.630
7.50.0	0.9275	0.943	0.557	0.557	0.620
7.60.0	0.9264	0.943	0.537	0.537	0.610
7.70.0	0.9254	0.943	0.517	0.517	0.607
7.80.0	0.9243	0.943	0.497	0.497	0.604
7.90.0	0.9232	0.943	0.477	0.477	0.602
8.00.0	0.9221	0.943	0.457	0.457	0.601
8.10.0	0.9210	0.943	0.437	0.437	0.600
8.20.0	0.9199	0.943	0.417	0.417	0.599
8.30.0	0.9187	0.943	0.397	0.397	0.598
8.40.0	0.9175	0.943	0.377	0.377	0.597
8.50.0	0.9163	0.943	0.357	0.357	0.596
8.60.0	0.9153	0.943	0.337	0.337	0.595
8.70.0	0.9142	0.943	0.317	0.317	0.594
8.80.0	0.9131	0.943	0.297	0.297	0.593
8.90.0	0.9120	0.943	0.277	0.277	0.592
9.00.0	0.9109	0.943	0.257	0.257	0.591
9.10.0	0.9098	0.943	0.237	0.237	0.590
9.20.0	0.9087	0.943	0.217	0.217	0.589
9.30.0	0.9076	0.943	0.197	0.197	0.588
9.40.0	0.9065	0.943	0.177	0.177	0.587
9.50.0	0.9054	0.943	0.157	0.157	0.586
9.60.0	0.9043	0.943	0.137	0.137	0.585
9.70.0	0.9032	0.943	0.117	0.117	0.584
9.80.0	0.9021	0.943	0.097	0.097	0.583
9.90.0	0.9010	0.943	0.077	0.077	0.582
10.00.0	0.9000	0.943	0.057	0.057	0.581



PONTOS NA LINHA LÍQUIDA

	TC	N1	N2	A1	A2
816.0	0.9420	0.8510	0.5382	0.4618	0.6353
816.0	0.9659	0.8549	0.5463	0.4507	0.6305
820.0	0.9427	0.8573	0.5669	0.4391	0.6254
820.0	0.9393	0.8617	0.5727	0.4275	0.6204
830.0	0.9355	0.8545	0.5847	0.4153	0.6156
830.0	0.9314	0.8686	0.5971	0.4029	0.6107
850.0	0.9271	0.8729	0.6059	0.3901	0.6058
860.0	0.9222	0.8778	0.6221	0.3769	0.6009
870.0	0.9111	0.8928	0.6311	0.3629	0.5956
870.0	0.9109	0.8491	0.6513	0.4487	0.5912
880.0	0.9046	0.8954	0.6668	0.3332	0.5863
910.0	0.8959	0.1031	0.6831	0.3169	0.5815
920.0	0.8976	0.1124	0.7007	0.2993	0.5767
930.0	0.8761	0.1239	0.7202	0.2798	0.5720
940.0	0.8611	0.1389	0.7440	0.2560	0.5672
950.0	0.8360	0.1640	0.7192	0.2208	0.5625

LADO ESQUERDO SUPERIOR

TC	N1	N2	A1	A2
410.38	0.9997E-00	0.3005E-03	0.9997E-00	0.6314E-01
410.38	0.9744E-00	0.6005E-03	0.9997E-00	0.1576E-00
410.38	0.9744E-00	0.9005E-03	0.9997E-00	0.1576E-00
418.90	0.9989E-00	0.1205E-02	0.9998E-00	0.2474E-00
418.90	0.9985E-00	0.1505E-02	0.9985E-00	0.3662E-00
418.75	0.9985E-00	0.1505E-02	0.9985E-00	0.3662E-00
418.60	0.9982E-00	0.1605E-02	0.9993E-00	0.3644E-00
418.60	0.9982E-00	0.2105E-02	0.9993E-00	0.4271E-00
418.44	0.9979E-00	0.2405E-02	0.9977E-00	0.4778E-00
418.29	0.9976E-00	0.2705E-02	0.9974E-00	0.5330E-00
418.15	0.9973E-00	0.3005E-02	0.9971E-00	0.5873E-00
418.00	0.9971E-00	0.3305E-02	0.9969E-00	0.6406E-00
417.85	0.9967E-00	0.33005E-02	0.9967E-00	0.6406E-00

LADO ESQUERDO INFERIOR

TC	N1	N2	A1	A2
417.48	0.2222E-00	0.7734E-00	0.1022E-01	0.8174E-00
417.11	0.2222E-00	0.7650E-00	0.9955E-00	0.8174E-00
400.83	0.1819E-00	0.8122E-00	0.9550E-00	0.8058E-00
382.84	0.1616E-00	0.8344E-00	0.9364E-00	0.8067E-00
362.86	0.1414E-00	0.8556E-00	0.9202E-00	0.8760E-00
344.51	0.1212E-00	0.8798E-00	0.9478E-00	0.9035E-00
315.22	0.1010E-00	0.8800E-00	0.7966E-00	0.9035E-00

LADO DIREITO

TC	N1	N2	A1	A2
370.50	0.1500E-02	0.9955E-00	0.1327E-01	0.9855E-00
325.56	0.4500E-02	0.9900E-00	0.2744E-01	0.9700E-00
324.63	0.4500E-02	0.9955E-00	0.4217E-01	0.9550E-00
324.70	0.6700E-02	0.9900E-00	0.4949E-01	0.9949E-00
322.78	0.7500E-02	0.9955E-00	0.6761E-01	0.9761E-00
321.85	0.9600E-02	0.9900E-00	0.2556E-01	0.9900E-00
320.94	0.1050E-01	0.9850E-00	0.9634E-01	0.9996E-00
320.03	0.1200E-01	0.9800E-00	0.1102E-01	0.9921E-00
310.12	0.1500E-01	0.9850E-00	0.1244E-01	0.9467E-00
310.21	0.1500E-01	0.9850E-00	0.1378E-01	0.9827E-00
317.31	0.1650E-01	0.9850E-00	0.1517E-01	0.9938E-00

PONTOS PRINCIPAIS DO DIAGRAMA

	ESTE TRABALHO	LITERATURA	DIFERENCA PERCENTUAL
TC N1	TC N2	TC N1	TC N2
PONTO CRITICO	952.6	956.00	-0.37%
MONTETICO FUGUERDO	417.2	406.00	3.24%
MONTETICO DIRETIO	417.5	402.00	3.87%
EUTERICO	219.7	214.00	2.38%

TERMODINAMICA
TEMPERATURA = 926.0 GRAUS KELVIN

ATIVIDADES E COEFICIENTES DE ATIVIDADE DO METAL 1

	ESTE TRABALHO	LITERATURA	GAMA1	N1	A1	GAMA1	N1	A1	GAMA1
N1	0.170	0.183	0.1827	0.176	0.163	0.327	0.100	0.154	0.327
0.200	0.167	0.174	0.1760	0.1657	0.1697	0.283	0.200	0.32	0.283
0.250	0.165	0.170	0.1895	0.1700	0.1897	0.355	0.300	0.411	0.355
0.300	0.161	0.169	0.1945	0.1780	0.1997	0.400	0.400	0.200	0.400
0.350	0.155	0.165	0.2478	0.2400	0.129	0.823	0.223	0.501	0.823
0.400	0.150	0.163	0.2113	0.2000	0.112	0.500	0.500	0.01	0.500
0.450	0.149	0.152	0.1787	0.1600	0.064	0.774	0.600	0.79	0.774
0.500	0.152	0.153	0.1770	0.1700	0.216	1.451	0.700	3.58	1.451
0.550	0.150	0.150	0.1755	0.1700	0.215	0.800	0.800	0.73	0.800
0.600	0.152	0.152	0.1693	0.1600	0.958	1.064	0.900	1.76	1.064

ATIVIDADES E COEFICIENTES DE ATIVIDADE DO METAL 2

	ESTE TRABALHO	LITERATURA	GAMA2	N1	A2	GAMA2	N1	A2	GAMA2
N1	0.170	0.166	0.1007	0.100	0.814	1.016	0.100	0.83	1.016
0.200	0.162	0.1532	0.200	0.194	1.067	0.200	0.200	0.30	0.200
0.250	0.159	0.159	0.300	0.300	0.818	1.168	0.300	7.27	1.168
0.300	0.166	0.176	0.200	0.200	0.815	1.241	0.200	12.28	1.241
0.350	0.160	0.167	0.142	0.150	0.818	1.635	0.500	17.95	1.635
0.400	0.161	0.160	0.650	0.600	0.861	2.152	0.600	21.36	2.152
0.450	0.160	0.160	0.293	0.290	0.942	3.139	0.700	27.29	3.139
0.500	0.165	0.174	0.870	0.850	1.066	5.332	0.800	27.47	5.332
0.550	0.155	0.155	0.954	0.900	1.169	11.692	0.900	18.27	11.692

ENTALPIAS E ENTROPIAS PARCIAIS MOLARES DO METAL 1

	ESTE TRABALHO	LITERATURA	GSI	N1	D1	GSI	N1	D1	GSI
N1	0.100	2.275	4.420	0.100	5.016	6.320	0.100	5.59	6.320
0.200	2.125	3.165	4.200	0.200	4.290	4.776	0.200	50.46	4.776
0.300	1.967	2.347	3.000	0.300	3.605	3.710	0.300	47.10	3.710
0.400	1.669	1.819	4.000	0.400	2.955	2.850	0.400	43.54	2.850
0.500	1.466	1.410	0.500	0.500	2.340	2.320	0.500	39.25	2.320
0.600	1.114	1.084	0.600	0.600	1.760	1.770	0.600	16.49	1.770
0.700	0.864	0.767	0.700	0.700	1.140	1.200	0.700	20.44	1.200
0.800	0.499	0.499	0.800	0.800	0.595	0.600	0.800	20.15	0.600
0.900	166.	166.	0.230	0.230	1.169	0.260	0.900	18.27	0.260



ENTALPIAS E ENTRÓPIAS PARCIAIS MOLARES DO METAL 2										
ESTE TRABALHO					LITERATURA					DIFERENÇA PERCENTUAL
N1	DH2	DS2	N1	DH2	DS2	N1	DH2	DS2		
0.100	10.	0.206	0.100	0.60.	0.220	0.100	-76.9%	-6.35		
0.200	4.6	0.430	0.200	1.65.	0.440	0.200	-72.24	-12.28		
0.300	11.9	0.578	0.300	3.95.	0.530	0.300	-18.34	-18.34		
0.400	24.9	0.667	0.400	7.45.	1.240	0.400	-66.88	-22.55		
0.500	46.6	1.295	0.500	1.750	1.750	0.500	-62.89	-25.99		
0.600	82.2	1.713	0.600	1.965	2.420	0.600	-58.19	-29.20		
0.700	141.1	2.276	0.700	3.150	3.520	0.700	-55.20	-35.34		
0.800	241.2	3.120	0.800	4.950	5.240	0.800	-51.15	-36.23		
0.900	422.8	4.656	0.900	7.760	8.000	0.900	-45.10	-41.80		
TEMPERATURA = 923.00 PAIS KELVIN										

ATIVIDADES E COEFICIENTES DE ATIVIDADE DO METAL 1

ATIVIDADES E COEFICIENTES DE ATIVIDADE DO METAL 1										
ESTE TRABALHO					LITERATURA					DIFERENÇA PERCENTUAL
N1	A1	GAMA1	N1	A1	GAMA1	N1	A1	GAMA1		
0.100	0.384	3.843	0.100	0.627	6.273	0.100	-38.71	-34.74		
0.200	0.669	3.347	0.200	0.942	4.709	0.200	-28.95	-28.93		
0.300	1.046	2.898	0.300	0.978	3.260	0.300	-11.21	-11.21		
0.400	1.494	2.485	0.400	0.978	2.445	0.400	1.65	1.65		
0.500	1.959	2.118	0.500	0.978	1.056	0.500	8.77	8.77		
0.600	1.676	1.791	0.600	0.978	1.630	0.600	9.87	9.87		
0.700	1.654	1.515	0.700	0.978	1.397	0.700	7.75	7.77		
0.800	1.612	1.266	0.800	0.978	1.223	0.800	3.48	3.48		
0.900	1.495	1.043	0.900	0.978	0.955	0.900	-0.29	-0.32		
1.000	1.475	1.043	1.000	0.978	1.057	1.000	-0.29	-0.32		

ATIVIDADES E COEFICIENTES DE ATIVIDADE DO METAL 2

ATIVIDADES E COEFICIENTES DE ATIVIDADE DO METAL 2										
ESTE TRABALHO					LITERATURA					DIFERENÇA PERCENTUAL
N1	A2	GAMA2	N1	A2	GAMA2	N1	A2	GAMA2		
0.100	0.966	1.617	0.100	0.213	1.514	0.100	-6.72	-10.67		
0.200	0.926	1.032	0.200	0.854	1.057	0.200	-3.30	-3.35		
0.300	0.799	1.084	0.300	0.300	1.267	0.300	-11.41	-10.40		
0.400	0.769	1.176	0.400	0.845	1.468	0.400	-16.40	-16.38		
0.500	0.672	1.343	0.500	0.945	1.600	0.500	-20.51	-21.82		
0.600	0.661	1.652	0.600	0.945	2.113	0.600	-18.74	-19.75		
0.700	0.687	2.249	0.700	0.845	2.817	0.700	-8.01	-9.41		
0.800	0.777	3.887	0.800	0.845	4.225	0.800	-13.92	-13.92		
0.900	0.863	0.626	0.900	0.845	0.450	0.900	-51.29	-44.45		
1.000	0.900	0.250	1.000	0.845	0.414	0.900	-51.29	-44.45		

ENTALPIAS E ENTRÓPIAS PARCIAIS MOLARES DO METAL 1

ENTALPIAS E ENTRÓPIAS PARCIAIS MOLARES DO METAL 1										
ESTE TRABALHO					LITERATURA					DIFERENÇA PERCENTUAL
N1	DH1	DS1	N1	DH1	DS1	N1	DH1	DS1		
0.100	2.325	4.420	0.100	4.293	4.421	0.100	-5.83	-25.75		
0.200	2.125	3.410	0.200	3.712	4.141	0.200	-4.275	-13.13		
0.300	1.917	2.367	0.300	3.278	3.519	0.300	-40.55	-13.32		
0.400	1.693	1.819	0.400	2.250	3.001	0.400	-39.89	-39.38		
0.500	1.456	1.410	0.500	2.254	2.884	0.500	-37.57	-43.26		
0.600	1.169	1.168	0.600	1.775	1.766	0.600	-5.61	-5.61		
0.700	1.010	1.078	0.700	1.247	1.440	0.700	-17.03	-47.05		
0.800	0.876	0.757	0.800	0.879	0.931	0.800	-41.99	-37.66		
0.900	0.756	0.626	0.900	0.931	0.914	0.900	-51.29	-44.45		
1.000	0.690	0.250	1.000	0.931	0.914	1.000	-51.29	-44.45		

ENTALPIAS E ENTRÓPIAS PARCIAIS MOLARES DO METAL 2

ENTALPIAS E ENTRÓPIAS PARCIAIS MOLARES DO METAL 2										
ESTE TRABALHO					LITERATURA					DIFERENÇA PERCENTUAL
N1	DH2	DS2	N1	DH2	DS2	N1	DH2	DS2		
0.100	10.	0.206	0.100	0.60.	0.220	0.100	-76.9%	-6.35		
0.200	4.6	0.430	0.200	1.65.	0.440	0.200	-72.24	-12.28		
0.300	11.9	0.578	0.300	3.95.	0.530	0.300	-18.34	-18.34		
0.400	24.9	0.667	0.400	7.45.	0.420	0.400	-66.88	-22.55		
0.500	46.6	1.295	0.500	1.750	0.500	0.500	-62.89	-25.99		
0.600	82.2	1.713	0.600	1.965	2.420	0.600	-58.19	-29.20		
0.700	141.1	2.276	0.700	3.150	3.520	0.700	-55.20	-35.34		
0.800	241.2	3.120	0.800	4.950	5.240	0.800	-51.15	-36.23		
0.900	422.8	4.656	0.900	7.760	8.000	0.900	-45.10	-41.80		
1.000	745.6	9.900	1.000	14.100	14.400	1.000	-51.29	-44.45		

APÊNDICE X

Valores experimentais de temperatura e composição sobre a LLRIL, de CAMPBELL & WAGEMANN⁽²¹⁾, para o sistema Al - In.

T°C	% E Al	% D Al
650	80,93	3,49
700	77,67	3,95
750	73,26	6,51
800	66,74	8,84
850	60,00	10,00
900	52,23	13,58

NOTA - % refere-se a percentagem ponderal.

APÊNDICE XI

Valores experimentais de temperatura e composição sobre a LLRIL, de CAMPBELL et alii⁽²²⁾, para o sistema Al-In.

T°C	%E Al	%D Al
675	80,1	4,4
750	74,7	7,7
800	70,7	9,7
850	58,9	19,7

NOTA - % refere-se a percentagem ponderal.

APÊNDICE XII

RESULTADOS FORNECIDOS PELO ALGORITMO, PARA O SISTEMA
AI-In, UTILIZANDO-SE DADOS EXPERIMENTAIS DE CAMPBELL
& WAGEMANN⁽²¹⁾

©

SISTEMA ALUMINIO - INÓDIO

METAL 1 = ALUMINIO

METAL 2 = INÓDIO

PONTOS EXPERIMENTAIS NO MG CONSIDERADOS DE CAMPBELL-HAGEMANN

CONSTANTES DA EQUAÇÃO DE LUNSDEN
 $\epsilon_{PSL} = 10595.03$
 $\Sigma G_M = 6.44$
 $F_1 = -0.12$
 $\zeta = -3953.30$

TG	N1E	N2E	A1	A2
620.0	0.9112	0.966	0.9170	0.9130
630.0	0.9174	0.952	0.9196	0.9150
640.0	0.9239	0.958	0.9236	0.9203
650.0	0.9297	0.963	0.9294	0.9256
660.0	0.9353	0.968	0.9350	0.9314
670.0	0.9410	0.973	0.9405	0.9370
680.0	0.9462	0.978	0.9451	0.9424
690.0	0.9514	0.983	0.9504	0.9473
700.0	0.9566	0.988	0.9556	0.9524
710.0	0.952	0.9648	0.9539	0.9507
715.0	0.9319	0.9541	0.9327	0.9292
720.0	0.9285	0.9515	0.9294	0.9264
730.0	0.9251	0.950	0.9256	0.9227
740.0	0.9213	0.9487	0.9216	0.9196
750.0	0.9176	0.9482	0.9177	0.9157
760.0	0.9134	0.9466	0.9136	0.9118
770.0	0.9192	0.9428	0.9192	0.9171
780.0	0.9250	0.935	0.9255	0.9230
790.0	0.9303	0.9277	0.9256	0.9216
800.0	0.8953	0.9147	0.9270	0.9230
810.0	0.8893	0.9107	0.9289	0.9234
820.0	0.8851	0.9149	0.9213	0.9196
830.0	0.8792	0.9208	0.9046	0.8946
840.0	0.8732	0.9268	0.8172	0.8133
850.0	0.8669	0.9331	0.8311	0.8273
860.0	0.8602	0.9398	0.8655	0.8596
870.0	0.8531	0.9459	0.8605	0.8505
880.0	0.8452	0.9543	0.8162	0.8238
890.0	0.8387	0.9633	0.826	0.8174
900.0	0.8274	0.9726	0.8098	0.8047
910.0	0.8177	0.9823	0.7716	0.7731
920.0	0.8068	0.9932	0.6482	0.6518
930.0	0.7941	0.2059	0.6494	0.5936
940.0	0.7792	0.2208	0.4925	0.5015
950.0	0.7622	0.2378	0.5193	0.4937
960.0	0.7392	0.2626	0.5502	0.4493
970.0	0.7072	0.2926	0.5954	0.4046

CENTRO DE COMPUTAÇÃO DA UFGM



CENTRO DE COMPUTAÇÃO DA UFGM



PONTOS NA LINHA LÍQUIDA

CENTRO DE COMPUTAÇÃO DA U.F.M.G.

LADO ESQUERDO SUPERIOR

TC	N1	N2	A1	A2
656.15	0.9958E 00	0.4100E-02	0.9980E 00	0.1151E 00
653.59	0.9916E 00	0.3730E-02	0.9922E 00	0.2222E 00
651.15	0.9877E 00	0.1330E-01	0.9822E 00	0.3222E 00
648.83	0.9830E 00	0.1440E-01	0.9895E 00	0.4147E 00
646.62	0.9799E 00	0.2050E-01	0.9817E 00	0.5050E 00
644.53	0.9758E 00	0.2660E-01	0.9755E 00	0.5800E 00
642.55	0.9718E 00	0.2970E-01	0.9756E 00	0.6533E 00
640.57	0.9677E 00	0.3370E-01	0.9725E 00	0.7211E 00
638.90	0.9631E 00	0.3890E-01	0.9701E 00	0.7832E 00
637.23	0.9596E 00	0.4510E-01	0.9652E 00	0.8404E 00
635.66	0.9549E 00	0.4510E-01	0.9628E 00	0.8928E 00

LADO ESQUERDO INFERIOR

TC	N1	N2	A1	A2
646.81	0.1349E 00	0.8959E 00	0.9820E 00	0.9039E 00
636.32	0.1220E 00	0.6520E 00	0.9628E 00	0.9105E 00
624.66	0.1099E 00	0.6525E 00	0.9425E 00	0.9175E 00
610.97	0.9760E-01	0.9245E 00	0.9245E 00	0.9245E 00
595.52	0.9540E-01	0.9146E 00	0.9103E 00	0.9320E 00
577.62	0.9320E-01	0.9203E 00	0.8759E 00	0.9493E 00
556.53	0.6100E-01	0.9300E 00	0.8427E 00	0.9583E 00
531.09	0.4805E-01	0.9312E 00	0.8021E 00	0.9574E 00
511.19	0.3660E-01	0.9345E 00	0.7505E 00	0.9774E 00
499.19	0.2440E-01	0.9356E 00	0.6856E 00	0.9774E 00
456.51	0.1220E-01	0.7178E 00	0.5706E 00	0.9356E 00
390.50	0.2980E-06	0.1000E 01	0.2881E-01	0.1000E 01
-10.96				

LADO DIREITO

TC	N1	N2	A1	A2
156.05	0.2000E-03	0.9938E 00	0.1528E 00	0.9994E 00
155.95	0.3999E-03	0.9996E 00	0.3044E 00	0.9996E 00
155.86	0.5999E-03	0.9924E 00	0.4534E 00	0.9924E 00
155.77	0.3600E-03	0.9920E 00	0.6926E 00	0.9920E 00
155.69	0.1000E-02	0.9754E 00	0.7549E 00	0.9930E 00
155.59	0.1200E-02	0.9939E 00	0.9633E 00	0.9938E 00
155.49	0.1400E-02	0.9976E 00	0.1151E 01	0.9936E 00
155.40	0.1600E-02	0.9984E 00	0.1198E 01	0.9934E 00
155.31	0.1800E-02	0.9932E 00	0.1134E 01	0.9932E 00
155.22	0.2000E-02	0.9909E 00	0.1499E 01	0.9930E 00
155.13	0.2200E-02	0.9978E 00	0.1633E 01	0.9979E 00

CENTRO DE COMPUTAÇÃO DA U.F.M.G.

PONTOS PRINCIPAIS DO DIAGRAMA

	ESTE TRABALHO	LITERATURA	DIFERENÇA PERCENTUAL
PONTO CRÍTICO	975.3 0.0556E 00	0.4440E 00 0.0556E 00	0.4610E 00 0.0556E 00
MONOTÉTICO ESQUERDO	634.5 0.4655E 00	0.4530E 00 0.4655E 00	3.20 -0.44
MONOTÉTICO DIREITO	633.4 0.0210E 00	0.3790E 00 0.0210E 00	0.9850E 00 0.0556E 00
EUTÉTICO	169.5 -0.231E-01	0.1020E 01 0.1020E 01	9.33 -1.02

TERMODINAMICA
TEMPERATURA = 1173.0 GRAUS KELVIN

ATIVIDADES E COEFICIENTES DE ATIVIDADE DO METAL 1

	ESTE TRABALHO	LITERATURA			DIFERENCA PERCENTUAL			
N1	A1	GAMA1	N1	A1	GAMA1	N1	A1	GAMA1
0.100	0.472	0.716	0.100	0.512	0.120	0.100	-7.93	-7.93
0.200	0.726	3.642	0.200	0.727	3.674	0.200	0.42	0.42
0.300	0.857	2.858	0.300	0.819	2.728	0.300	4.68	4.68
0.400	0.912	2.290	0.400	0.858	2.145	0.400	6.30	6.30
0.500	0.926	1.852	0.500	0.872	1.744	0.500	6.21	6.21
0.600	0.609	1.535	0.600	0.600	1.457	0.600	5.37	5.37
0.700	0.921	1.303	0.700	0.876	1.251	0.700	4.16	4.16
0.800	0.912	1.140	0.800	0.889	1.111	0.800	2.57	2.57
0.900	0.934	1.037	0.900	0.925	1.028	0.900	0.82	0.82

ATIVIDADES E COEFICIENTES DE ATIVIDADE DO METAL 2

	ESTE TRABALHO	LITERATURA			DIFERENCA PERCENTUAL			
N1	A2	GAMA2	N1	A2	GAMA2	N1	A2	GAMA2
0.100	0.013	1.015	0.100	0.016	1.017	0.100	-0.31	-0.31
0.200	0.850	1.062	0.200	0.865	1.081	0.200	-1.14	-1.14
0.300	0.906	1.152	0.300	0.832	1.189	0.300	-3.13	-3.13
0.400	0.781	1.301	0.400	0.812	1.353	0.400	-3.85	-3.85
0.500	0.772	1.543	0.500	0.862	1.603	0.500	-2.79	-2.79
0.600	0.777	1.943	0.600	0.739	1.999	0.600	-2.74	-2.74
0.700	0.791	2.634	0.700	0.796	2.653	0.700	-0.57	-0.57
0.800	0.791	3.955	0.800	0.759	3.793	0.800	4.21	4.21
0.900	0.677	6.774	0.900	0.590	5.905	0.900	14.71	14.71

ENTALPIAS E ENTROPIAS PARCIAIS MOLARES DO METAL 1

	ESTE TRABALHO	LITERATURA			DIFERENCA PERCENTUAL			
N1	DH1	DH1	N1	DH1	DH1	N1	DH1	DH1
0.100	5075.	5.920	0.100	411.	4.338	0.100	23.33	20.31
0.200	3890.	3.966	0.200	3338.	3.679	0.200	16.53	13.43
0.300	2908.	2.786	0.300	2696.	2.687	0.300	8.23	3.67
0.400	2111.	1.933	0.400	211.	2.056	0.400	-0.13	-5.84
0.500	1475.	1.594.	0.500	1.591.	1.631	0.500	-13.55	-13.55
0.600	974.	0.994	0.600	1118.	1.221	0.600	-12.89	-18.62
0.700	584.	0.681	0.700	699.	0.559	0.700	-16.43	-20.75
0.800	289.	0.429	0.800	340.	0.524	0.800	-15.37	-18.11
0.900	83.	0.207	0.900	93.	0.233	0.900	-10.66	-11.68

ENTALPIAS E ENTROPIAS PARCIAIS MOLARES DO METAL 2

	ESTE TRABALHO	LITERATURA			DIFERENCA PERCENTUAL			
N1	DH2	DH2	N1	DH2	DH2	N1	DH2	DH2
0.100	73.	0.293	0.100	48.	0.216	0.100	52.49	12.44
0.200	282.	0.564	0.200	165.	0.446	0.200	52.16	26.26
0.300	608.	0.945	0.300	461.	0.748	0.300	51.55	23.60
0.400	1036.	1.375	0.400	711.	1.020	0.400	45.71	34.81
0.500	1555.	1.852	0.500	1137.	1.603	0.500	36.33	30.79
0.600	2167.	2.369	0.600	1716.	1.908	0.600	26.31	23.11
0.700	2492.	2.921	0.700	2506.	2.591	0.700	15.40	13.11
0.800	3785.	3.693	0.800	3592.	3.610	0.800	5.44	2.31
0.900	4960.	5.003	0.900	5006.	5.310	0.900	-5.79	-5.79

CENTRO DE COMPUTACAO DA UFMG



CENTRO DE COMPUTACAO DA UFMG



APÊNDICE XIII

RESULTADOS FORNECIDOS PELO ALGORITMO, PARA O SISTEMA
A1-In, UTILIZANDO-SE DADOS EXPERIMENTAIS DE CAMPBELL
et alii⁽²²⁾

SISTEMA ALUMINIO - INOIO

METAL 1 = ALUMINIO

METAL 2 = INOIO

PONTOS EXPERIMENTAIS NO MIG CONSIDERADOS DE CAMPBELL-BUCHANAN

CONSTANTES DA EQUACAO DE LUMSDEN
 EPSIL = 25606.91
 SIGMA = 23.05
 FI = -0.832
 ZETA = -16262.71

PONTOS NO MISCELLY GAP

TG	TC	TD	TD2	TD3
620.0	0.9591	0.9639	0.9644	0.9644
630.0	0.9576	0.9493	0.9435	0.9435
640.0	0.9563	0.9483	0.9425	0.9425
650.0	0.9526	0.9474	0.9425	0.9425
660.0	0.9502	0.9468	0.9427	0.9427
670.0	0.9479	0.9468	0.9427	0.9427
680.0	0.9453	0.9457	0.9455	0.9455
690.0	0.9426	0.9514	0.9429	0.9429
700.0	0.9400	0.9525	0.9437	0.9437
710.0	0.9371	0.9529	0.9429	0.9429
720.0	0.9341	0.9539	0.9437	0.9437
730.0	0.9300	0.9521	0.9433	0.9433
740.0	0.9277	0.9523	0.9435	0.9435
750.0	0.9242	0.9518	0.9431	0.9431
760.0	0.9205	0.9785	0.9785	0.9785
770.0	0.9166	0.9834	0.9795	0.9795
780.0	0.9125	0.9835	0.9715	0.9715
790.0	0.9131	0.9819	0.9720	0.9720
800.0	0.9135	0.9765	0.9679	0.9679
810.0	0.9135	0.9728	0.9621	0.9621
820.0	0.9132	0.9721	0.9575	0.9575
830.0	0.9127	0.9715	0.9521	0.9521
840.0	0.9123	0.9695	0.9463	0.9463
850.0	0.9120	0.9679	0.9425	0.9425
860.0	0.9119	0.9659	0.9387	0.9387
870.0	0.9111	0.9639	0.9343	0.9343
880.0	0.9105	0.9628	0.9305	0.9305
890.0	0.9093	0.9615	0.9272	0.9272
900.0	0.9080	0.9603	0.9241	0.9241
910.0	0.9073	0.9593	0.9212	0.9212
920.0	0.9060	0.9584	0.9184	0.9184
930.0	0.9051	0.9570	0.9156	0.9156
940.0	0.9042	0.9559	0.9131	0.9131
950.0	0.9037	0.9546	0.9106	0.9106
960.0	0.9031	0.9535	0.9081	0.9081
970.0	0.9027	0.9524	0.9057	0.9057
980.0	0.9023	0.9514	0.9032	0.9032
990.0	0.9019	0.9502	0.9009	0.9009
910.0	0.9011	0.9497	0.8983	0.8983
920.0	0.9007	0.9491	0.8964	0.8964
930.0	0.9003	0.9484	0.8945	0.8945
940.0	0.9000	0.9476	0.8926	0.8926
950.0	0.8991	0.9469	0.8907	0.8907
960.0	0.8981	0.9461	0.8888	0.8888
970.0	0.8971	0.9452	0.8869	0.8869
980.0	0.8965	0.9443	0.8850	0.8850
990.0	0.8959	0.9434	0.8831	0.8831
910.0	0.8951	0.9424	0.8812	0.8812
920.0	0.8945	0.9414	0.8793	0.8793
930.0	0.8939	0.9404	0.8774	0.8774
940.0	0.8932	0.9394	0.8755	0.8755
950.0	0.8925	0.9384	0.8736	0.8736
960.0	0.8919	0.9374	0.8717	0.8717
970.0	0.8913	0.9364	0.8698	0.8698
980.0	0.8907	0.9354	0.8679	0.8679
990.0	0.8900	0.9344	0.8660	0.8660
910.0	0.8893	0.9334	0.8641	0.8641
920.0	0.8887	0.9324	0.8622	0.8622
930.0	0.8880	0.9314	0.8603	0.8603
940.0	0.8873	0.9304	0.8584	0.8584
950.0	0.8866	0.9294	0.8565	0.8565
960.0	0.8859	0.9284	0.8546	0.8546
970.0	0.8852	0.9274	0.8527	0.8527
980.0	0.8845	0.9264	0.8508	0.8508
990.0	0.8838	0.9254	0.8489	0.8489
910.0	0.8831	0.9244	0.8470	0.8470
920.0	0.8824	0.9234	0.8451	0.8451
930.0	0.8817	0.9224	0.8432	0.8432
940.0	0.8810	0.9214	0.8413	0.8413
950.0	0.8803	0.9204	0.8394	0.8394
960.0	0.8796	0.9194	0.8375	0.8375
970.0	0.8789	0.9184	0.8356	0.8356
980.0	0.8782	0.9174	0.8337	0.8337
990.0	0.8775	0.9164	0.8318	0.8318
910.0	0.8768	0.9154	0.8299	0.8299
920.0	0.8761	0.9144	0.8280	0.8280
930.0	0.8754	0.9134	0.8261	0.8261
940.0	0.8747	0.9124	0.8242	0.8242
950.0	0.8740	0.9114	0.8223	0.8223
960.0	0.8733	0.9104	0.8204	0.8204
970.0	0.8726	0.9094	0.8185	0.8185
980.0	0.8719	0.9084	0.8166	0.8166
990.0	0.8712	0.9074	0.8147	0.8147
910.0	0.8705	0.9064	0.8128	0.8128
920.0	0.8698	0.9054	0.8109	0.8109
930.0	0.8691	0.9044	0.8090	0.8090
940.0	0.8684	0.9034	0.8071	0.8071
950.0	0.8677	0.9024	0.8052	0.8052
960.0	0.8670	0.9014	0.8033	0.8033
970.0	0.8663	0.9004	0.8014	0.8014
980.0	0.8656	0.9004	0.7995	0.7995
990.0	0.8649	0.9004	0.7976	0.7976

CENTRO DE COMPUTACAO DA UFSC

CENTRO DE COMPUTACAO DA UFSC

PONTOS NA LINHA LIQUIDOS

C

C

LADO ESQUERDO SUPERIOR	TC	N1	N2	A1	A2
656.15	6.995E-09	0.4306E-02	0.4961E-06	0.1154E-09	
653.99	C. 991E-09	0.9206E-02	6.992E-06	0.2297E-06	
651.85	0.987E-09	0.1233E-01	6.935E-06	0.3323E-06	
650.83	0.983E-09	0.1667E-01	6.9359E-06	0.4215E-06	
646.63	C. 979E-09	0.2055E-01	6.931E-06	0.5113E-06	
644.25	0.9754E-09	0.2393E-01	6.976E-06	0.5945E-06	
642.77	0.9711E-09	0.2779E-01	6.9754E-06	0.6721E-06	
640.71	0.9677E-09	0.3289E-01	6.9729E-06	0.7451E-06	
638.95	0.9631E-09	0.3691E-01	6.9715E-06	0.8111E-06	
637.29	0.9591E-09	0.4101E-01	6.9677E-06	0.8640E-06	
635.73	C. 9549E-09	0.4510E-01	6.9652E-06	0.9215E-06	
LADO ESQUERDO INFERIOR	TC	N1	N2	A1	A2
645.33	0.1329E-09	0.5680E-09	0.471E-09	0.944E-09	
634.76	0.1219E-09	C. 571E-09	6.5672E-06	0.9112E-06	
627.57	C. 168E-09	C. 574E-09	0.9531E-06	0.8416E-06	
617.35	C. 941E-09	C. 574E-09	0.9375E-06	0.8233E-06	
616.47	0.938E-09	0.9150E-06	0.1190E-06	0.9342E-06	
592.95	C. 720E-09	0.9253E-06	0.2042E-06	0.7474E-06	
576.11	0.6000E-09	C. 973E-06	0.9731E-06	0.9799E-06	
557.04	0.4858E-09	C. 942E-06	0.2431E-06	0.5197E-06	
533.06	0.3600E-09	C. 916E-06	0.6053E-06	0.3501E-06	
510.72	0.1760E-09	C. 916E-06	0.7425E-06	0.1916E-06	
496.64	0.1220E-09	0.9680E-06	0.6675E-06	0.9494E-06	
74.21	0.5364E-09	0.1070E-01	0.9737E-01	0.4194E-01	
LADO DIREITO	TC	N1	N2	A1	A2
156.05	0.2096E-09	C. 993E-09	0.1946E-01	0.9337E-09	
155.95	0.2919E-09	0.9965E-09	0.3830E-01	0.6351E-09	
155.86	0.4570E-09	0.9604E-09	0.9753E-01	0.9994E-09	
155.77	0.5477E-09	0.9402E-09	0.6461E-01	0.9292E-09	
155.68	0.6301E-09	C. 794E-09	0.5592E-01	0.9424E-09	
155.60	0.7200E-09	0.9646E-09	0.1123E-02	0.9494E-09	
155.51	0.1450E-09	C. 9946E-09	0.1292E-02	0.9537E-09	
155.43	0.2560E-09	C. 9946E-09	0.1471E-02	0.9535E-09	
155.34	0.3591E-09	0.1631E-02	0.1631E-02	0.9532E-09	
155.26	0.4208E-09	C. 9970E-09	0.1471E-02	0.9514E-09	
155.18	0.2200E-09	C. 9970E-09	0.14981E-02	0.9494E-09	

PONTOS PRINCIPAIS DO DIAGRAMA

ESTE TRABALHO	TC	N1	N2	TC	LITERATURA	TC	LITERATURA	DIFERENÇA RELACIONADA
916.9	C. 731E-09	0.269E-09	945.0	0.055E-09	0.311E-09	10.41	-2.76	
855.9	0.956E-09	0.4438E-01	637.0	0.553E-09	0.411E-09	10.41	-2.76	
836.4	C. 118E-09	0.2818E-09	637.0	0.11CE-09	0.11CE-09	10.41	-2.76	
156.0	C. 237E-09	0.160E-01	155.0	0.1006E-01	0.494E-09	10.41	-2.76	

CENTRO DE COMPUTAÇÃO DA UFMG

CENTRO DE COMPUTAÇÃO DA UFMG

TERMODINÂMICA
TEMPERATURA = 1173.0 GRAUS KELVIN



ATIVIDADES E CONFIQUENCIAS DE ATIVIDADE DO METAL 1

	ESTE TRABALHO	METAL 1	METAL 2	DIFERENÇA PERCENTUAL
N1	A1	GAMA	A1	N1
0.100	0.728	3.276	0.100	0.100
0.200	0.570	2.969	0.200	-36,42
0.300	0.738	2.660	0.300	-21,63
0.400	0.644	2.111	0.400	-9,50
0.500	0.560	1.664	0.500	-1,60
0.600	0.724	1.591	0.600	-3,42
0.700	0.927	1.228	0.700	-25,92
0.800	0.806	1.156	0.800	-5,77
0.900	0.939	1.064	0.900	-5,83

ATIVIDADES E CONFIQUENCIAS DE ATIVIDADE DO METAL 2

	ESTE TRABALHO	METAL 1	METAL 2	DIFERENÇA PERCENTUAL
N1	A2	GAMA	A2	N1
0.100	0.576	1.017	0.100	-16,97
0.200	0.420	1.013	0.200	-4,74
0.300	0.759	1.045	0.300	-2,44
0.400	0.767	1.179	0.400	-5,76
0.500	0.595	0.671	0.500	-12,38
0.600	0.669	1.042	0.600	-16,38
0.700	0.670	1.021	0.700	-1,631
0.800	0.592	2.164	0.800	-1,157
0.900	0.569	3.362	0.900	-1,045

CITACIAS E CITAÇOES PARCIAIS MATERIAIS DO METAL 1

	ESTE TRABALHO	METAL 1	METAL 2	DIFERENÇA PERCENTUAL
N1	PSI	N1	PSI	N1
0.100	0.757*	0.654	0.100	-10,17
0.200	0.653*	0.646	0.200	1,62,4
0.300	0.266*	0.678	0.300	1,67,04
0.400	0.364*	0.689	0.400	95,33
0.500	0.360	2.114*	0.500	74,81
0.600	0.360	2.128	0.600	65,95
0.700	0.295*	1.261	0.700	36,01
0.800	1.295*	1.261	0.800	-25,37
0.900	0.755	0.760	0.900	-95,61
0.900	1.22*	0.259	0.900	-113,52
0.900	-12*	0.114	0.900	-91,61

CITACIAS E CITAÇOES PARCIAIS MATERIAIS DO METAL 2

	ESTE TRABALHO	METAL 1	METAL 2	DIFERENÇA PERCENTUAL
N1	PS2	PS2	PS2	N1
0.100	0.76*	0.289	0.100	-10,42
0.200	0.78*	0.137	0.200	25,59
0.300	0.79*	0.390	0.300	124,52
0.400	1.625*	2.264	0.400	65,41
0.500	2.914*	3.281	0.500	100,99
0.600	4.217*	4.441	0.600	153,06
0.700	5.604*	5.638	0.700	153,41
0.800	6.500	6.691	0.800	117,61
0.900	7.552*	7.493	0.900	85,42

APÊNDICE XIV

Valores experimentais de temperatura e composição sobre a LLRIL, de KLEPPA⁽¹⁵⁾, para o sistema Zn-Bi.

T°C	N ^E _{Zn}	N ^D _{Zn}
475	0,9783	0,4655
520	0,9608	0,5523
536	0,9541	0,6042
556	0,9451	0,6533
567	0,9399	0,6961

NOTA - As frações molares no ramo direito da LLRIL são resultados experimentais de KLEPPA⁽¹⁵⁾.

Aquelas no ramo esquerdo são provenientes de ajuste em curva do segundo grau de valores experimentais do mesmo autor.

APÊNDICE XV

Valores experimentais de temperatura e composição sobre a LLRIL, de HASS & JELLINEK⁽¹²⁾, para o sistema Zn-Bi .

T°C	% E Zn	% D Zn
460	95,5	16,8
545	93,4	21,2
620	90,0	24,0
735	77,5	32,0

NOTA - % refere-se a percentagem ponderal.

APÊNDICE XVI

Valores experimentais de temperatura e composição sobre a LLRIL, de SPRING & ROMANOFF⁽¹⁴⁾, para o sistema Zn-Bi.

T°C	% E Zn	% D Zn
475	95,0	16,0
584	90,0	20,0
650	85,0	23,0
750	73,0	30,0

NOTA - % refere-se a percentagem ponderal.

©

160.

APÊNDICE XVII

RESULTADOS FORNECIDOS PELO ALGORITMO, PARA O SISTEMA
Zn-Bi, UTILIZANDO-SE DADOS EXPERIMENTAIS DE KLEPPA⁽¹⁵⁾.

⑥



SISTEMA ZINCO - BISMUTO

METAL 1 = ZINCO

METAL 2 = BISMUTO

PONTOS EXPERIMENTAIS NO MG CONSIDERADOS DE KLEPPA

CONSTANTES DA EQUAÇÃO DE LUMSDEN
 EPSIL = 4231.11
 SIGMA = 3.83
 FI = -0.18
 ZETA = 1872.95

PONTOS NO MISCELLIBILITY GAP	TC	N1E	N2E	N1D	N2D	A1	A2
400.0	0.9901	0.0099	0.3045	0.6955	0.9916	0.7657	
410.0	0.9889	0.0111	0.3229	0.6771	0.9907	0.7534	
420.0	0.9876	0.0124	0.3420	0.6580	0.9897	0.7411	
430.0	0.9862	0.0138	0.3617	0.6383	0.9887	0.7294	
440.0	0.9846	0.0154	0.3819	0.6181	0.9877	0.7153	
450.0	0.9828	0.0172	0.4028	0.5972	0.9866	0.7023	
460.0	0.9803	0.0192	0.4242	0.5758	0.9854	0.6891	
470.0	0.9787	0.0213	0.4461	0.5539	0.9841	0.6755	
480.0	0.9763	0.0237	0.4686	0.5314	0.9828	0.6620	
490.0	0.9736	0.0254	0.4917	0.5093	0.9814	0.6481	
500.0	0.9706	0.0294	0.5153	0.4847	0.9799	0.6342	
510.0	0.9672	0.0328	0.5394	0.4606	0.9784	0.6201	
520.0	0.9634	0.0366	0.5641	0.4359	0.9768	0.6059	
530.0	0.9591	0.0409	0.5895	0.4105	0.9751	0.5916	
540.0	0.9540	0.0450	0.6156	0.3844	0.9733	0.5773	
550.0	0.9482	0.0518	0.6425	0.3575	0.9715	0.5629	
560.0	0.9412	0.0588	0.6705	0.3295	0.9696	0.5485	
570.0	0.9325	0.0675	0.7000	0.3000	0.9677	0.5342	
580.0	0.9213	0.0787	0.7319	0.2681	0.9656	0.5198	
590.0	0.9054	0.0946	0.7687	0.2313	0.9636	0.5055	
600.0	0.8731	0.1269	0.8226	0.1774	0.9614	0.4913	

PONTOS NA LINHA LIQUIDUS

LADO ESQUERDO SUPERIOR	TC	N1	N2	A1	A2
419.17	0.9993E 00	0.7000E-03	0.9993E 00	0.5875E-01	
418.80	0.9986E 00	0.1400E-02	0.9986E 00	0.1155E 00	
418.44	0.9979E 00	0.2100E-02	0.9980E 00	0.1703E 00	
418.09	0.9972E 00	0.2800E-02	0.9973E 00	0.2232E 00	
417.75	0.9965E 00	0.3500E-02	0.9967E 00	0.2742E 00	
417.41	0.9958E 00	0.4200E-02	0.9961E 00	0.3235E 00	
417.09	0.9951E 00	0.4900E-02	0.9955E 00	0.3710E 00	
416.77	0.9944E 00	0.5600E-02	0.9949E 00	0.4169E 00	
416.45	0.9937E 00	0.6300E-02	0.9943E 00	0.4610E 00	
416.15	0.9930E 00	0.7000E-02	0.9937E 00	0.5036E 00	
415.85	0.9923E 00	0.7700E-02	0.9932E 00	0.5446E 00	

LADO ESQUERDO INFERIOR	TC	N1	N2	A1	A2
425.01	0.369E-00	0.6304E-00	0.101E-01	0.726E-00	0.745E-00
415.77	0.326E-00	0.6640E-00	0.991E-00	0.991E-00	0.765E-00
405.19	0.302E-00	0.6976E-00	0.9712E-00	0.7970E-00	0.7970E-00
393.08	0.269E-00	0.7312E-00	0.9533E-00	0.9093E-00	0.9093E-00
379.23	0.235E-00	0.7648E-00	0.9288E-00	0.8988E-00	0.8988E-00
363.26	0.216E-00	0.7984E-00	0.8988E-00	0.8131E-00	0.8131E-00
344.65	0.164E-00	0.8320E-00	0.8654E-00	0.8571E-00	0.8571E-00
322.49	0.134E-00	0.8656E-00	0.8114E-00	0.8135E-00	0.8135E-00
295.18	0.104E-00	0.8925E-00	0.7533E-00	0.9105E-00	0.9105E-00
259.37	0.670E-01	0.9370E-00	0.6800E-00	0.9390E-00	0.9390E-00
205.42	0.3266E-01	0.9664E-00	0.5634E-00	0.9681E-00	0.9681E-00

LADO DIREITO	TC	N1	N2	A1	A2
269.50	0.8270E-02	0.9919E-00	0.6933E-01	0.9919E-00	0.9919E-00
267.69	0.1640E-01	0.9365E-00	0.1779E-01	0.9370E-00	0.9370E-00
265.12	0.1450E-01	0.9754E-00	0.2649E-01	0.9761E-00	0.9761E-00
264.19	0.3280E-01	0.8672E-00	0.3592E-00	0.8680E-00	0.8680E-00
262.49	0.4100E-01	0.5990E-00	0.4339E-00	0.5991E-00	0.5991E-00
260.83	0.4920E-01	0.9504E-00	0.5159E-00	0.9530E-00	0.9530E-00
259.20	0.5700E-01	0.9266E-00	0.5921E-00	0.9466E-00	0.9466E-00
257.62	0.6560E-01	0.6714E-00	0.6744E-00	0.6395E-00	0.6395E-00
256.07	0.3810E-01	0.2625E-00	0.7516E-00	0.3330E-00	0.3330E-00
254.57	0.8200E-01	0.9192E-00	0.8288E-00	0.9261E-00	0.9261E-00
253.10	0.9200E-01	0.9098E-00	0.8949E-00	0.9201E-00	0.9201E-00

PONTOS PRINCIPAIS DO DIAGRAMA

PONTOS CRITICO	TC	ESTE TRABALHO	LITERATURA
601.2	0.856E-00	0.144E-00	0.850E-00
414.1	0.888E-00	0.117E-01	0.949E-00
414.5	0.331E-00	0.669E-00	0.630E-00
EUTETICO	257.0	0.6875E-01	0.931E-00

TERMODINAMICA
TEMPERATURA = 873.0 GRAUS KELVIN

ATIVIDADES E COEFICIENTES DE ATIVIDADE DO METAL 1

ESTE TRABALHO	LITERATURA
GAMAL	GAMAL

N1	A1	N1	A1	N1	A1	N1	A1
0.100	0.263	2.432	0.100	0.259	2.591	0.100	-6.11
0.200	0.448	2.242	0.200	0.465	2.323	0.200	-3.58
0.300	0.617	2.055	0.300	0.630	2.098	0.300	-2.14
0.400	0.749	1.873	0.400	0.759	1.898	0.400	-1.34
0.500	0.847	1.694	0.500	0.860	1.721	0.500	-1.55
0.600	0.913	1.522	0.600	0.930	1.551	0.600	-1.89
0.700	0.949	1.256	0.700	0.969	1.394	0.700	-2.03
0.800	0.961	1.201	0.800	0.980	1.219	0.800	-1.45
0.900	0.962	1.069	0.900	0.980	1.089	0.900	-1.83

CENTRO DE COMPUTACAO DA UFMG
CENTRO DE COMPUTACAO DA UFMG

CENTRO DE COMPUTAÇÃO DA U.F.M.G.

ATIVIDADES E COEFICIENTES DE ATIVIDADE DO METAL 2		ESTE TRABALHO		LITERATURA		DIFERENÇA PERCENTUAL	
N1	A2	GAMMA2	N1	A2	GAMMA2	N1	A2
0.100	0.904	1.004	0.100	0.905	1.006	0.100	-0.14
0.200	0.815	1.019	0.200	0.821	1.026	0.200	-0.72
0.300	0.734	1.049	0.300	0.742	1.050	0.300	-1.03
0.400	0.662	1.103	0.400	0.672	1.120	0.400	-1.48
0.500	0.599	1.150	0.500	0.602	1.213	0.500	-1.21
0.600	0.547	1.368	0.600	0.552	1.381	0.600	-0.84
0.700	0.510	1.701	0.700	0.513	1.711	0.700	-0.59
0.800	0.492	2.462	0.800	0.495	2.524	0.800	-2.51
0.900	0.488	4.834	0.900	0.486	4.857	0.900	-0.49
ENTALPIAS E ENTROPIAS PARCIAIS MOLARES DO METAL 1							
ESTE TRABALHO		LITERATURA		DIFERENÇA PERCENTUAL		ESTE TRABALHO	
N1	DH1	0.51	N1	DH1	0.51	N1	DH1
0.100	3.679	7.024	0.100	3.140	6.280	0.100	17.17
0.200	3.228	5.292	0.200	2.335	4.540	0.200	22.51
0.300	2.771	4.135	0.300	2.180	3.429	0.300	27.10
0.400	2.310	3.220	0.400	1.770	2.585	0.400	30.40
0.500	1.848	2.447	0.500	1.420	2.500	0.500	32.02
0.600	1.392	1.776	0.600	1.150	1.350	0.600	32.58
0.700	0.929	1.190	0.700	0.900	1.100	0.700	31.52
0.800	0.532	0.689	0.800	0.530	0.600	0.800	32.25
0.900	0.179	0.282	0.900	0.170	0.230	0.900	29.97
ENTALPIAS E ENTROPIAS PARCIAIS MOLARES DO METAL 2							
ESTE TRABALHO		LITERATURA		DIFERENÇA PERCENTUAL		ESTE TRABALHO	
N1	DH2	0.52	N1	DH2	0.52	N1	DH2
0.100	2.4*	0.228	0.100	3.0*	0.230	0.100	-20.64
0.200	1.04*	0.526	0.200	1.20*	0.530	0.200	-13.25
0.300	2.58*	0.909	0.300	2.76*	0.900	0.300	-6.61
0.400	507*	1.401	0.400	490*	1.350	0.400	3.56
0.500	887*	2.034	0.500	790*	1.900	0.500	12.27
0.600	1449	2.857	0.600	1.220*	2.580	0.600	18.73
0.700	2.260*	3.919	0.700	1.830*	3.420	0.700	24.57
0.800	3.545*	5.469	0.800	2.880*	4.540	0.800	15.48
0.900	5.604*	7.043	0.900	4.230*	6.280	0.900	20.47
TEMPERATURA = 873.0 GRAUS KELVIN							
ATIVIDADES E COEFICIENTES DE ATIVIDADE DO METAL 1		LITERATURA		DIFERENÇA PERCENTUAL		ESTE TRABALHO	
ESTE TRABALHO		LITERATURA		ESTE TRABALHO		LITERATURA	
N1	A1	GAMAI	N1	A1	GAMAI	N1	A1
0.100	0.243	2.432	0.100	0.254	2.538	0.100	-4.26
0.200	0.446	2.242	0.200	0.462	2.310	0.200	-2.95
0.300	0.617	2.055	0.300	0.631	2.102	0.300	-2.23
0.400	0.747	1.873	0.400	0.765	1.913	0.400	-2.12
0.500	0.847	1.500	0.500	0.870	0.930	0.500	-2.62
0.600	0.913	1.522	0.600	0.936	1.561	0.600	-2.46
0.700	0.949	1.450	0.700	0.969	1.740	0.700	-2.03
0.800	0.961	1.201	0.800	0.972	1.214	0.800	-1.04
0.900	0.962	1.009	0.900	0.976	1.084	0.900	-1.42
ATIVIDADES E COEFICIENTES DE ATIVIDADE DO METAL 2							
ESTE TRABALHO		LITERATURA		DIFERENÇA PERCENTUAL		ESTE TRABALHO	
N1	A2	GAMAI	N1	A2	GAMAI	N1	A2
0.100	0.904	1.004	0.100	0.905	1.006	0.100	-0.14
0.200	0.815	1.019	0.200	0.819	1.023	0.200	-0.16
0.300	0.734	1.049	0.300	0.739	1.055	0.300	-0.63
0.400	0.662	1.103	0.400	0.667	1.111	0.400	-0.74
0.500	0.599	1.198	0.500	0.601	1.202	0.500	-0.31
0.600	0.547	1.318	0.600	0.550	1.376	0.600	-0.55
0.700	0.510	1.700	0.700	0.517	1.724	0.700	-1.38
0.800	0.492	2.462	0.800	0.495	2.574	0.800	-4.37
0.900	0.488	4.834	0.900	0.486	4.857	0.900	-1.10



**ENTALPIAS E ENTROPIAS PARCIAIS MOLARES DO METAL 1
ESTE TRABALHO LITERATURA**

	N1	DH1	DS1	N1	DH1	DS1		N1	DH1	DS1	DIFERENCA PERCENTUAL
0.100	3679.	7.024	0.100	2920.	6.059	0.100	26.00	15.74			
0.200	3228.	5.292	0.200	2582.	4.492	0.200	25.03	17.81			
0.300	2771.	4.135	0.300	2176.	3.408	0.300	27.33	21.33			
0.400	2310.	3.220	0.400	1778.	2.569	0.400	29.90	25.34			
0.500	1844.	2.647	0.500	1481.	1.973	0.500	24.80	24.02			
0.600	1392.	1.776	0.600	1104.	1.395	0.600	26.09	27.28			
0.700	949.	1.190	0.700	686.	0.849	0.700	38.28	40.20			
0.800	532.	0.689	0.800	341.	0.449	0.800	56.14	53.41			
0.900	179.	0.282	0.900	97.	0.160	0.900	84.49	75.99			

**ENTALPIAS E ENTROPIAS PARCIAIS MOLARES DO METAL 2
ESTE TRABALHO LITERATURA**

	N1	DH2	DS2	N1	DH2	DS2		N1	DH2	DS2	DIFERENCA PERCENTUAL
0.100	24.	0.228	0.100	16.	0.217	0.100	48.81	5.25			
0.200	104.	0.526	0.200	77.	0.488	0.200	35.20	7.69			
0.300	258.	0.999	0.300	215.	0.849	0.300	19.80	7.02			
0.400	507.	1.401	0.400	430.	1.299	0.400	17.98	7.82			
0.500	887.	2.034	0.500	669.	1.778	0.500	32.58	14.39			
0.600	1449.	2.857	0.600	1134.	2.486	0.600	27.73	14.91			
0.700	2280.	3.949	0.700	1923.	3.513	0.700	18.54	12.42			
0.800	3545.	5.469	0.800	2966.	4.717	0.800	19.54	15.95			
0.900	5604.	7.843	0.900	4370.	6.408	0.900	28.23	22.40			

APÊNDICE XVIII

RESULTADOS FORNECIDOS PELO ALGORITMO, PARA O SISTEMA
Zn-Bi, UTILIZANDO-SE DADOS EXPERIMENTAIS DE HASS -
JELLINEK⁽¹²⁾

CONSTANTES DA EQUACAO DE LUMSDEN EPSIL = -3306.08
 SIGMA = -5.84 F1 = 3.33
 ZETA = 4904.41

SISTEMA ZINCO - BISMUTO

METAL 1 = ZINCO

METAL 2 = BISMUTO

PONTOS EXPERIMENTAIS NO MG CONSIDERADOS DE HASS-JELLINEK

PONTOS NO MISCIBILITY GAP	TG	N1E	N2E	N1D	N2D	A1	A2
400.0	0.9912	0.0098	0.3976	0.6024	0.9924	0.6825	0.6810
410.0	0.9905	0.0095	0.4018	0.5982	0.9919	0.6810	
420.0	0.9897	0.0113	0.4061	0.5939	0.9914	0.6799	
430.0	0.9890	0.0110	0.4105	0.5895	0.9909	0.6796	
440.0	0.9882	0.0118	0.4149	0.5851	0.9903	0.6773	
450.0	0.9873	0.0127	0.4194	0.5806	0.9907	0.6760	
460.0	0.9865	0.0135	0.4240	0.5760	0.9901	0.6745	
470.0	0.9855	0.0145	0.4286	0.5714	0.9904	0.6733	
480.0	0.9845	0.0155	0.4332	0.5668	0.9878	0.6722	
490.0	0.9835	0.0165	0.4380	0.5620	0.9871	0.6708	
500.0	0.9824	0.0176	0.4427	0.5573	0.9864	0.6697	
510.0	0.9812	0.0188	0.4476	0.5524	0.9857	0.6684	
520.0	0.9800	0.0200	0.4526	0.5474	0.9849	0.6671	
530.0	0.9787	0.0213	0.4576	0.5424	0.9842	0.6657	
540.0	0.9773	0.0227	0.4627	0.5373	0.9834	0.6645	
550.0	0.9759	0.0241	0.4679	0.5321	0.9825	0.6635	
560.0	0.9744	0.0256	0.4732	0.5289	0.9817	0.6621	
570.0	0.9727	0.0273	0.4785	0.5215	0.9808	0.6610	
580.0	0.9711	0.0289	0.4840	0.5160	0.9799	0.6598	
590.0	0.9693	0.0307	0.4896	0.5104	0.9790	0.6586	
600.0	0.9674	0.0326	0.4953	0.5047	0.9781	0.6574	
610.0	0.9654	0.0346	0.5011	0.4999	0.9771	0.6562	
620.0	0.9633	0.0367	0.5070	0.4939	0.9762	0.6551	
630.0	0.9611	0.0389	0.5131	0.4889	0.9752	0.6538	
640.0	0.9587	0.0413	0.5193	0.4807	0.9741	0.6526	
650.0	0.9562	0.0438	0.5257	0.4743	0.9731	0.6516	
660.0	0.9535	0.0465	0.5322	0.4678	0.9720	0.6504	
670.0	0.9509	0.0492	0.5390	0.4610	0.9709	0.6491	
680.0	0.9478	0.0522	0.5459	0.4541	0.9697	0.6480	
690.0	0.9445	0.0555	0.5530	0.4470	0.9686	0.6470	
700.0	0.9411	0.0589	0.5603	0.4397	0.9674	0.6458	
710.0	0.9374	0.0626	0.5679	0.4321	0.9662	0.6448	
720.0	0.9335	0.0665	0.5759	0.4241	0.9649	0.6436	
730.0	0.9292	0.0708	0.5840	0.4160	0.9637	0.6426	
740.0	0.9246	0.0754	0.5925	0.4075	0.9624	0.6415	
750.0	0.9197	0.0803	0.6016	0.3994	0.9611	0.6404	
760.0	0.9140	0.0860	0.6108	0.3922	0.9597	0.6395	
770.0	0.9080	0.0920	0.6207	0.3793	0.9583	0.6385	
780.0	0.9016	0.0974	0.6314	0.3636	0.9569	0.6373	
790.0	0.8945	0.1055	0.6430	0.3570	0.9555	0.6363	
800.0	0.8862	0.1138	0.6553	0.3447	0.9540	0.6353	
810.0	0.8765	0.1235	0.6698	0.3312	0.9525	0.6344	
820.0	0.8650	0.1350	0.6839	0.3161	0.9510	0.6334	
830.0	0.8507	0.1493	0.7016	0.2994	0.9495	0.6325	
840.0	0.8336	0.1664	0.7270	0.2730	0.9479	0.6315	

PONTOS NA LINHA LIQUIDOS

LADO ESQUERDO SUPERIOR

	TC	N1	N2	A1	A2
419.17	0.993E 00	0.770E-03	0.899E 00	0.6333E-01	
418.80	0.996E 00	0.140E-02	0.996E 00	0.124E 00	
418.45	0.997E 00	0.210E-02	0.998E 00	0.182E 00	
418.10	0.9972E 00	0.860E-02	0.9973E 00	0.237E 00	
417.76	0.995E 00	0.451E-02	0.996E 00	0.299E 00	
417.43	0.998E 00	0.420E-02	0.9961E 00	0.341E 00	
417.11	0.991E 00	0.450E-02	0.9955E 00	0.399E 00	
416.80	0.964E 00	0.469E-02	0.9749E 00	0.431E 00	
416.49	0.937E 00	0.530E-02	0.9943E 00	0.481E 00	
416.19	0.9910E 00	0.700E-02	0.9938E 00	0.524E 00	
415.90	0.9923E 00	0.170E-02	0.9933E 00	0.564E 00	

LADO ESQUERDO INFERIOR

	TC	N1	N2	A1	A2
432.84	0.4455E 00	0.4549E 00	0.1024E C1	0.6614E 00	
415.53	0.4040E 00	0.1955E 00	0.922E 00	0.590E 00	
393.77	0.3665E 00	0.6355E 00	0.917E 00	0.7012E 00	
361.16	0.3240E 00	0.5760E 00	0.896E 00	0.729E 00	
335.27	0.2835E 00	0.1655E 00	0.8373E 00	0.7509E 00	
291.72	0.2430E 00	0.5755E 00	0.7606E 00	0.7775E 00	
254.14	0.2025E 00	0.1975E 00	0.5683E 00	0.8106E 00	

LADO DIREITO

	TC	N1	N2	A1	A2
269.64	0.750E-02	0.902E 00	0.2817E-01	0.9925E 00	
264.95	0.150E-01	0.950E 00	0.5609E-01	0.9851E 00	
264.27	0.2250E-01	0.5775E 00	0.2774E-01	0.9775E 00	
264.58	0.3900E-01	0.3700E 00	0.1111E 00	0.9703E 00	
252.91	0.3750E-01	0.9625E 00	0.1383E 00	0.9629E 00	
261.24	0.4500E-01	0.5555E 00	0.1052E 00	0.9538E 00	
259.57	0.5250E-01	0.1919E 00	0.9481E 00	0.9410E 00	
257.91	0.6030E-01	0.4400E 00	0.2183E 00	0.9326E 00	
256.26	0.6705E-01	0.3250E 00	0.2445E 00	0.9334E 00	
254.61	0.7500E-01	0.2525E 00	0.2704E 00	0.9266E 00	
252.96	0.8250E-01	0.9175E 00	0.2956E 00	0.9195E 00	

PONTOS PRINCIPAIS DO DIAGRAMA

PONTO CRITICO	ESTE TRASALHO	LITERATURA	DIFERENCA PERCENTUAL
MUNDISTICO ESQUERDO	TC N1 0.796E 00 0.99CE 00 0.599E 00 -0.106E 00	TC N1 0.950E 00 0.99E 00 0.599E 00 0.111E 01	TC N1 0.150E 00 0.600E 00 0.637E 00 0.510E-01
MUNDISTICO DIREITO	TC N2 0.214E 00 0.99E 00 0.599E 00 0.111E 01	TC N2 0.99E 00 0.99E 00 0.599E 00 0.919E 00	TC N2 -7.56 -0.27 -0.16 -231.12
EUFETICO			





TERMODINÂMICA
TEMPERATURA = 873.0 GRAUS KELVIN

ATIVIDADES E COEFICIENTES DE ATIVIDADE DO METAL 1

ESTE TRABALHO			LITERATURA			DIFERENÇA PERCENTUAL		
N1	A1	GAMA1	N1	A1	GAMA1	N1	A1	GAMA1
0.100	0.341	3.405	0.100	0.259	2.591	0.100	31.47	31.42
0.200	0.598	2.988	0.200	0.465	2.323	0.200	28.50	28.61
0.300	0.783	2.609	0.300	0.630	2.098	0.300	24.23	24.35
0.400	0.907	2.267	0.400	0.759	1.898	0.400	19.49	19.46
0.500	0.981	1.961	0.500	0.860	1.721	0.500	14.03	13.96
0.600	1.013	1.689	0.600	0.930	1.551	0.600	8.96	8.85
0.700	1.014	1.449	0.700	0.969	1.384	0.700	4.69	4.71
0.800	0.995	1.243	0.800	0.976	1.219	0.800	1.92	2.00
0.900	0.972	1.080	0.900	0.980	1.089	0.900	-0.79	-0.80

ATIVIDADES E COEFICIENTES DE ATIVIDADE DO METAL 2

ESTE TRABALHO			LITERATURA			DIFERENÇA PERCENTUAL		
N1	A2	GAMA2	N1	A2	GAMA2	N1	A2	GAMA2
0.100	0.906	1.007	0.100	0.905	1.006	0.100	0.13	0.08
0.200	0.824	1.031	0.200	0.821	1.026	0.200	0.42	0.45
0.300	0.755	1.079	0.300	0.742	1.060	0.300	1.75	1.75
0.400	0.698	1.164	0.400	0.672	1.120	0.400	3.91	3.91
0.500	0.656	1.312	0.500	0.602	1.213	0.500	8.03	8.12
0.600	0.631	1.577	0.600	0.552	1.391	0.600	14.27	14.19
0.700	0.631	2.102	0.700	0.513	1.711	0.700	22.93	22.86
0.800	0.571	3.355	0.800	0.505	2.524	0.800	32.37	32.93
0.900	0.764	7.645	0.900	0.486	4.857	0.900	57.30	57.39

ENTALPIAS E ENTROPIAS PARCIAIS MOLARES DO METAL 1

ESTE TRABALHO			LITERATURA			DIFERENÇA PERCENTUAL		
N1	DH1	DS1	N1	DH1	DS1	N1	DH1	DS1
0.100	133.	2.293	0.100	3140.	6.280	0.100	-95.74	-63.48
0.200	311.	1.379	0.200	2635.	4.540	0.200	-88.21	-69.62
0.300	458.	1.012	0.300	2180.	3.420	0.300	-78.48	-70.41
0.400	567.	0.843	0.400	1770.	2.580	0.400	-67.98	-67.31
0.500	626.	0.756	0.500	1400.	1.910	0.500	-55.31	-60.23
0.600	623.	0.687	0.600	1050.	1.350	0.600	-40.56	-49.09
0.700	547.	0.597	0.700	730.	0.900	0.700	-25.14	-33.61
0.800	388.	0.455	0.800	420.	0.530	0.800	-7.55	-14.09
0.900	164.	0.244	0.900	170.	0.230	0.900	-3.65	5.90

ENTALPIAS E ENTROPIAS PARCIAIS MOLARES DO METAL 2

ESTE TRABALHO			LITERATURA			DIFERENÇA PERCENTUAL		
N1	DH2	DS2	N1	DH2	DS2	N1	DH2	DS2
0.100	-11.	0.184	0.100	30.	0.230	0.100	-135.20	-27.12
0.200	-42.	0.336	0.200	120.	0.530	0.200	-134.86	-36.68
0.300	-91.	0.454	0.300	270.	0.900	0.300	-133.62	-49.51
0.400	-149.	0.543	0.400	400.	1.350	0.400	-130.34	-59.76
0.500	-196.	0.614	0.500	790.	1.900	0.500	-124.76	-67.67
0.600	-190.	0.679	0.600	1220.	2.580	0.600	-115.54	-72.93
0.700	-40.	0.870	0.700	1830.	3.420	0.700	-102.21	-74.57
0.800	454.	1.313	0.800	2780.	4.540	0.800	-93.57	-71.08
0.900	1801.	2.596	0.900	4230.	6.280	0.900	-57.43	-58.66

TEMPERATURA = 873.0 GRAUS KELVIN

CENTRO DE COMPUTAÇÃO DA U.F.M.G.

CENTRO DE COMPUTAÇÃO DA U.F.M.G.

ATIVIDADES E COEFICIENTES DE ATIVIDADE DO METAL 1		LITERATURA		DIFERENÇA PERCENTUAL	
ESTE TRABALHO	LITERATURA	ESTE TRABALHO	LITERATURA	N1	DIFERENÇA PERCENTUAL
N1	A1	GAMA1	N1	A1	GAMA1
0.100	0.341	3.405	0.100	0.254	34.06
0.200	0.299	2.088	0.200	0.258	34.17
0.300	0.183	2.609	0.300	0.262	29.33
0.400	0.097	2.657	0.400	0.310	29.33
0.500	0.091	1.961	0.500	0.631	24.03
0.600	1.013	1.689	0.600	1.913	24.11
0.700	1.014	1.449	0.700	0.870	18.55
0.800	0.995	1.243	0.800	0.870	18.52
0.900	0.972	1.030	0.900	0.976	12.72
					12.72
					8.20
					6.69
					4.71
					2.42
					-0.34
					-0.34
ENTALPIAS E ENTROPIAS PARCIAIS MOLARES DO METAL 2		LITERATURA		DIFERENÇA PERCENTUAL	
ESTE TRABALHO	LITERATURA	ESTE TRABALHO	LITERATURA	N1	DIFERENÇA PERCENTUAL
N1	DH1	US1	N1	DH1	DIFERENÇA PERCENTUAL
0.100	1.33	2.293	0.100	0.915	0.100
0.200	311.	1.379	0.200	0.918	0.200
0.300	450.	1.012	0.300	0.923	0.299
0.400	557.	0.943	0.400	0.935	0.294
0.500	626.	0.756	0.500	0.939	0.294
0.600	623.	0.687	0.600	0.940	0.294
0.700	547.	0.597	0.700	0.942	0.294
0.800	388.	0.435	0.800	0.944	0.294
0.900	164.	0.244	0.900	0.946	0.294
					0.294
ENTALPIAS E ENTROPIAS PARCIAIS MOLARES DO METAL 2		LITERATURA		DIFERENÇA PERCENTUAL	
ESTE TRABALHO	LITERATURA	ESTE TRABALHO	LITERATURA	N1	DIFERENÇA PERCENTUAL
N1	DH2	DS2	N1	DH2	DIFERENÇA PERCENTUAL
0.100	0.100	0.217	0.100	0.160	-15.34
0.200	-11.	0.184	0.200	0.200	-15.33
0.300	-42.	0.336	0.300	0.468	-31.23
0.400	-91.	0.454	0.400	0.649	-49.48
0.500	-149.	0.443	0.500	0.869	-52.18
0.600	-196.	0.614	0.600	1.269	-54.06
0.700	-699.	0.600	0.700	1.778	-63.57
0.800	-190.	0.470	0.800	0.500	-47.57
0.900	454.	0.400	0.900	0.700	-29.62
1.001	2.596	0.900	1.001	0.900	11.41
					11.41
					8.87
					6.86
					5.22

APÊNDICE XIX

RESULTADOS FORNECIDOS PELO ALGORÍTMO, PARA O SISTEMA
Zn-Bi, UTILIZANDO-SE DADOS EXPERIMENTAIS DE SPRING-
ROMANOFF⁽¹⁴⁾

CENTRO DE COMPUTAÇÃO DA U.F.M.G.

CENTRO DE COMPUTAÇÃO DA U.F.M.G.

CONSTANTES DA EQUAÇÃO DE LUMSDEN		$\epsilon_{PSL} = -2839.55$		$\epsilon_{PSL} = -2839.55$		$\epsilon_{PSL} = -2839.55$	
		SIGMA	F1	SIGMA	F1	SIGMA	F1
		= 483.8-30		= 483.8-30		= 483.8-30	
PONTOS NO MISCELLY GAP							
TC	N1F	N2E	N1D	N2D	Al	A2	
400.0	0.9979	0.9992	0.3416	0.6556	0.9921	0.7334	
410.0	0.9971	0.9999	0.3516	0.6536	0.9916	0.7313	
420.0	0.9873	0.9997	0.3713	0.6487	0.9910	0.7295	
430.0	0.9594	0.9916	0.3763	0.6437	0.9903	0.7275	
440.0	0.9375	0.9825	0.3813	0.6387	0.9897	0.7257	
450.0	0.9395	0.9815	0.3825	0.6364	0.9893	0.7238	
460.0	0.9555	0.9815	0.3715	0.6255	0.9923	0.7219	
470.0	0.9844	0.9816	0.3767	0.6233	0.9916	0.7201	
480.0	0.9633	0.9817	0.3917	0.6180	0.9878	0.7191	
490.0	0.9870	0.9818	0.4126	0.6126	0.9960	0.7162	
500.0	0.9707	0.9819	0.3928	0.6072	0.9852	0.7146	
510.0	0.9704	0.9826	0.4236	0.6014	0.9943	0.7128	
520.0	0.9779	0.9821	0.4240	0.5960	0.9835	0.7109	
530.0	0.9753	0.9823	0.4497	0.5903	0.9825	0.7092	
540.0	0.9747	0.9823	0.4515	0.5845	0.9816	0.7075	
550.0	0.9729	0.9827	0.4714	0.5786	0.9806	0.7056	
560.0	0.9711	0.9829	0.4774	0.5726	0.9795	0.7038	
570.0	0.9991	0.9339	0.4335	0.5665	0.9786	0.7023	
580.0	0.9670	0.9330	0.4329	0.5602	0.9775	0.7016	
590.0	0.9648	0.9352	0.4462	0.5538	0.9764	0.6998	
600.0	0.9624	0.9376	0.4528	0.5472	0.9752	0.6972	
610.0	0.9599	0.9471	0.4595	0.5405	0.9741	0.6956	
620.0	0.9572	0.9428	0.4663	0.5337	0.9729	0.6941	
630.0	0.9553	0.9473	0.4733	0.5267	0.9716	0.6924	
640.0	0.9514	0.9514	0.4836	0.5194	0.9704	0.6905	
650.0	0.9480	0.9520	0.4980	0.5120	0.9690	0.6893	
660.0	0.9465	0.9525	0.4957	0.5063	0.9676	0.6875	
670.0	0.9468	0.9608	0.0592	0.4936	0.9662	0.6850	
680.0	0.9466	0.9634	0.0517	0.4949	0.9648	0.6847	
690.0	0.9333	0.9577	0.573	0.4797	0.9633	0.6830	
700.0	0.9275	0.9549	0.573	0.4710	0.9618	0.6816	
710.0	0.9223	0.9577	0.5818	0.4618	0.9603	0.6801	
720.0	0.9168	0.9532	0.5478	0.4522	0.9587	0.6787	
730.0	0.9106	0.9594	0.5278	0.4522	0.9570	0.6773	
740.0	0.9038	0.9552	0.5094	0.4316	0.9554	0.6760	
750.0	0.9036	0.9534	0.5500	0.4270	0.9537	0.6745	
760.0	0.8979	0.9121	0.5518	0.4092	0.9519	0.6733	
770.0	0.8792	0.4208	0.5525	0.4717	0.9717	0.6717	
780.0	0.8684	0.4116	0.5818	0.4777	0.9702	0.6705	
790.0	0.8543	0.4106	0.5832	0.4822	0.9693	0.6692	
800.0	0.8437	0.4143	0.5846	0.4834	0.9685	0.6681	
810.0	0.8319	0.4162	0.5856	0.4845	0.9677	0.6667	
820.0	0.8231	0.4179	0.5860	0.4856	0.9671	0.6657	
830.0	0.8109	0.4191	0.5863	0.4865	0.9667	0.6647	

PONTOS EXPERIMENTAIS NO MG CONSIDERADOS DE SPRING-ROMANDOFF

SISTEMA ZINCO - BISMUTO

METAL 1 = ZINCO

METAL 2 = BISMUTO

PONTOS NA LINHA LÍQUIDOS

LADO ESQUERDO SUPERIOR	TC	N1	N2	A1	A2
419.17	0.9992E+00	0.760CE-03	0.9992E+00	0.9992E+00	0.6466E-01
418.80	0.9986E+00	0.14C0E-02	0.9986E+00	0.1268E+00	0.1268E+00
418.44	0.9978E+00	0.2103E-02	0.9980E+00	0.1865E+00	0.1865E+00
418.07	0.9971E+00	0.2902E-02	0.9980E+00	0.9980E+00	0.9980E+00
417.75	0.9965E+00	0.3702E-02	0.9977E+00	0.2438E+00	0.2438E+00
417.47	0.9960E+00	0.4502E-02	0.9975E+00	0.2989E+00	0.2989E+00
417.20	0.9955E+00	0.5302E-02	0.9971E+00	0.3517E+00	0.3517E+00
417.10	0.9951E+00	0.4902E-02	0.9965E+00	0.4525E+00	0.4525E+00
416.78	0.9944E+00	0.5602E-02	0.9964E+00	0.5111E+00	0.5111E+00
416.47	0.9937E+00	0.6302E-02	0.9964E+00	0.5978E+00	0.5978E+00
416.17	0.9930E+00	0.7002E-02	0.9973E+00	0.6426E+00	0.6426E+00
415.87	0.9923E+00	0.7702E-02	0.9932E+00	0.5855E+00	0.5855E+00

LADO ESQUERDO INFERIOR

TC	N1	N2	A1	A2
432.23	0.1961E+00	0.6139E+00	0.1023E+01	0.7132E+00
415.99	0.3511E+00	0.6191E+00	0.9944E+00	0.7294E+00
396.07	0.3158E+00	0.6441E+00	0.9500E+00	0.7477E+00
372.08	0.2890E+00	0.6492E+00	0.9100E+00	0.6709E+00
343.60	0.2451E+00	0.7193E+00	0.8534E+00	0.7900E+00
310.16	0.2106E+00	0.7894E+00	0.7581E+00	0.8142E+00
271.25	0.1759E+00	0.8245E+00	0.7032E+00	0.8442E+00
226.19	0.1404E+00	0.8596E+00	0.6606E+00	0.8697E+00

LADO DIREITO

TC	N1	N2	A1	A2
269.62	0.760CE-02	0.9244E+00	0.3655E-01	0.9244E+00
267.92	0.1520E-01	0.9448E+00	0.7261E-01	0.9448E+00
266.22	0.2298E-01	0.9772E+00	0.1081E+00	0.9775E+00
254.54	0.3445E-01	0.9195E+00	0.1423E+00	0.9190E+00
262.94	0.3800E-01	0.9420E+00	0.1717E+00	0.9621E+00
261.20	0.4560E-01	0.9144E+00	0.2111E+00	0.9554E+00
259.54	0.5320E-01	0.9468E+00	0.2458E+00	0.9482E+00
257.80	0.6089E-01	0.9192E+00	0.2791E+00	0.9410E+00
256.20	0.6849E-01	0.9216E+00	0.3119E+00	0.9339E+00
254.64	0.7608E-01	0.9240E+00	0.3442E+00	0.9268E+00
253.02	0.8350E-01	0.9164E+00	0.3761E+00	0.9198E+00

PONTOS PRINCIPAIS DO DIAGRAMA

ESTE TRABALHO	TC	N1	N2	TC	N1	N2	TC	N1	N2	DIFERENCA PERCENTUAL
PONTO CRITICO	823.6	0.756E+00	0.244E+00	605.0	0.850E+00	0.150E+00	36.14	-11.07	62.73	
MONOTETICO ESQUERDO	414.6	0.990E+00	0.104E+01	416.0	0.944E+00	0.100E+02	-0.33	-0.64	72.52	
MONOTETICO DIREITO	415.1	0.349E+00	0.511E+00	416.0	0.303E+00	0.303E+00	-0.42	-5.08	2.34	
EUFETICO	239.6	0.150E+00	0.850E+00	234.5	0.810E+01	0.19E+00	-5.87	85.60	-7.55	

TERMODINAMICA
TEMPERATURA = 873.0GRAUS KELVIN

ATIVIDADES E COEFICIENTES DE ATIVIDADE DO METAL 1

ESTE TRABALHO			LITERATURA			DIFERENCA PERCENTUAL		
N1	A1	GAMA1	N1	A1	GAMA1	N1	A1	GAMA1
0.100	0.380	3.797	0.100	0.259	2.591	0.100	46.62	46.56
0.200	0.648	3.242	0.200	0.465	2.323	0.200	39.46	39.58
0.300	0.828	2.762	0.300	0.630	2.098	0.300	31.50	31.53
0.400	0.939	2.348	0.400	0.759	1.898	0.400	23.73	23.70
0.500	0.997	1.994	0.500	0.860	1.721	0.500	15.93	15.87
0.600	1.016	1.694	0.600	0.930	1.551	0.600	9.27	9.20
0.700	1.009	1.441	0.700	0.969	1.384	0.700	4.11	4.13
0.800	0.987	1.234	0.800	0.976	1.219	0.800	1.11	1.10
0.900	0.968	1.075	0.900	0.980	1.089	0.900	-1.24	-1.25

ATIVIDADES E COEFICIENTES DE ATIVIDADE DO METAL 2

ESTE TRABALHO			LITERATURA			DIFERENCA PERCENTUAL		
N1	A2	GAMA2	N1	A2	GAMA2	N1	A2	GAMA2
0.100	0.908	1.008	0.100	0.905	1.006	0.100	0.28	0.24
0.200	0.830	1.037	0.200	0.821	1.026	0.200	1.06	1.09
0.300	0.766	1.095	0.300	0.742	1.060	0.300	3.26	3.26
0.400	0.717	1.195	0.400	0.672	1.120	0.400	6.71	6.71
0.500	0.684	1.367	0.500	0.602	1.213	0.500	13.55	12.71
0.600	0.669	1.671	0.600	0.552	1.331	0.600	21.12	21.04
0.700	0.679	2.263	0.700	0.513	1.711	0.700	32.31	32.24
0.800	0.727	3.634	0.800	0.505	2.524	0.800	43.93	43.99
0.900	0.810	8.102	0.900	0.486	4.857	0.900	66.70	66.80

ENTALPIAS E ENTROPIAS PARCIAIS MOLARES DO METAL 1

ESTE TRABALHO			LITERATURA			DIFERENCA PERCENTUAL		
N1	DH1	DS1	N1	DH1	DS1	N1	DH1	DS1
0.100	420.	2.405	0.100	3140.	6.280	0.100	-95.64	-61.71
0.200	552.	1.504	0.200	2635.	4.540	0.200	-78.68	-66.87
0.300	671.	1.163	0.300	2180.	3.420	0.300	-69.21	-56.58
0.400	740.	0.973	0.400	1770.	2.580	0.400	-58.17	-42.30
0.500	758.	0.875	0.500	1400.	1.900	0.500	-45.83	-33.27
0.600	716.	0.788	0.600	1050.	1.350	0.600	-31.86	-41.65
0.700	602.	0.672	0.700	730.	0.900	0.700	-17.57	-25.35
0.800	413.	0.499	0.800	420.	0.530	0.800	-1.69	-5.79
0.900	169.	0.259	0.900	170.	0.230	0.900	-0.53	12.49

ENTALPIAS E ENTROPIAS PARCIAIS MOLARES DO METAL 2

ESTE TRABALHO			LITERATURA			DIFERENCA PERCENTUAL		
N1	DH2	DS2	N1	DH2	DS2	N1	DH2	DS2
0.100	-9.	0.193	0.100	30.	0.230	0.100	-129.22	-20.55
0.200	-34.	0.332	0.200	120.	0.530	0.200	-128.08	-37.38
0.300	-70.	0.449	0.300	270.	0.900	0.300	-125.90	-50.10
0.400	-106.	0.539	0.400	490.	1.350	0.400	-121.69	-60.07
0.500	-120.	0.619	0.500	790.	1.900	0.500	-115.16	-67.43
0.600	-66.	0.726	0.600	1220.	2.580	0.600	-105.27	-71.85
0.700	154.	0.947	0.700	1830.	3.420	0.700	-91.56	-72.31
0.800	741.	1.483	0.800	2780.	4.540	0.800	-73.34	-67.33
0.900	2197.	2.935	0.900	4230.	6.280	0.900	-48.06	-53.26

TEMPERATURA = 873.0GRAUS KELVIN

ATIVIDADES E COEFICIENTES DE ATIVIDADE DO METAL 1				DIFERENÇA PERCENTUAL				
ESTE TRABALHO		LITERATURA		ESTE TRABALHO		LITERATURA		
Ni	Al	GAMAI	Ni	Ni	Al	GAMAI	Ni	
0.0100	0.380	3.797	0.100	0.254	2.538	0.100	49.51	
0.200	0.646	3.242	0.200	0.462	2.310	0.200	40.36	
0.300	0.828	2.762	0.300	0.631	2.102	0.300	31.29	
0.400	0.939	2.348	0.400	0.765	1.913	0.400	22.76	
0.500	0.997	1.994	0.500	0.970	1.740	0.500	17.60	
0.600	1.016	1.694	0.600	0.935	1.561	0.600	14.60	
0.700	1.009	1.441	0.700	0.959	1.384	0.700	9.50	
0.800	0.987	1.234	0.800	0.972	1.214	0.800	4.13	
0.900	0.968	1.075	0.900	0.976	1.084	0.900	1.61	
0.950	0.910	0.903	0.950	0.905	0.900	0.950	-0.84	
0.960	0.890	0.830	0.900	0.815	0.823	0.900	-0.24	
0.970	0.870	0.837	0.900	0.739	1.055	0.900	10.36	
0.980	0.850	0.865	0.900	0.700	1.111	0.900	3.68	
0.990	0.830	0.717	0.900	0.467	1.111	0.900	3.75	
0.500	0.684	1.367	0.500	0.601	1.202	0.500	7.57	
0.600	0.669	1.671	0.600	0.550	1.376	0.600	13.74	
0.700	0.779	2.263	0.700	0.517	1.724	0.700	21.48	
0.800	0.827	3.634	0.800	0.515	2.574	0.800	31.24	
0.900	0.810	8.102	0.900	0.494	4.938	0.900	41.19	
0.950	0.810	0.810	0.900	0.494	0.900	0.900	64.00	
0.960	0.810	0.810	0.900	0.494	0.900	0.900	64.07	
ENTALPIAS E ENTROPIAS PARCIAIS MOLARES DO METAL 1	DIFERENÇA PERCENTUAL				DIFERENÇA PERCENTUAL			
ESTE TRABALHO	LITERATURA	ESTE TRABALHO	LITERATURA	ESTE TRABALHO	LITERATURA	ESTE TRABALHO	LITERATURA	ESTE TRABALHO
Ni	Ni	DH1	DH1	Ni	Ni	DH1	DH1	Ni
0.100	0.100	2.420	0.100	0.160	2.920	0.100	-85.63	-67.38
0.200	0.200	0.562	0.200	0.200	0.720	0.200	-73.25	-65.52
0.300	0.300	1.153	0.300	0.300	2.176	0.300	-69.15	-66.46
0.400	0.400	1.740	0.400	0.400	1.776	0.400	-62.14	-59.37
0.500	0.500	1.758	0.500	0.500	1.481	0.500	-45.79	-55.67
0.600	0.600	1.716	0.600	0.600	1.395	0.600	-35.19	-43.54
0.700	0.700	0.602	0.700	0.600	0.664	0.700	-12.28	-20.87
0.800	0.800	0.413	0.800	0.800	0.341	0.800	-21.09	11.20
0.900	0.900	0.259	0.900	0.900	0.160	0.900	-74.32	61.70
ENTALPIAS E ENTROPIAS PARCIAIS MOLARES DO METAL 2	DIFERENÇA PERCENTUAL				DIFERENÇA PERCENTUAL			
ESTE TRABALHO	LITERATURA	ESTE TRABALHO	LITERATURA	ESTE TRABALHO	LITERATURA	ESTE TRABALHO	LITERATURA	ESTE TRABALHO
Ni	Ni	DH2	DH2	Ni	Ni	DH2	DH2	Ni
0.100	0.100	0.193	0.100	0.100	0.15*	0.100	-15.678	-15.79
0.200	0.200	0.342	0.200	0.200	0.483	0.200	-14.676	-31.90
0.300	0.300	0.449	0.300	0.300	0.349	0.300	-13.52	-47.10
0.400	0.400	0.539	0.400	0.400	0.400	0.400	-12.672	-18.50
0.500	0.500	0.619	0.500	0.500	0.500	0.500	-11.779	-65.420
0.600	0.600	0.644	0.500	0.500	0.686	0.600	-10.567	-70.76
0.700	0.700	0.647	0.700	0.700	0.700	0.700	-9.197	-71.05
0.800	0.800	1.463	0.800	0.800	2.968	0.800	-73.01	-68.56
0.900	0.900	2.935	0.900	0.900	4.370	0.900	-49.73	-56.20

APÊNDICE XX

Valores experimentais de temperatura e composição sobre a LLRIL, de WITTIG & KEIL⁽²⁵⁾, para o sistema Al-Bi.

T ⁰ C	N ^E _{Al}	N ^D _{Al}
677	0,9870	0,1723
704	0,9854	0,1894
809	0,9672	0,2823

APÊNDICE XXI

Valores experimentais de temperatura e composição sobre a LLRIL, de MARTIN-GARIN et alii⁽²⁹⁾, para o sistema Al-Bi.

T°C	N ^E _{Al}	N ^D _{Al}
691	0,9910	0,1632
733	0,9899	0,2254
817	0,9827	0,2931
919	0,9507	0,4000

APÊNDICE XXII

Valores experimentais de temperatura e composição sobre
a LLRIL, de PREDEL & SANDIG⁽²³⁾, para o sistema Al-Bi .

T°C	N ^E _{Al}	N ^D _{Al}
855	0,9777	0,33
930	0,9616	0,44
1000	0,9240	0,62

APÊNDICE XXIII

RESULTADOS FORNECIDOS PELO ALGORITMO, PARA O SISTEMA
Al-Bi, UTILIZANDO-SE DADOS EXPERIMENTAIS DE WITTIG
& KEIL⁽²⁵⁾

©

SISTEMA ALUMINIO - BISMUTO

METAL 1 = ALUMINIO

METAL 2 = BISMUTO

PONTOS EXPERIMENTAIS NO MG CONSIDERADOS DE WITTIG-KEIL

CONSTANTES DA EQUAÇÃO DE LUMSDEN
 EPSIL = 5334.71
 SIGMA = 0.83
 FI = 0.73
 ZETA = 2055.33

PONTOS NO MISCELLIBILITY GAP	TC	N1E	N2E	N1D	N2D	A1	A2
640.0	0.9204	0.0096	0.1471	0.8529	0.9915	0.8831	
650.0	0.9396	0.0124	0.1534	0.8465	0.9909	0.8790	
660.0	0.9393	0.0112	0.1599	0.8401	0.9903	0.8748	
670.0	0.9480	0.0123	0.1656	0.8334	0.9897	0.8704	
680.0	0.9871	0.0129	0.1735	0.8265	0.9890	0.8660	
690.0	0.9862	0.0138	0.1805	0.8195	0.9883	0.8616	
700.0	0.9852	0.0149	0.1978	0.8122	0.9876	0.8567	
710.0	0.9841	0.0159	0.1953	0.8047	0.9868	0.8525	
720.0	0.9830	0.0170	0.2130	0.7970	0.9960	0.8477	
730.0	0.9519	0.0181	0.2108	0.7892	0.9952	0.8429	
740.0	0.9806	0.0194	0.2190	0.7910	0.9944	0.8382	
750.0	0.9793	0.0217	0.2273	0.7727	0.9835	0.8335	
760.0	0.9779	0.0221	0.2359	0.7641	0.9826	0.8283	
770.0	0.9763	0.0237	0.2447	0.7553	0.9915	0.8236	
780.0	0.9748	0.0252	0.2538	0.7462	0.9906	0.8186	
790.0	0.9731	0.0259	0.2631	0.7389	0.9796	0.8134	
800.0	0.9713	0.0287	0.2728	0.7272	0.9785	0.8082	
810.0	0.9694	0.0316	0.2927	0.7173	0.9774	0.8029	
820.0	0.9573	0.0327	0.2928	0.7072	0.9763	0.7978	
830.0	0.9551	0.0310	0.3133	0.6957	0.9751	0.7926	
840.0	0.9529	0.0371	0.3142	0.6858	0.9739	0.7870	
850.0	0.9604	0.0396	0.3253	0.6747	0.9726	0.7817	
860.0	0.9577	0.0423	0.3368	0.6632	0.9713	0.7764	
870.0	0.9549	0.0451	0.3487	0.6513	0.9700	0.7702	
880.0	0.9518	0.0482	0.3610	0.6390	0.9686	0.7653	
890.0	0.9486	0.0514	0.3737	0.6263	0.9672	0.7596	
900.0	0.9450	0.0560	0.3868	0.6132	0.9657	0.7540	
910.0	0.9413	0.0587	0.4006	0.5994	0.9642	0.7480	
920.0	0.9370	0.0630	0.4147	0.5853	0.9626	0.7425	
930.0	0.9325	0.0675	0.4294	0.5706	0.9610	0.7366	
940.0	0.9277	0.0723	0.4449	0.5551	0.9594	0.7307	
950.0	0.9222	0.0778	0.4610	0.5390	0.9577	0.7248	
960.0	0.9163	0.0837	0.4780	0.5220	0.9559	0.7187	
970.0	0.9097	0.0973	0.4958	0.5042	0.9541	0.7127	
980.0	0.9022	0.0978	0.5148	0.4852	0.9523	0.7066	

990.0	0.5938	0.1052	0.5352	0.4648	0.0504
1000.0	0.5838	0.1162	0.5876	0.4193	0.5943
1010.0	0.8719	0.1281	0.5807	0.4193	0.5931
1020.0	0.5580	0.1120	0.66080	0.3920	0.6818
1030.0	0.3593	0.1507	0.6395	0.3605	0.6755
1040.0	0.8137	0.1853	0.6835	0.3100	0.6910

PONTOS NA LINHA LÍQUIDOS

LADO ESQUERDO SUPERIOR

TC	N1	N2	A1	A2
658.71	0.9038E-00	0.2035E-03	0.9038E-00	0.2035E-01
658.47	0.9036E-00	0.3907E-03	0.9036E-00	0.4097E-01
658.44	0.9014E-00	0.4128E-03	0.9014E-00	0.4111E-01
658.31	0.9032E-00	0.4001E-03	0.9032E-00	0.40115E-01
658.18	0.9025E-00	0.4000E-02	0.9025E-00	0.4001CE-00
658.05	0.9005E-00	0.4220E-02	0.9005E-00	0.412075E-00
658.02	0.9008E-00	0.4424E-02	0.9008E-00	0.414015E-00
657.92	0.9026E-00	0.4424E-02	0.9026E-00	0.414015E-00
657.79	0.9014E-00	0.4616E-02	0.9014E-00	0.415765E-00
657.66	0.9042E-00	0.4804E-02	0.9042E-00	0.417395E-00
657.53	0.9008E-00	0.4804E-02	0.9008E-00	0.419795E-00
657.40	0.9078E-00	0.2220E-02	0.9078E-00	0.21585E-00

LADO ESQUERDO INFERIOR

TC	N1	N2	A1	A2
660.72	0.1769E-00	0.8251E-00	0.1166E-01	0.8659E-00
656.18	0.1500E-00	0.9416E-00	0.9760E-00	0.3755E-00
645.95	0.1415E-00	0.8563E-00	0.9733E-00	0.8385E-00
623.05	0.1212E-00	0.7215E-00	0.2123E-00	0.8022E-00
614.40	0.1113E-00	0.6887E-00	0.1113E-00	0.8022E-00
582.40	0.945CE-01	0.6044E-00	0.8429E-00	0.9248E-00
556.16	0.7930E-01	0.5204E-00	0.8421E-00	0.9239E-00
525.33	0.6320E-01	0.2344E-00	0.7822E-00	0.9434E-00
497.61	0.4770E-01	0.5232E-00	0.7414E-00	0.9565E-00
437.43	0.2149E-01	0.7649E-00	0.6426E-00	0.9731E-00
363.67	0.1509E-01	0.9841E-00	0.5256E-00	0.9841E-00
-33.17	0.5096E-016	0.1030E-01	0.1828E-01	0.1030E-01

LADO DIREITO

TC	N1	N2	A1	A2
271.20	0.6600E-03	0.9946E-00	0.4210E-01	0.9946E-00
271.17	0.1200E-02	0.9895E-00	0.9520E-01	0.9895E-00
270.93	0.1800E-02	0.9820E-00	0.9932E-00	0.9932E-00
270.80	0.2400E-02	0.9970E-00	0.1676E-00	0.9970E-00
270.67	0.3000E-02	0.9970E-00	0.2115E-00	0.9970E-00
270.53	0.4600E-02	0.9964E-00	0.2522E-00	0.9964E-00
270.40	0.4200E-02	0.9958E-00	0.2946E-00	0.9958E-00
270.27	0.5400E-02	0.9952E-00	0.3359E-00	0.9952E-00
270.14	0.6000E-02	0.9946E-00	0.3770E-00	0.9946E-00
270.00	0.6000E-02	0.9940E-00	0.4178E-00	0.9940E-00
269.87	0.6600E-02	0.9934E-00	0.4555E-00	0.9934E-00

CENTRO DE COMPUTAÇÃO DA UFMG



CENTRO DE COMPUTAÇÃO DA UFMG



	ESTE TRABALHO		LITERATURA		DIFERENCA PERCENTUAL	
	N1	N2	TC	N1	N2	TC
PONTO CRITICO	1047.2	0.7194 09	0.2205 00	1054.0	0.1756 00	-0.227
MONOTETICO ESCURO	654.2	0.5995 00	0.1085 01	657.0	0.5946 00	-0.13
MONOTETICO DIREITO	652.9	0.5555 00	0.8455 00	657.0	0.1606 00	-2.24
EUTETICO	272.3	-0.3545 02	0.1000 21	270.0	0.5656 02	-1.63+10
				0.9946 00	0.9946 00	0.92

TERMODINAMICA = 1173.0 GRAUS KELVIN

CEN

ATIVIDADES E COEFICIENTES DE ATIVIDADE DO METAL 1

	ESTE TRABALHO		LITERATURA		DIFERENCA PERCENTUAL	
	N1	A1	GAMA1	N1	A1	GAMA1
0.100	0.447	0.447	0.440	0.441	0.441	0.444
0.200	0.727	0.727	0.720	0.751	0.755	-3.13
0.300	0.899	0.898	0.890	0.915	0.930	-2.70
0.400	0.973	0.973	0.970	0.984	0.980	0.07
0.500	1.044	1.044	1.040	1.050	1.050	0.20
0.600	1.074	1.074	1.070	1.076	1.078	0.17
0.700	0.937	0.937	1.410	0.970	0.967	4.15
0.800	0.966	0.966	1.258	0.980	0.984	0.25
0.900	0.937	0.937	1.264	0.980	0.984	-0.67

ATIVIDADES E ENTROPIAS PARCIAIS MOLARES DO METAL 2

	ESTE TRABALHO		LITERATURA		DIFERENCA PERCENTUAL	
	N1	A2	GAMA2	N1	A2	GAMA2
0.100	0.910	1.011	0.100	0.913	1.014	-0.32
0.200	0.839	1.149	0.200	0.777	1.134	1.44
0.300	0.786	1.123	0.300	0.776	1.109	0.30
0.400	0.750	1.250	0.400	0.756	1.260	-0.76
0.500	0.772	1.664	0.500	0.756	1.512	-3.19
0.600	0.753	1.837	0.600	0.756	1.890	-3.06
0.700	0.757	2.224	0.700	0.756	2.520	-19.6
0.800	0.818	4.460	0.800	0.756	3.700	6.68
0.900	0.845	8.453	0.900	0.756	7.560	11.81

ENTALPIAS E ENTROPIAS PARCIAIS MOLARES DO METAL 1

	ESTE TRABALHO		LITERATURA		DIFERENCA PERCENTUAL	
	N1	DH1	N1	DH1	N1	DH1
0.100	4.97	5.432	0.100	4.120*	5.139	0.100
0.200	4.279	3.916	0.200	3.638	3.671	5.52
0.300	3.221	2.977	0.300	3.532	3.188	-8.61
0.400	2.929	2.295	0.400	3.147*	2.754	-16.45
0.500	1.758	1.758	0.500	2.598	2.265	-22.39
0.600	1.314	0.660	0.600	2.031*	1.777	-23.63
0.700	1.063*	0.332	0.700	1.473*	1.289	-27.72
0.800	0.587	0.587	0.800	0.915	0.801	-33.47
0.900	0.809	2.11*	0.266	0.300	0.312	-40.92

ENTALPIAS E ENTROPIAS PARCIAIS MOLARES DO METAL 2

	ESTE TRABALHO		LITERATURA		DIFERENCA PERCENTUAL	
	N1	DH2	N1	DH2	N1	DH2
0.100	36.	0.218	0.100	31*	0.208	0.100
0.200	151.	0.477	0.200	117*	0.477	0.200
0.300	360.	0.785	0.300	154*	0.635	0.300
0.400	680.	1.151	0.400	427	0.923	0.400
0.500	1138.	1.590	0.500	1293*	1.658	0.500
0.600	1778.	2.133	0.600	2158*	2.393	0.600
0.700	2691.	2.448	0.700	3024*	2.134	0.700
0.800	4075.	3.897	0.800	3489*	3.872	0.800
0.900	6390.	5.739	0.900	4755*	6.610	0.900

APÊNDICE XXIV

RESULTADOS FORNECIDOS PELO ALGORITMO, PARA O SISTEMA
A1-Bi, UTILIZANDO-SE DADOS EXPERIMENTAIS DE MARTIN-
GARIN et alii⁽²⁹⁾



SISTEMA ALUMINIO - BISMUTO

METAL 1 = ALUMINIO

METAL 2 = BISMUTO

PONTOS EXPERIMENTAIS NO MG CONSIDERADOS DE MARTIN-GARIN

CONSTANTES DA EQUAÇÃO DE LUMSDEN
 EPSIL = 4576.54
 SIGMA = 0.78
 FI = 1.60
 ZETA = .3829.49

PONTOS NO MISCELLIBILITY GAP	TG	N1E	N2E	N1D	N2D	A1	A2
640.0	0.9948	0.0052	0.1427	0.9573	0.2052	0.8952	0.8929
650.0	0.9943	0.0057	0.1490	0.8510	0.0949	0.8784	
660.0	0.9939	0.0062	0.1555	0.9445	0.0944	0.8739	
670.0	0.9933	0.0067	0.1622	0.9178	0.0939	0.8674	
680.0	0.9927	0.0073	0.1691	0.9309	0.0934	0.8648	
690.0	0.9921	0.0079	0.1761	0.9239	0.0929	0.8609	
700.0	0.9915	0.0085	0.1834	0.9166	0.0924	0.8550	
710.0	0.9908	0.0092	0.1909	0.8991	0.0919	0.8502	
720.0	0.9900	0.0100	0.1986	0.8614	0.0913	0.8449	
730.0	0.9892	0.0108	0.2065	0.7935	0.0817	0.8399	
740.0	0.9884	0.0116	0.2146	0.7494	0.0740	0.8351	
750.0	0.9875	0.0125	0.2230	0.7770	0.0693	0.8297	
760.0	0.9865	0.0135	0.2316	0.7684	0.0696	0.8246	
770.0	0.9854	0.0146	0.2404	0.7596	0.0679	0.8192	
780.0	0.9843	0.0157	0.2495	0.7505	0.0671	0.8137	
790.0	0.9832	0.0168	0.2588	0.7412	0.0663	0.8082	
800.0	0.9819	0.0181	0.2684	0.7316	0.0654	0.8025	
810.0	0.9806	0.0194	0.2783	0.7217	0.0645	0.7969	
820.0	0.9791	0.0209	0.2885	0.7115	0.0636	0.7912	
830.0	0.9776	0.0224	0.2980	0.7010	0.0626	0.7854	
840.0	0.9759	0.0241	0.3077	0.6903	0.0616	0.7795	
850.0	0.9742	0.0258	0.3278	0.6792	0.0606	0.7733	
860.0	0.9723	0.0277	0.3322	0.6678	0.0595	0.7676	
870.0	0.9702	0.0298	0.3440	0.6566	0.0583	0.7615	
880.0	0.9681	0.0319	0.3561	0.6439	0.0572	0.7550	
890.0	0.9657	0.0343	0.3686	0.6314	0.0559	0.7491	
900.0	0.9632	0.0368	0.3816	0.6184	0.0546	0.7426	
910.0	0.9604	0.0396	0.3950	0.6050	0.0533	0.7363	
920.0	0.9574	0.0426	0.4088	0.5712	0.0519	0.7299	
930.0	0.9541	0.0459	0.4231	0.5769	0.0505	0.7235	
940.0	0.9506	0.0494	0.4379	0.5621	0.0490	0.7170	
950.0	0.9467	0.0533	0.4534	0.5466	0.0474	0.7103	
960.0	0.9425	0.0575	0.4695	0.5305	0.0458	0.7036	
970.0	0.9378	0.0622	0.4863	0.5137	0.0442	0.6967	
980.0	0.9326	0.0674	0.5039	0.4961	0.0425	0.6899	
990.0	0.9266	0.0734	0.5223	0.4777	0.0407	0.6831	
1000.0	0.9200	0.0800	0.5419	0.4581	0.0389	0.6761	
1010.0	0.9124	0.0876	0.5627	0.4373	0.0369	0.6691	

1020.0	0.9035	0.0465	0.5850	0.4150	0.9549
1030.0	0.8933	0.1057	0.6796	0.3074	0.8521
1040.0	0.8907	0.1193	0.3711	0.3629	0.8548
1050.0	0.8935	0.1365	0.6696	0.3314	0.8475
1060.0	0.8932	0.1628	0.7088	0.2912	0.8600

0.6331	0.2664	0.6331	0.2664	0.6331	0.2664
--------	--------	--------	--------	--------	--------

PONTOS NA LINHA LÍQUIDOS

LADO ESQUERDO SUPERIOR

TC	N1	N2	A1	A2
658.71	0.990E+00	0.200E+03	0.990E+00	0.323E+01
658.57	0.992E+00	0.399E+03	0.992E+00	0.675E+01
658.44	0.994E+00	0.501E+03	0.994E+00	0.100E+01
658.31	0.995E+00	0.302E+03	0.995E+00	0.133E+00
658.18	0.995E+00	0.190E+03	0.995E+00	0.166E+00
658.05	0.995E+00	0.126E+02	0.995E+00	0.198E+00
657.92	0.994E+00	0.140E+02	0.994E+00	0.230E+00
657.79	0.993E+00	0.150E+02	0.993E+00	0.262E+00
657.66	0.992E+00	0.150E+02	0.992E+00	0.294E+00
657.54	0.990E+00	0.200E+02	0.990E+00	0.328E+00
657.41	0.987E+00	0.220E+02	0.987E+00	0.355E+00

LADO ESQUERDO INFERIOR

TC	N1	N2	A1	A2
670.74	0.169E+02	0.310E+00	0.110E+01	0.865E+00
656.77	0.154E+02	0.867E+00	0.999E+00	0.752E+00
641.24	0.138E+02	0.801E+00	0.971E+00	0.845E+00
623.98	0.123E+02	0.576E+00	0.947E+00	0.895E+00
604.33	0.107E+02	0.392E+00	0.917E+00	0.971E+00
582.06	0.124E+01	0.976E+00	0.882E+00	0.919E+00
570.52	0.770E+01	0.933E+00	0.847E+00	0.833E+00
525.32	0.616E+01	0.934E+00	0.793E+00	0.943E+00
498.61	0.462E+01	0.938E+00	0.733E+00	0.957E+00
440.04	0.304E+01	0.939E+00	0.653E+00	0.970E+00
367.51	0.154E+01	0.936E+00	0.533E+00	0.985E+00
-25.81	0.596E+01	0.100E+01	0.214E+01	0.160E+01

LADO DIREITO

TC	N1	N2	A1	A2
271.26	0.490E+03	0.959E+00	0.472E+01	0.999F+00
271.07	0.170E+02	0.793E+00	0.946E+01	0.994E+00
270.93	0.800E+02	0.998E+00	0.141E+00	0.9982E+00
270.80	0.240E+02	0.997E+00	0.141E+00	0.9976E+00
270.67	0.360E+02	0.997E+00	0.235E+00	0.9970E+00
270.53	0.420E+02	0.995E+00	0.200E+00	0.9964E+00
270.49	0.480E+02	0.995E+00	0.232E+00	0.9959E+00
270.27	0.937E+02	0.915E+00	0.374E+00	0.9951E+00
270.13	0.140E+02	0.934E+00	0.420E+00	0.9947E+00
270.00	0.460E+02	0.934E+00	0.466E+00	0.9941E+00
269.87	0.660E+02	0.934E+00	0.5117E+00	0.9935E+00



PONTOS PRINCIPAIS DO DIAGRAMA

	ESTE TRABALHO	LITERATURA	DIFERENCA PERCENTUAL
N1	TC N1	TC N2	TC N1 - N2
PONTO CRITICO	1067.6	0.786E 00	0.214E 00
MENOTETICO FOSFORO	655.9	0.994E 00	0.601E 02
MENOTETICO DIREITO	655.5	0.953E 00	0.347E 00
EUTETICO	272.7	-0.449E -02	0.100E 01

TERMODINAMICA
TEMPERATURA = 1173.0 GRAUS KELVIN

ATIVIDADES E COEFICIENTES DE ATIVIDADE DO METAL 1

	ESTE TRABALHO	LITERATURA	DIFERENCA PERCENTUAL
N1	A1	A1	A1
0.100	0.30	0.304	0.30
0.200	0.715	3.776	0.20
0.300	2.970	0.300	0.30
0.400	0.891	0.470	0.40
0.500	0.988	0.500	0.50
0.600	1.079	2.058	0.60
0.700	1.032	1.21	0.70
0.800	1.013	1.447	0.80
0.900	0.985	1.331	0.90
0.960	0.965	1.072	0.96

ATIVIDADES E COEFICIENTES DE ATIVIDADE DO METAL 2

	ESTE TRABALHO	LITERATURA	DIFERENCA PERCENTUAL
N1	A2	A2	A2
0.100	0.309	1.010	0.100
0.200	0.435	1.744	0.200
0.300	0.778	1.111	0.300
0.400	0.337	1.228	0.400
0.500	0.713	1.126	0.500
0.600	0.711	1.178	0.600
0.700	0.737	2.558	0.700
0.800	0.805	4.026	0.800
0.900	0.999	8.993	0.900

ENTALPIAS E ENTROPIAS PARCIAIS MOLARES DO METAL 1

	ESTE TRABALHO	LITERATURA	DIFERENCA PERCENTUAL
N1	OS1	OS1	OS1
0.100	4.885.	5.860	0.100
0.200	426.8	4.300	0.200
0.300	365.9	3.349	0.300
0.400	316.0	2.633	0.400
0.500	267.2	2.050	0.500
0.600	189.4	1.551	0.600
0.700	132.5	1.104	0.700
0.800	77.1	0.644	0.800
0.900	276.	0.301	0.900

ENTALPIAS E ENTROPIAS PARCIAIS MOLARES DO METAL 2

	ESTE TRABALHO	LITERATURA	DIFERENCA PERCENTUAL
N1	OS2	OS2	OS2
0.100	33.	0.213	0.100
0.200	143.	0.430	0.200
0.300	347.	0.796	0.300
0.400	671.	1.180	0.400
0.500	1.155.	1.656	0.500
0.600	1.667.	2.289	0.600
0.700	2.734.	3.106	0.700
0.800	4.624.	4.372	0.800
0.900	7.554.	6.651	0.900

CENTRO DE COMPUTACAO DA UFGM



CENTRO DE COMPUTACAO DA UFGM



186.

APÊNDICE XXV

RESULTADOS FORNECIDOS PELO ALGORITMO, PARA O SISTEMA
A1-B1, UTILIZANDO-SE DADOS EXPERIMENTAIS DE PREDEL &
SANDIG (23)

©

SISTEMA ALUMINIO - BISMUTO

METAL 1 = ALUMINIO

METAL 2 = BISMUTO

PONTOS EXPERIMENTAIS NO MG CONSIDERADOS DE PREDEL-SANDIG

CONSTANTES DA EQUACAO DE LUMSOEN EPSIL = 9966.07
 SIGMA = 5.87
 FI = -0.83
 ZETA = 1489.56

PONTOS NO MISCIPILITY GAP	TC	N1E	N2E	N1D	N2D	Al	A2
640.0	0.9965	0.0035	0.1020	0.8980	0.9367	0.9134	
650.0	0.9962	0.0038	0.1085	0.9115	0.9264	0.9087	
660.0	0.9958	0.0042	0.1154	0.8846	0.9061	0.9035	
670.0	0.9954	0.0046	0.1225	0.9775	0.9957	0.9982	
680.0	0.9949	0.0051	0.1300	0.9700	0.9953	0.8929	
690.0	0.9944	0.0055	0.1378	0.9622	0.9044	0.8971	
700.0	0.9939	0.0061	0.1460	0.9540	0.9944	0.8811	
710.0	0.9933	0.0067	0.1545	0.9455	0.9339	0.8753	
720.0	0.9927	0.0073	0.1634	0.8366	0.934	0.8689	
730.0	0.9920	0.0080	0.1727	0.8273	0.9429	0.8627	
740.0	0.9913	0.0087	0.1823	0.8177	0.9923	0.8560	
750.0	0.9906	0.0094	0.1924	0.8076	0.9917	0.8493	
760.0	0.9897	0.0103	0.2029	0.7971	0.9911	0.8422	
770.0	0.9882	0.0111	0.2138	0.7842	0.9904	0.8349	
780.0	0.9879	0.0121	0.2251	0.7769	0.9907	0.8277	
790.0	0.9869	0.0131	0.2369	0.7631	0.9899	0.8202	
800.0	0.9858	0.0142	0.2491	0.7509	0.9881	0.8125	
810.0	0.9846	0.0154	0.2618	0.7382	0.9973	0.8044	
820.0	0.9833	0.0167	0.2750	0.7250	0.9964	0.7961	
830.0	0.9819	0.0181	0.2887	0.7113	0.9955	0.7877	
840.0	0.9805	0.0195	0.3028	0.6972	0.9945	0.7794	
850.0	0.9789	0.0211	0.3175	0.6825	0.9936	0.7705	
860.0	0.9772	0.0228	0.3327	0.6673	0.9925	0.7615	
870.0	0.9753	0.0247	0.3484	0.6516	0.9914	0.7525	
880.0	0.9733	0.0267	0.3547	0.6353	0.9903	0.7432	
890.0	0.9711	0.0289	0.3315	0.6195	0.9791	0.7336	
900.0	0.9687	0.0313	0.3988	0.6012	0.9778	0.7241	
910.0	0.9661	0.0339	0.4168	0.5832	0.9765	0.7144	
920.0	0.9634	0.0366	0.4353	0.5647	0.9752	0.7041	
930.0	0.9602	0.0398	0.4545	0.5455	0.9738	0.6942	
940.0	0.9569	0.0431	0.4743	0.5257	0.9724	0.6837	
950.0	0.9531	0.0469	0.4947	0.5053	0.9709	0.6734	
960.0	0.9490	0.0510	0.5160	0.4840	0.9693	0.6627	
970.0	0.9443	0.0557	0.5379	0.4621	0.9477	0.6519	
980.0	0.9391	0.0619	0.5468	0.4372	0.9140	0.6410	

PONTOS NA LINHA LÍQUIDOS

990.0	0.9331	0.0669	0.5846	0.4154	0.9643	0.4300
1000.0	0.9262	0.0738	0.6197	0.3953	0.9626	0.6198
1010.0	0.9181	0.0319	0.6163	0.3137	0.9508	0.6075
1020.0	0.9078	0.0922	0.6644	0.3556	0.9549	0.5963
1030.0	0.8950	0.1050	0.6959	0.3744	0.9570	0.5848
1040.0	0.8769	0.1221	0.7332	0.2668	0.9556	0.5732
1050.0	0.8392	0.1608	0.7058	0.2058	0.9529	0.5517

LADO ESQUERDO SUPERIOR

TC	N1	N2	A1	A2
658.71	0.963E-00	0.700E-03	0.998E-00	0.490E-01
658.57	0.935E-00	0.250E-03	0.609E-00	0.276E-01
658.44	0.934E-00	0.600E-03	0.994E-00	0.145E-00
658.31	0.933E-00	0.800E-03	0.992E-00	0.193E-00
658.18	0.932E-00	0.100E-02	0.993E-00	0.240E-00
658.05	0.930E-00	0.120E-02	0.993E-00	0.287E-00
657.92	0.923E-00	0.140E-02	0.993E-00	0.333E-00
657.79	0.793E-00	0.160E-02	0.919E-00	0.370E-00
657.67	0.593E-00	0.180E-02	0.973E-00	0.424E-00
657.54	0.490E-00	0.200E-02	0.994E-00	0.464E-00
657.41	0.973E-00	0.220E-02	0.997E-00	0.5133E-00

LADO ESQUERDO INFERIOR

TC	N1	N2	A1	A2
667.98	0.124E-00	0.975E-00	0.401E-01	0.807E-01
656.51	0.113E-00	0.237E-00	0.963E-00	0.054E-00
643.38	0.101E-00	0.493E-00	0.977E-00	0.9137E-00
630.07	0.504E-01	0.495E-00	0.953E-00	0.9222E-00
616.18	0.791E-01	0.921E-00	0.933E-00	0.9315E-00
576.15	0.790E-01	0.922E-00	0.933E-00	0.9403E-00
516.22	0.565E-01	0.943E-00	0.7373E-00	0.7449E-00
501.84	0.452E-01	0.954E-00	0.835E-00	0.8537E-00
521.19	0.339E-01	0.746E-00	0.787E-00	0.7685E-00
401.25	0.226E-01	0.377E-00	0.7221E-00	0.974E-00
420.22	0.113E-01	0.3887E-00	0.6276E-00	0.8981E-00
38.52	0.596E-06	0.160E-01	0.6317E-01	0.1030E-01

LADO DIREITO

TC	N1	N2	A1	A2
271.30	0.600E-03	0.994E-00	0.100E-01	0.998E-00
271.07	0.200E-02	0.4984E-00	0.4724E-01	0.4984E-00
270.84	0.100E-02	0.932E-00	0.5556E-00	0.9942E-00
270.60	0.300E-02	0.976E-00	0.7376E-00	0.9976E-00
270.47	0.100E-02	0.997E-00	0.9213E-00	0.9974E-00
270.34	0.300E-02	0.9964E-00	0.1100E-01	0.9965E-00
270.41	0.100E-02	0.9754E-00	0.1241E-01	0.9759E-00
270.27	0.300E-02	0.9952E-00	0.1459E-01	0.9953E-00
270.15	0.100E-02	0.9744E-00	0.1635E-01	0.9947E-00
270.02	0.300E-02	0.994E-00	0.1810E-01	0.9942E-00
269.89	0.100E-02	0.9934E-00	0.1930E-01	0.9936E-00

PONTOS PRINCIPAIS DO DIAGRAMA



ESTE TRABALHO		LITERATURA		DIFERENÇA PERCENTUAL	
N1	N2	TC	TC	N1	N2
PONTO CRÍTICO MONÔTETICO ESQUERDO	1051.2 0.811E 00	0.189E 00 0.411E -02	1050.0 657.0	0.175E 00 0.550E -02	0.12 -0.06
MONÔTETICO DIREITO	656.6 0.113E 00	0.987E 00 0.878E -02	657.0 657.0	0.945E 00 0.560E -02	0.14 -0.06
EUFÉTICO	279.5 0.891E 00	0.991E 00 0.994E 00	270.0 270.0	0.994E 00 0.994E 00	-0.19 -0.32

ESTE TRABALHO		LITERATURA		DIFERENÇA PERCENTUAL		
N1	N2	TC	TC	N1	N2	
0.100 0.250 0.300 0.400 0.500 0.600 0.700 0.800 0.900	0.406 3.438 2.447 2.447 2.061 1.635 1.635 1.635 1.635	4.050 3.420 3.360 3.400 3.500 3.600 3.700 3.800 3.900	0.441 0.751 0.915 0.964 0.928 0.964 0.964 0.964 0.964	4.416 2.755 2.050 2.410 1.928 1.667 1.377 1.205 1.071	0.166 0.210 0.360 0.460 0.560 0.660 0.760 0.860 0.960	-7.93 -4.46 -4.81 -1.55 6.88 6.88 7.97 6.23 3.06
0.969 0.979 0.987 0.991 0.994	0.968 0.879 0.878 0.878 0.878	0.976 0.840 0.841 0.841 0.842	0.913 0.913 0.913 0.913 0.913	1.014 1.034 1.034 1.034 1.034	0.160 0.200 0.300 0.400 0.500	-0.55 -0.51 -0.79 -0.25 -0.25

TERMODINÂMICA
TEMPERATURA = 1173.0 GRAUS KELVIN

ATIVIDADES E COEFICIENTES DE ATIVIDADE DO METAL 1

ESTE TRABALHO		LITERATURA		DIFERENÇA PERCENTUAL	
N1	A1	GAMA1	A1	GAMA1	GAMA1
0.100	0.406	4.050	0.441	4.416	-7.93
0.250	0.868	3.438	0.751	2.755	-4.46
0.300	0.871	2.447	0.915	2.050	-4.81
0.400	0.879	2.447	0.964	2.410	-1.55
0.500	0.880	1.635	0.500	0.560	6.88
0.600	0.887	1.635	0.600	0.964	7.97
0.700	0.770	2.061	0.700	1.377	6.23
0.800	0.893	1.635	0.800	1.205	3.06
0.900	0.969	1.635	0.900	0.964	0.51

ATIVIDADES E COEFICIENTES DE ATIVIDADE DO METAL 2

ESTE TRABALHO		LITERATURA		DIFERENÇA PERCENTUAL	
N1	A2	GAMA2	A2	GAMA2	GAMA2
0.100	0.988	1.019	0.913	1.014	-0.55
0.209	0.731	1.039	0.200	0.200	-0.51
0.300	0.770	1.110	0.300	0.300	-0.53
0.400	0.724	1.206	0.400	0.260	-7.79
0.500	0.695	1.349	0.500	1.260	-8.25
0.600	0.687	1.718	0.600	1.512	-8.08
0.700	0.719	2.061	0.700	1.890	-9.09
0.800	0.777	2.496	0.800	2.520	-5.14
0.900	0.997	0.968	0.900	0.780	3.06

ENTALPIAS E ENTROPIAS PARCIAIS MOLARES DO METAL 1

ESTE TRABALHO		LITERATURA		DIFERENÇA PERCENTUAL	
N1	DH1	N1	DH1	N1	DH1
0.100	7117.	6.029	6.100	5.179	71.60
0.200	6225.	6.051	6.200	3.638	64.84
0.300	5172.	4.594	4.300	3.532	46.94
0.400	4170.	3.598	4.000	3.147	46.64
0.500	3279.	2.693	3.500	2.754	30.64
0.600	2256.	1.929	2.600	2.031	24.71
0.700	1156.1	1.243	1.700	1.777	15.91
0.800	468.0	0.955	1.200	1.473	8.57
0.900	280.	0.600	0.800	0.700	5.95

ENTALPIAS E ENTROPIAS PARCIAIS MOLARES DO METAL 2

ESTE TRABALHO		LITERATURA		DIFERENÇA PERCENTUAL	
N1	DH2	N1	DH2	N1	DH2
0.100	60.	0.243	0.100	0.176	17.93
0.200	254.	0.583	0.200	0.477	22.29
0.300	606.	1.336	0.300	1.54	65.19
0.400	1147.	1.620	0.400	1.427	16.13
0.500	1921.	2.361	0.500	1.293	49.56
0.600	2992.	3.295	0.600	2.158	37.58
0.700	4480.	4.501	0.700	3.028	43.62
0.800	6622.	6.142	0.800	4.489	58.62
0.900	958.	8.736	0.900	4.757	41.65



11. LISTA DAS FIGURAS

Figura	Página
1. Diagrama de equilíbrio genérico para sistema com região de imiscibilidade líquida.....	16
2. Esquema dos dados de entrada e saída do algoritmo criado no presente trabalho.....	18
3. Curvas genéricas de atividade de dois metais em função da fração molar do metal 1	26
4. Canto de diagrama de equilíbrio genérico, mostrando a solidificação do metal 1	28
5. Aspecto genérico da linha liquidus , inclusive trechos imaginários	30
6. Diagrama de equilíbrio para o sistema Zn-Pb, mostrando a posição da LLRIL, calculada no presente trabalho, a partir de dados experimentais de dois autores	36
7. Diagrama de equilíbrio para o sistema Zn-Pb	40
8. Entalpia de mistura em função da fração molar de zinco, para o sistema Zn-Pb.....	45

Figura	Página
9. Entropia de mistura em função da fração molar de zinco, para o sistema Zn-Pb.....	46
10. Atividades de zinco e chumbo em função da fração molar de zinco, para o sistema Zn-Pb.....	51
11. Diagrama de equilíbrio para o sistema Al-In.....	53
12. Enthalpia de mistura em função da fração molar de alumínio, para o sistema Al-In.....	56
13. Entropia de mistura em função da fração molar de alumínio, para o sistema Al-In.....	57
14. Detalhe do diagrama de equilíbrio Al-In, mostrando o ramo esquerdo da linha liquidus	61
15. Logaritmo da fração molar de alumínio em função do inverso da temperatura , para o ramo esquerdo inferior e o ramo direito da linha liquidus, no sistema Al-In.....	62
16. Atividades de alumínio e índio em função da fração molar de alumínio, para o sistema Al-In.....	63
17. Diagrama de equilíbrio para o sistema Zn-Bi	66

Figura	Página
18. Entalpia de mistura em função da fração molar de zinco, para o sistema Zn-Bi	68
19. Entropia de mistura em função da fração molar de zinco, para o sistema Zn-Bi.....	70
20. Atividades de zinco e bismuto em função da fração molar de zinco, para o sistema Zn-Bi.....	74
21. Diagrama de equilíbrio para o sistema Al-Bi	76
22. Entalpia de mistura em função da fração molar de alumínio, para o sistema Al-Bi	79
23. Entropia de mistura em função da fração molar de alumínio, para o sistema Al-Bi	80
24. Detalhe do diagrama de equilíbrio Al-Bi, mostrando o ramo esquerdo inferior e o ramo direito da linha liquidus..	83
25. Logaritmo da fração molar de alumínio em função do inverso da temperatura, para o ramo esquerdo inferior e o ramo direito da linha liquidus , no sistema Al-Bi	84
26. Atividades de alumínio e bismuto em função da fração molar de alumínio, para o sistema Al-Bi	86

12. LISTA DE TABELAS

Tabela	Página
I - Temperatura e composição críticas para o sistema zinco-chumbo.....	43.
II - Temperatura e composições monotéticas para o sistema zinco-chumbo....	49.
III - Temperatura e composição eutéticas para o sistema zinco-chumbo.....	49.
IV - Temperatura e composição críticas para o sistema alumínio-índio.....	54
V - Temperatura e composições monotéticas para o sistema alumínio-índio..	59
VI - Temperatura e composições monotéticas para o sistema zinco-bismuto... .	72
VII - Temperatura e composição eutéticas para o sistema zinco-bismuto.....	72
VIII - Temperatura e composição críticas para o sistema alumínio-bismuto....	77
IX - Temperatura e composições monotéticas para o sistema alumínio-bismuto .	82
X - Temperatura e composição críticas para o sistema alumínio-bismuto... .	85

13. LISTA DE APÊNDICES

Apêndice	Página
I Programa principal e dez subrotinas que constituem o algoritmo...	92
II Valores experimentais de temperatura e composição sobre a LLRIL, de WARING et alii ⁽¹⁰⁾ , para o sistema Zn-Pb	123
III Valores experimentais de temperatura e composição sobre a LLRIL, de HASS&JELLINEK ⁽¹²⁾ , para o sistema Zn-Pb	124
IV Valores experimentais de temperatura e composição sobre a LLRIL, de CAFASSO et alii ⁽¹³⁾ , para o sistema Zn-Pb.....	125
V Valores experimentais de temperatura e composição sobre a LLRIL, de SPRING&ROMANOFF ⁽¹⁴⁾ , para o sistema Zn-Pb	126
VI Resultados fornecidos pelo algoritmo, para o sistema Zn-Pb, utilizando-se dados experimentais de WARING et alii ⁽¹⁰⁾	127
VII Resultados fornecidos pelo algoritmo, para o sistema Zn-Pb, utilizando-se dados experimentais de HASS&JELLINEK ⁽¹²⁾	132

Apêndice	Página
VIII Resultados fornecidos pelo algoritmo, para o sistema Zn-Pb, utilizando-se dados experimentais de CAFASSO et alii ⁽¹³⁾	137
IX Resultados fornecidos pelo algoritmo, para o sistema Zn-Pb, utilizando-se dados experimentais de SPRING&ROMANOFF ⁽¹⁴⁾	142
X Valores experimentais de temperatura e composição sobre a LLRIL, de CAMPBELL&WAGEMANN ⁽²¹⁾ , para o sistema Al-In	147
XI Valores experimentais de temperatura e composição sobre a LLRIL, de CAMPBELL et alii ⁽²²⁾ , para o sistema Al-In.....	148
XII Resultados fornecidos pelo algoritmo, para o sistema Al-In, utilizando-se dados experimentais de CAMPBELL&WAGEMANN ⁽²¹⁾	149
XIII Resultados fornecidos pelo algoritmo, para o sistema Al-In, utilizando-se dados experimentais de CAMPBELL et alii ⁽²²⁾	153
XIV Valores experimentais de temperatura e composição sobre a LLRIL, de KLEPPA ⁽¹⁵⁾ , para o sistema Zn-Bi	157
XV Valores experimentais de temperatura e composição sobre a LLRIL, de HASS&JELLINEK ⁽¹²⁾ , para o sistema Zn-Bi	158

Apêndice	Página
XVI Valores experimentais de temperatura e composição sobre a LLRIL, de SPRING&ROMANOFF ⁽¹⁴⁾ , para o sistema Zn-Bi	159
XVII Resultados fornecidos pelo algoritmo, para o sistema Zn-Bi, utilizando-se dados experimentais de KLEPPA ⁽¹⁵⁾	160
XVIII Resultados fornecidos pelo algoritmo, para o sistema Zn-Bi, utilizando-se dados experimentais de HASS-JELLINEK ⁽¹²⁾	165
XIX Resultados fornecidos pelo algoritmo, para o sistema Zn-Bi, utilizando-se dados experimentais de SPRING-ROMANOFF ⁽¹⁴⁾	170
XX Valores experimentais de temperatura e composição sobre a LLRIL, de WITTIG&KEIL ⁽²⁵⁾ , para o sistema Al-Bi	175
XXI Valores experimentais de temperatura e composição sobre a LLRIL, de MARTIN-GARIN et alii ⁽²⁹⁾ , para o sistema Al-Bi	176
XXII Valores experimentais de temperaturas e composição sobre a LLRIL, de PREDEL&SANDIG ⁽²³⁾ , para o sistema Al-Bi	177

Apêndice	Página
XXIII Resultados fornecidos pelo <u>algo</u> ritmo, para o sistema Al-Bi,uti- lizando-se dados experimentais de WITTIG&KEIL ⁽²⁵⁾	178
XXIV Resultados fornecidos pelo <u>algo</u> ritmo, para o sistema Al-Bi,uti- lizando-se dados experimentais de MARTIN-GARIN et alii ⁽²⁹⁾	182
XXV Resultados fornecidos pelo <u>algo</u> ritmo, para o sistema Al-Bi,uti- lizando-se dados experimentais de PREDEL&SANDIG ⁽²³⁾	186

UNIVERSIDADE FEDERAL DE MINAS GERAIS

MODELAMENTO MATEMÁTICO DE SISTEMAS
BINÁRIOS METÁLICOS COM REGIÃO DE
IMISCIBILIDADE LÍQUIDA

Antônio Eduardo Clark Peres

Tese apresentada à Universidade Federal
de Minas Gerais como requisito parcial
para obtenção do grau de Mestre em Ciênc
cias e Técnicas Nucleares

Belo Horizonte - 1973